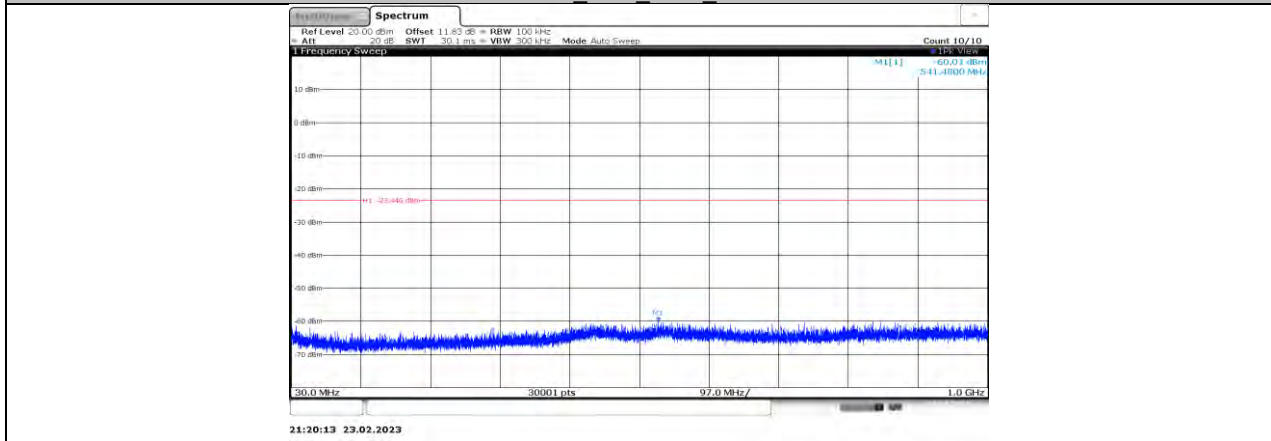
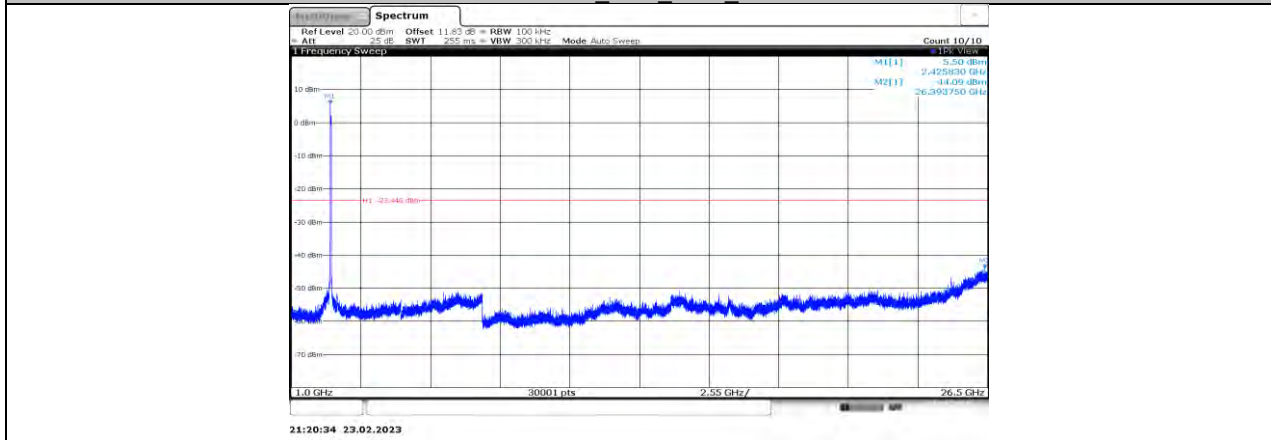


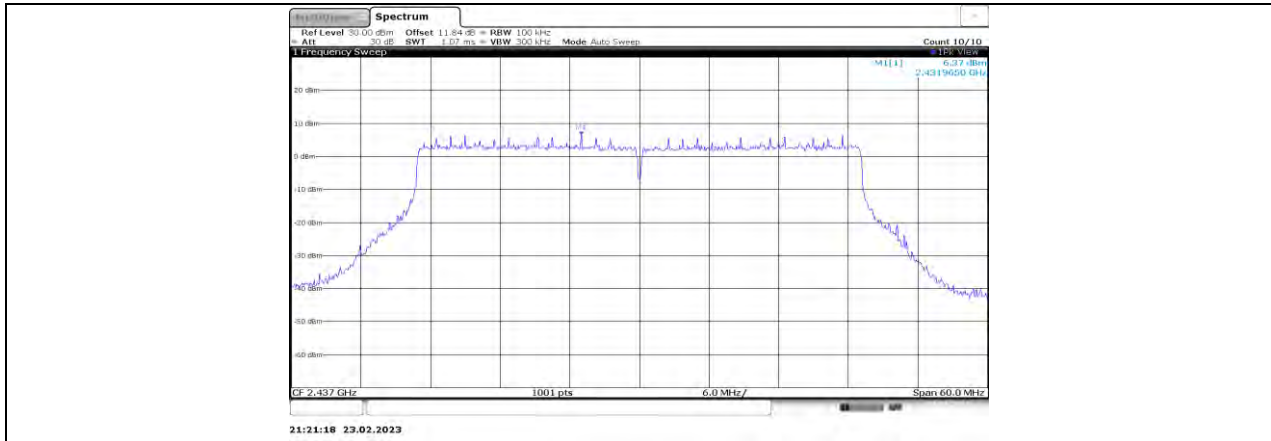
11AX40MIMO_Ant3_2437_0~Reference



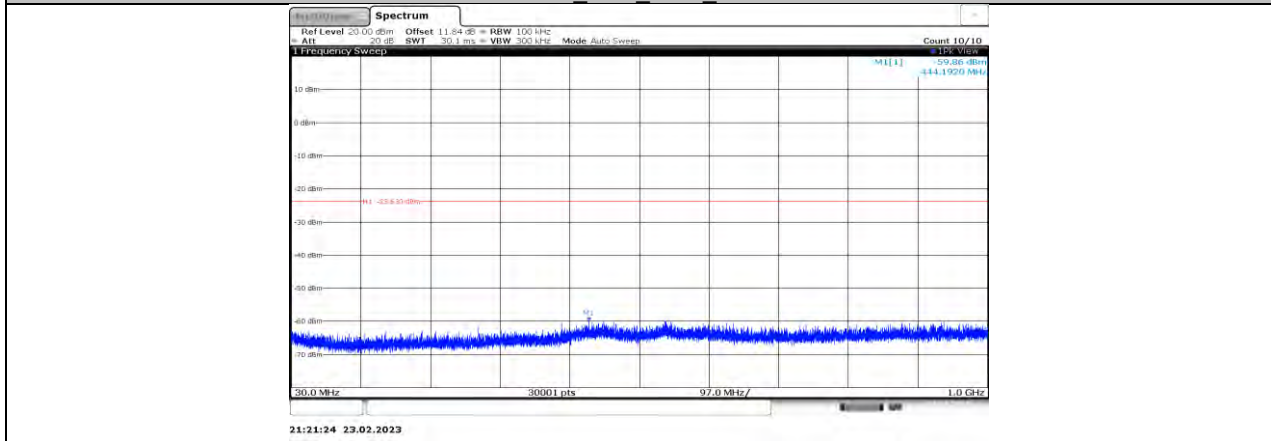
11AX40MIMO_Ant3_2437_30~1000



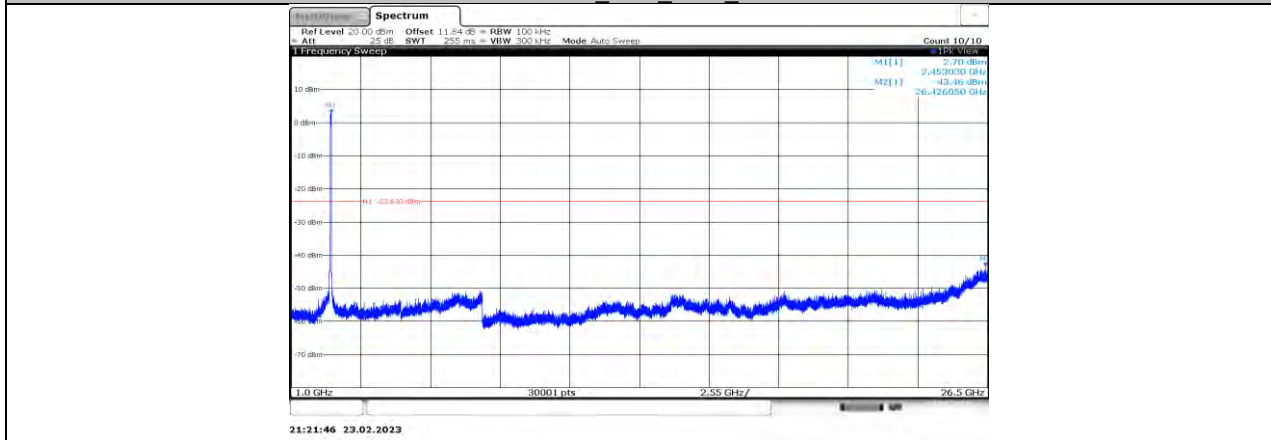
11AX40MIMO_Ant3_2437_1000~26500



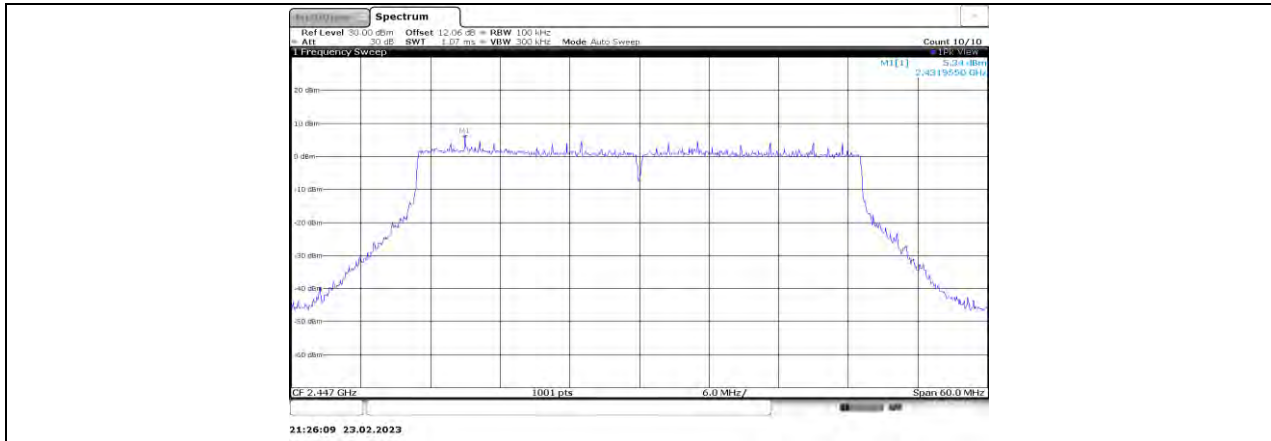
11AX40MIMO_Ant4_2437_0~Reference



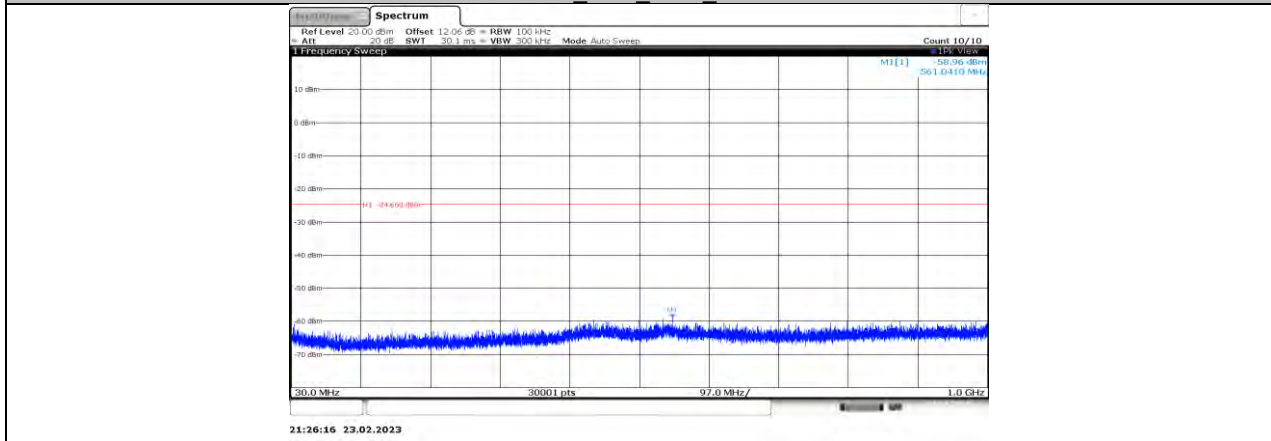
11AX40MIMO_Ant4_2437_30~1000



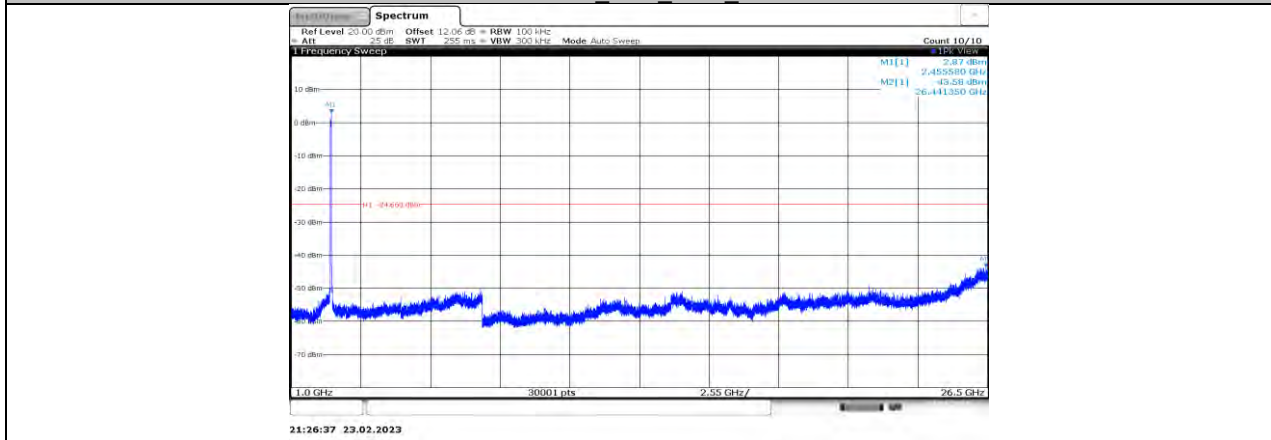
11AX40MIMO_Ant4_2437_1000~26500



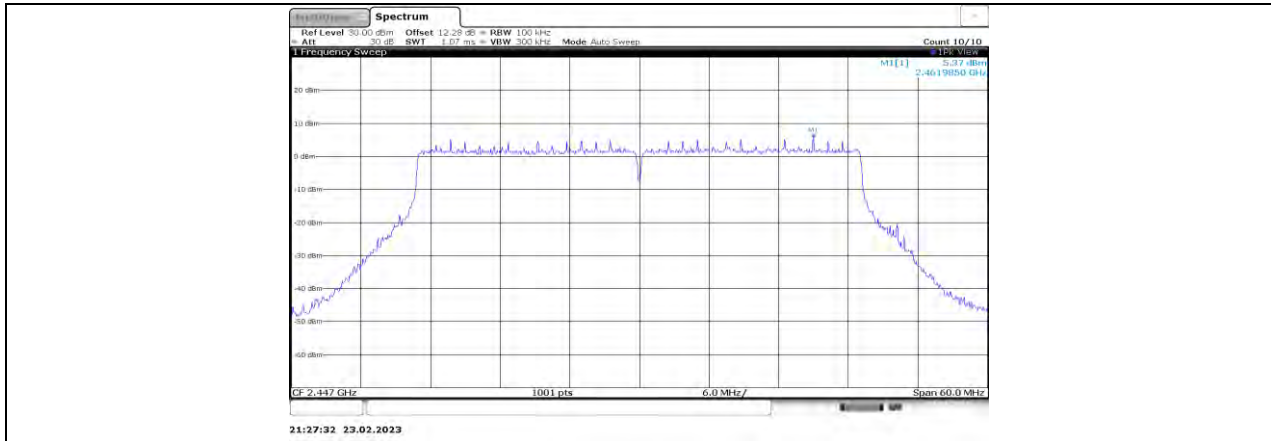
11AX40MIMO_Ant1_2447_0~Reference



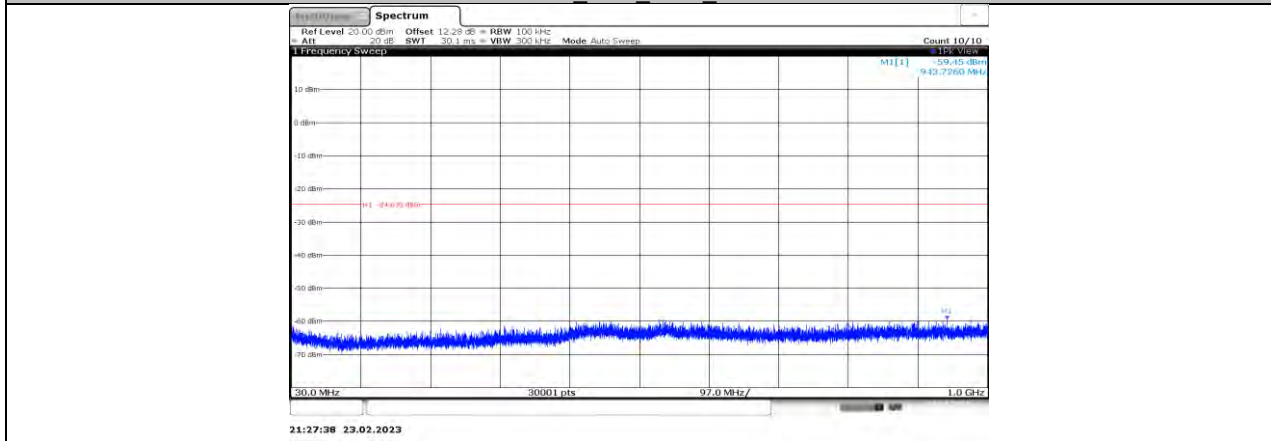
11AX40MIMO_Ant1_2447_30~1000



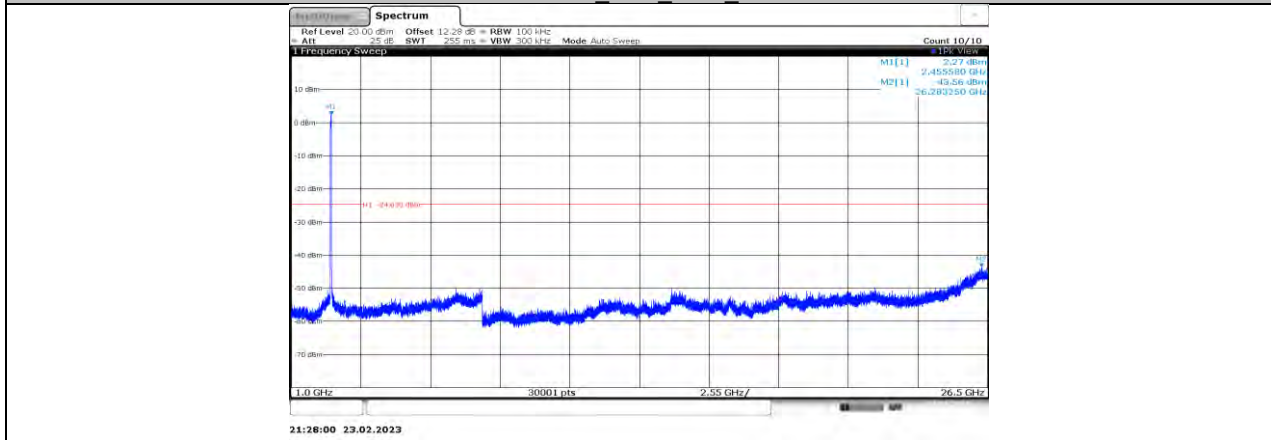
11AX40MIMO_Ant1_2447_1000~26500



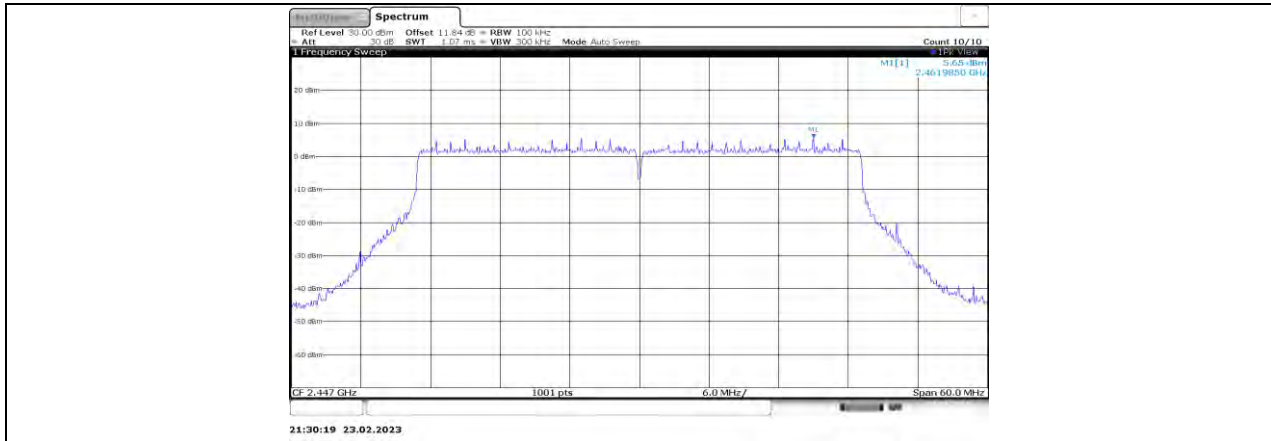
11AX40MIMO_Ant2_2447_0~Reference



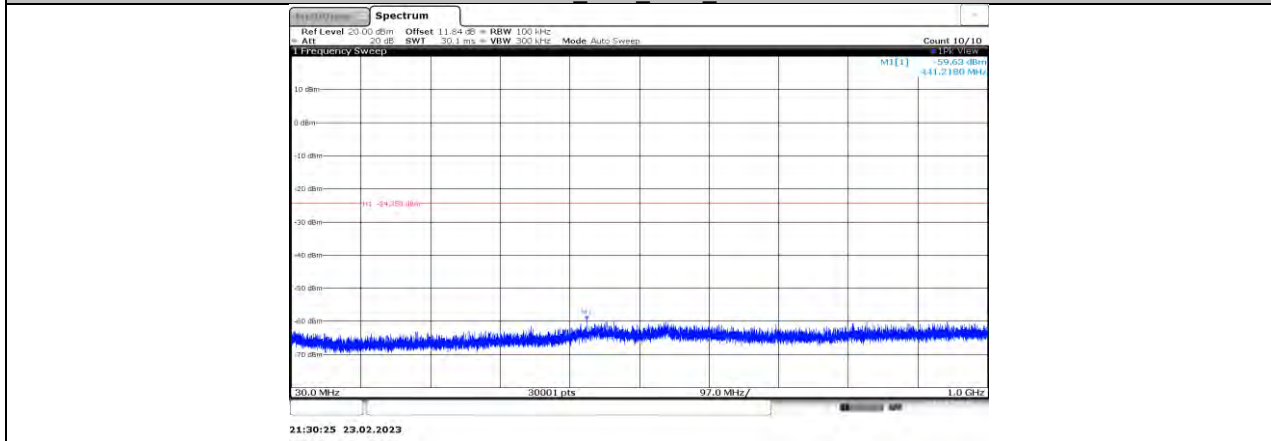
11AX40MIMO_Ant2_2447_30~1000



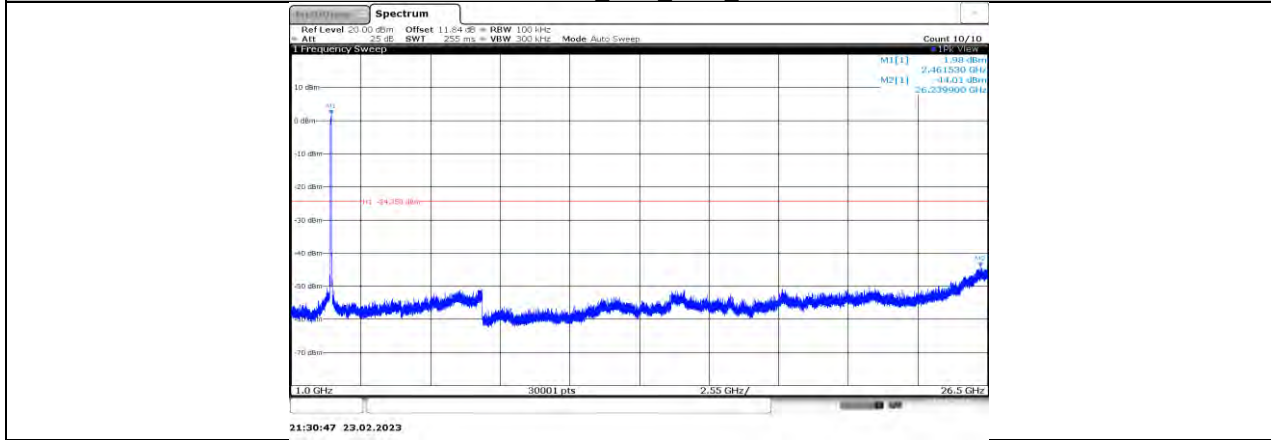
11AX40MIMO_Ant2_2447_1000~26500



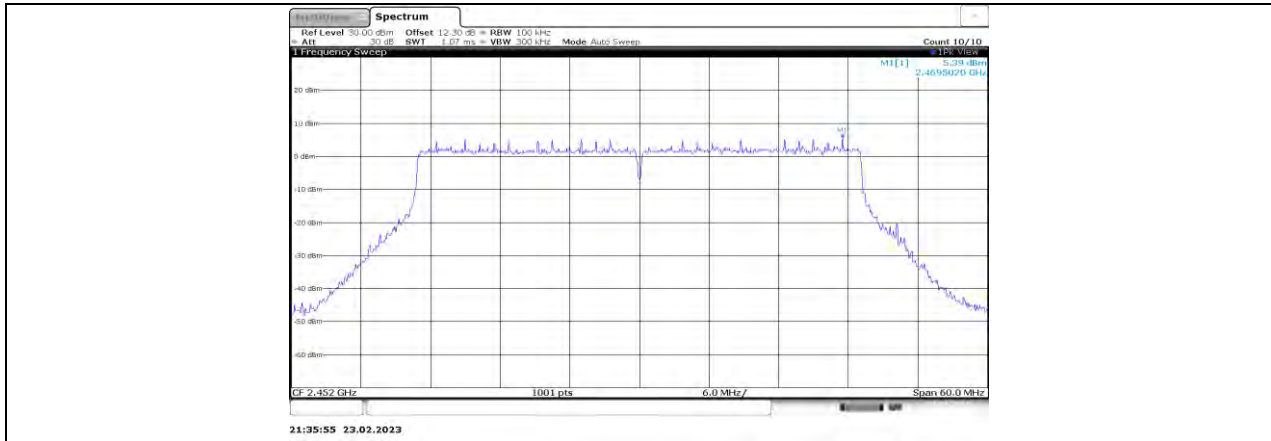
11AX40MIMO_Ant4_2447_0~Reference



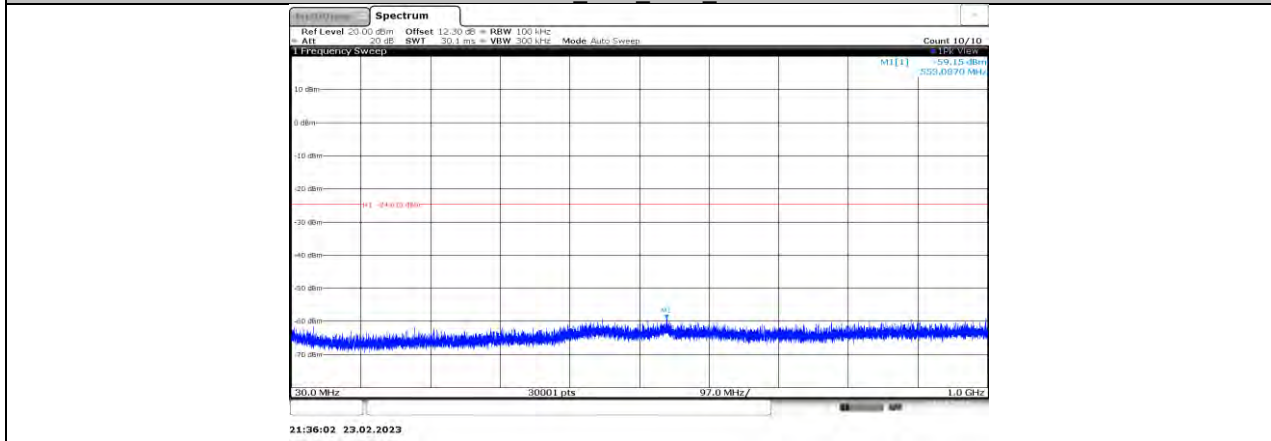
11AX40MIMO_Ant4_2447_30~1000



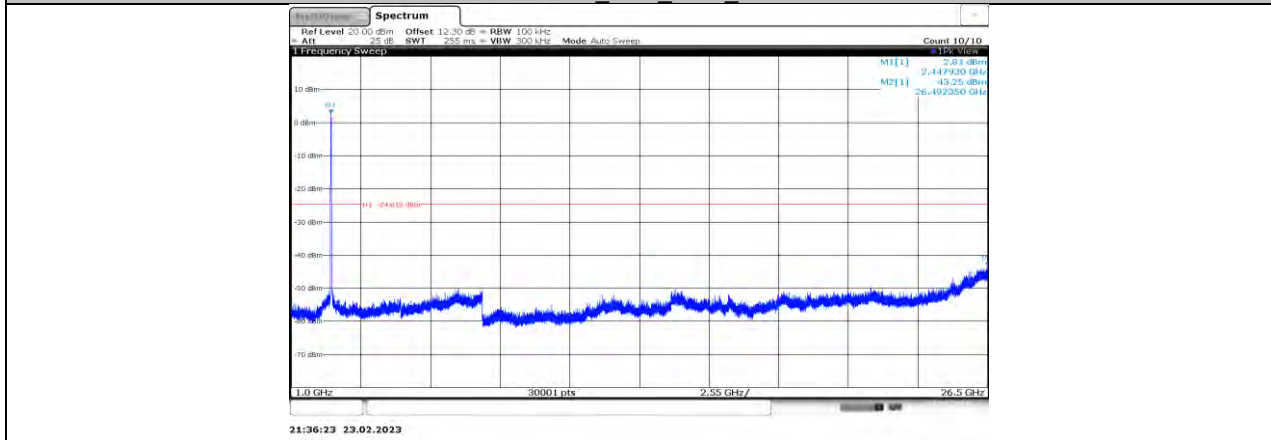
11AX40MIMO_Ant4_2447_1000~26500



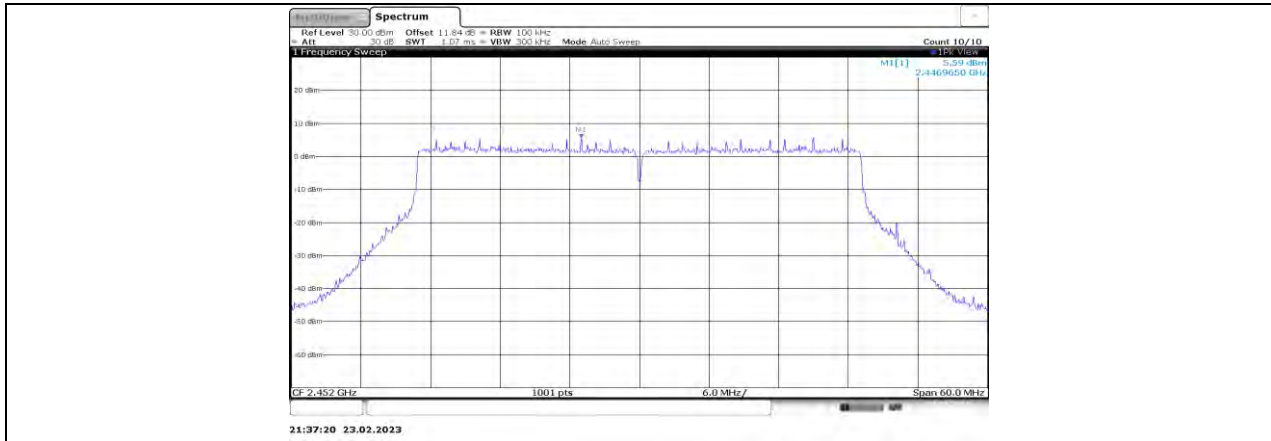
11AX40MIMO_Ant2_2452_0~Reference



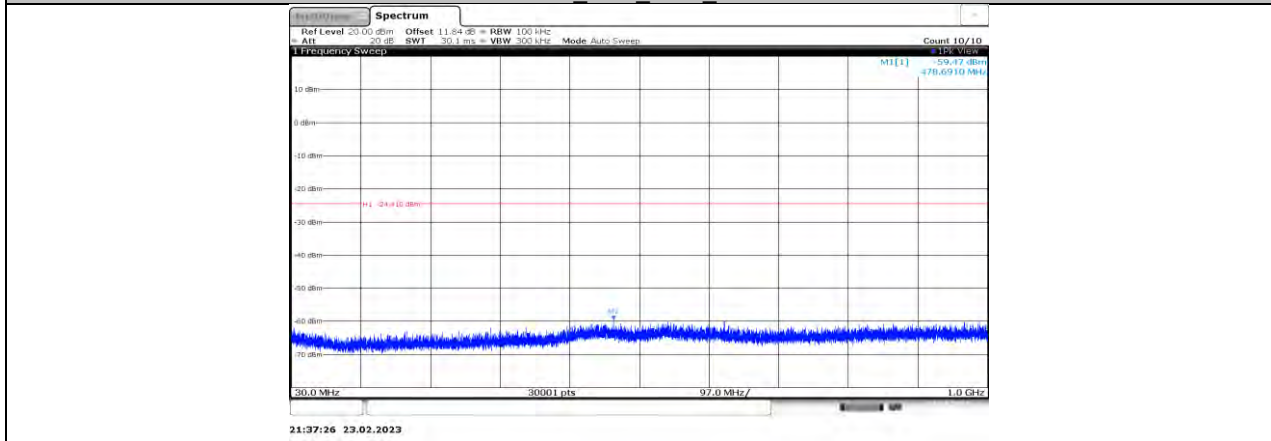
11AX40MIMO_Ant2_2452_30~1000



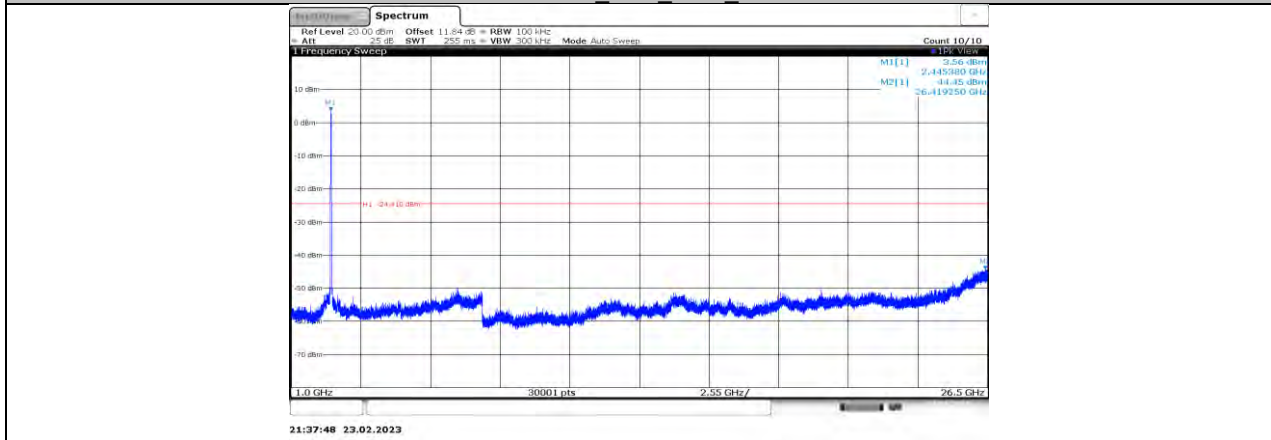
11AX40MIMO_Ant2_2452_1000~26500



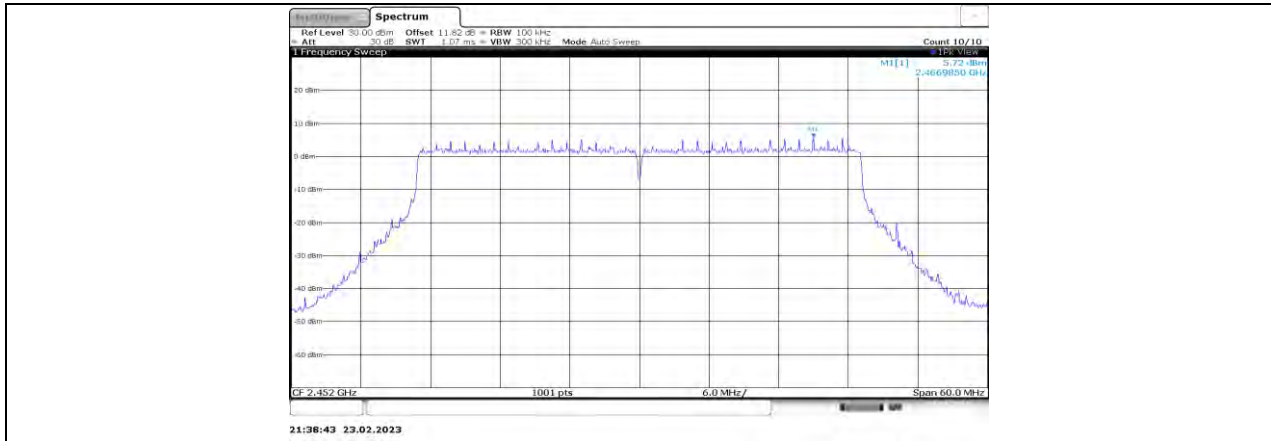
11AX40MIMO_Ant3_2452_0~Reference



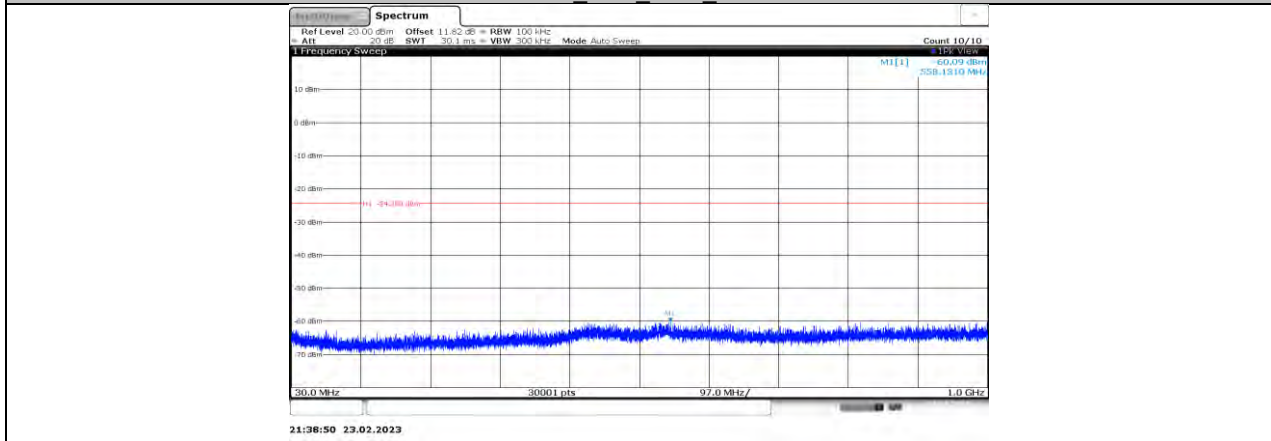
11AX40MIMO_Ant3_2452_30~1000



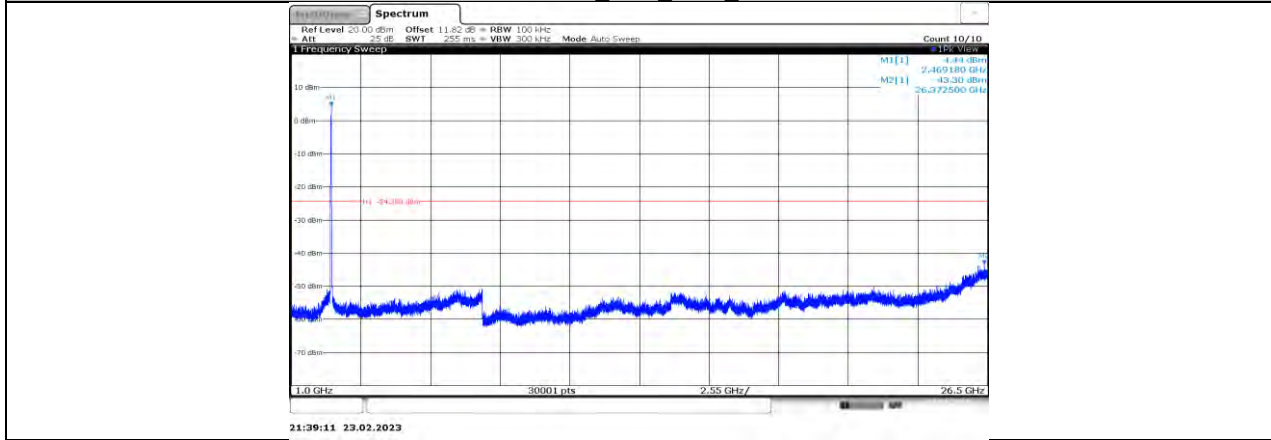
11AX40MIMO_Ant3_2452_1000~26500



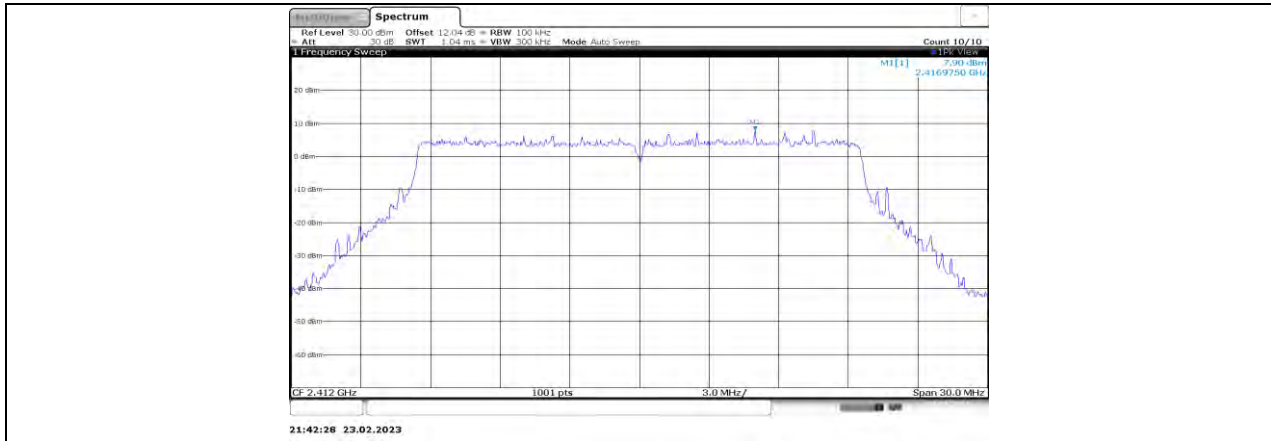
11AX40MIMO_Ant4_2452_0~Reference



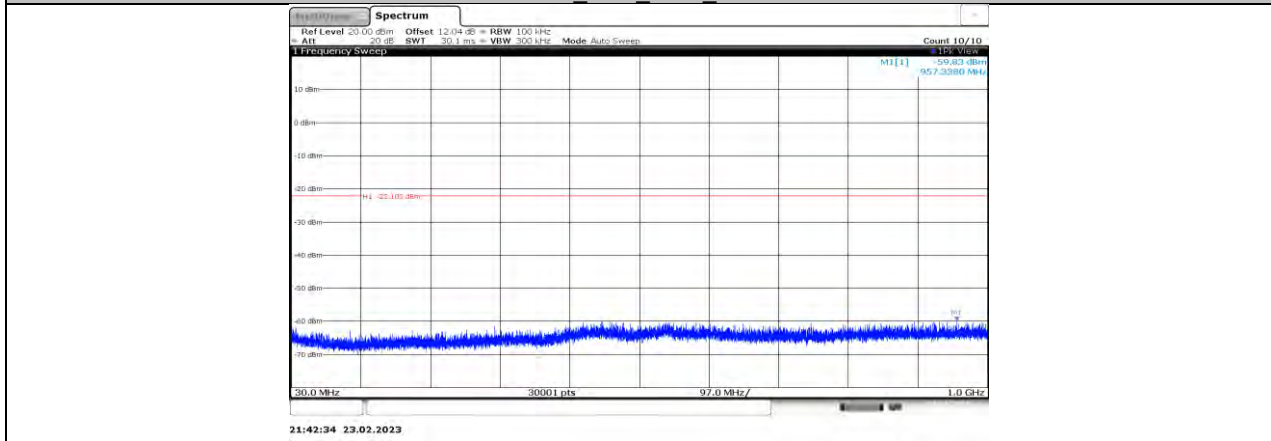
11AX40MIMO_Ant4_2452_30~1000



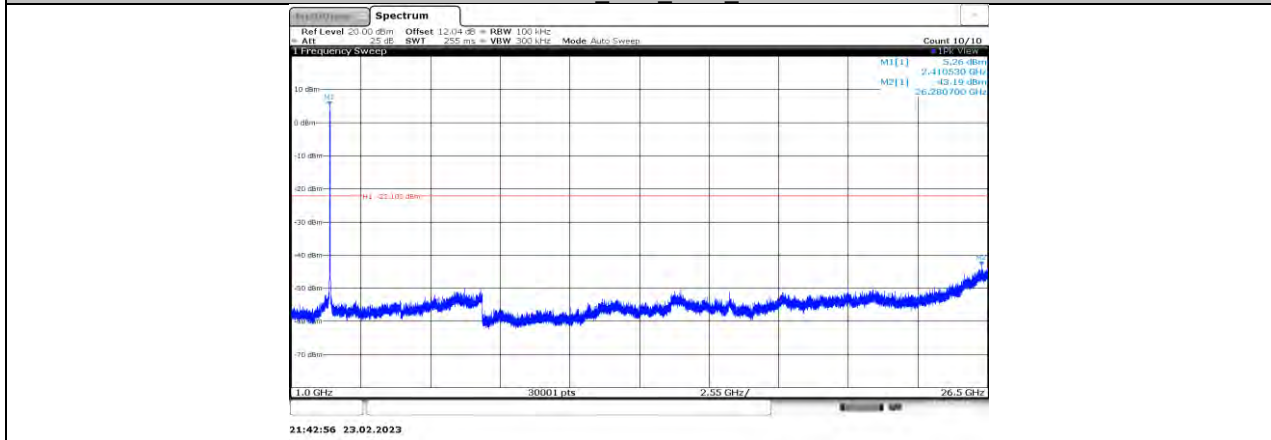
11AX40MIMO_Ant4_2452_1000~26500



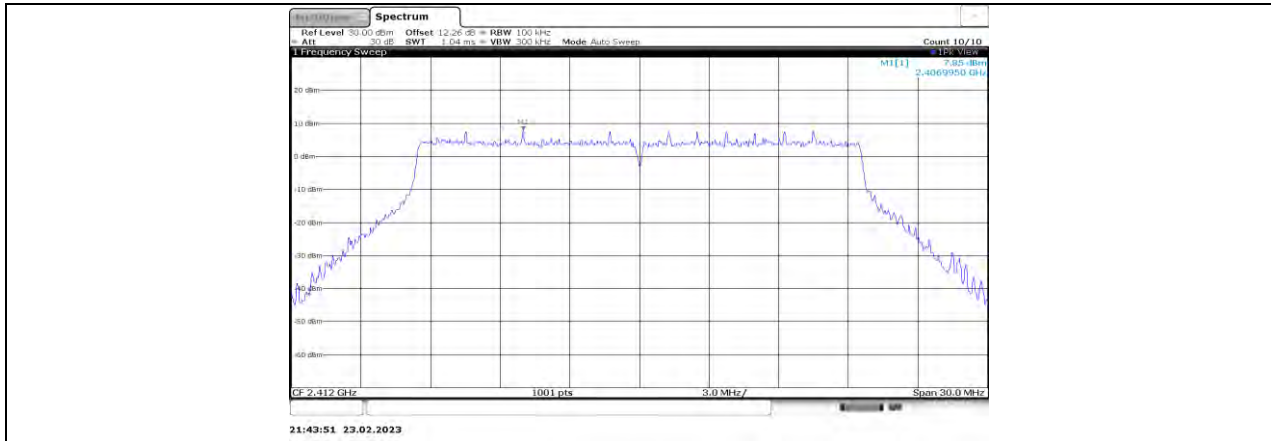
11BE20MIMO_Ant1_2412_0~Reference



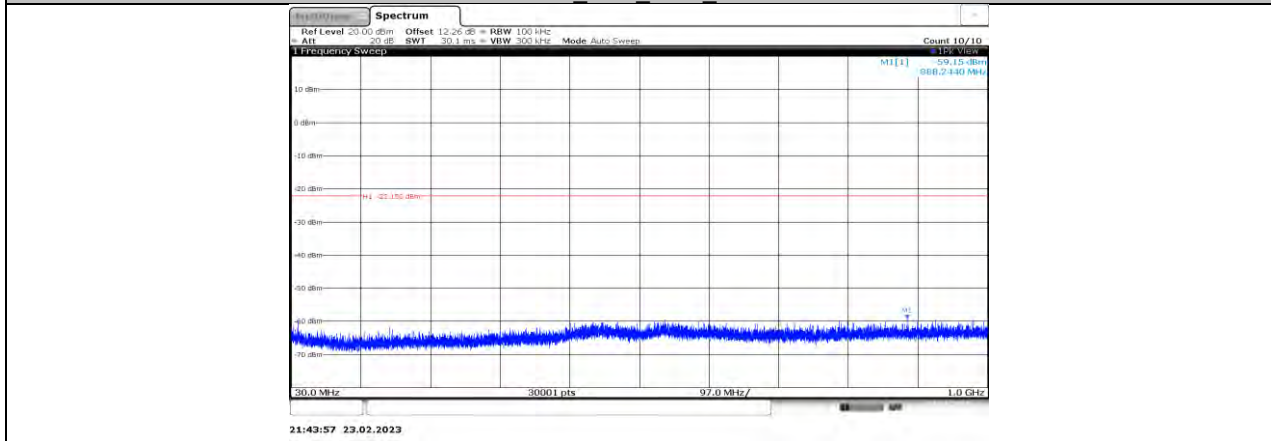
11BE20MIMO_Ant1_2412_30~1000



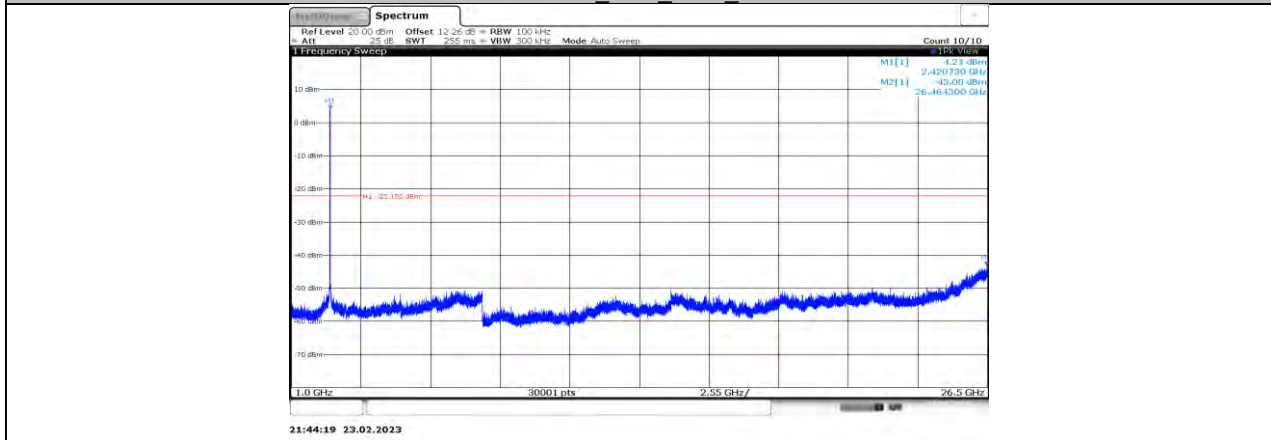
11BE20MIMO_Ant1_2412_1000~26500



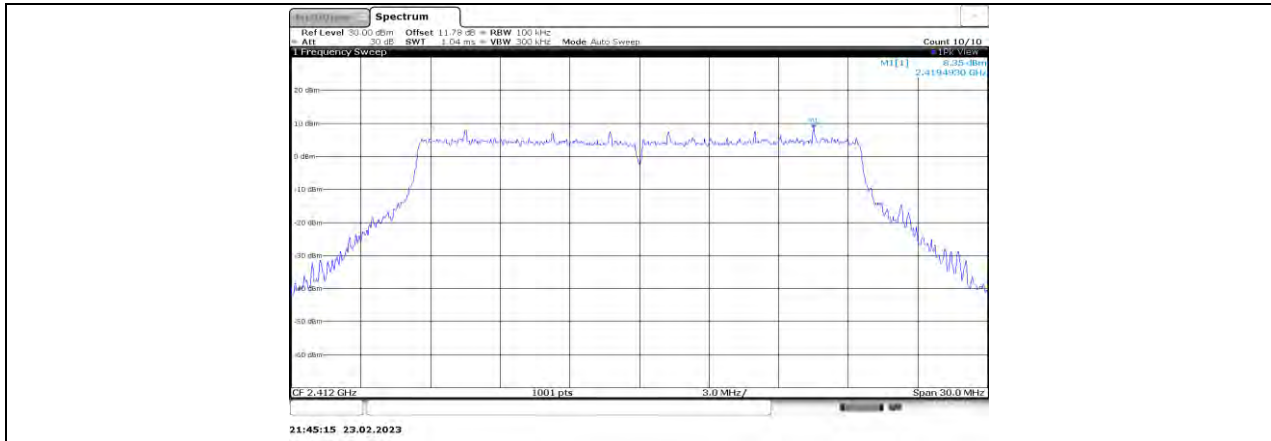
11BE20MIMO_Ant2_2412_0~Reference



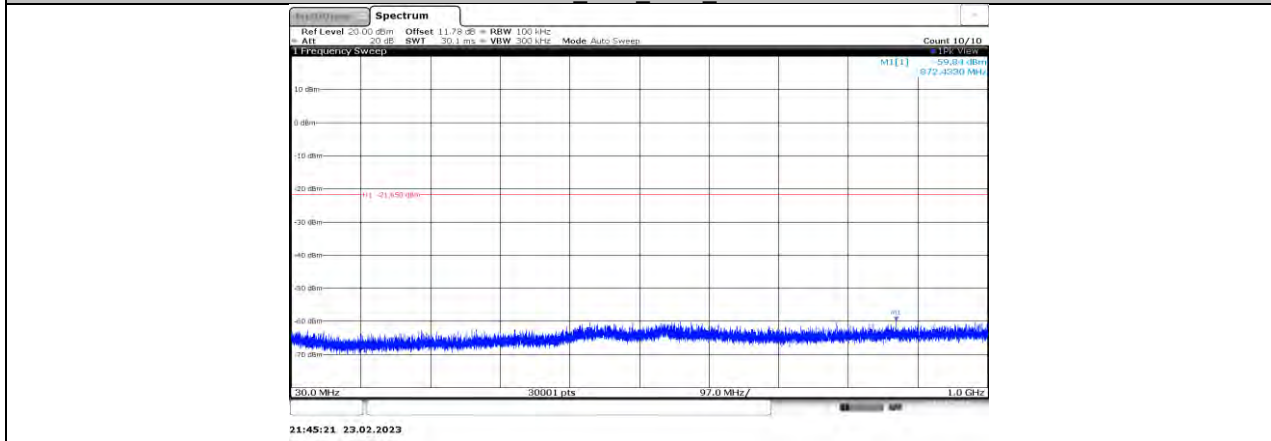
11BE20MIMO_Ant2_2412_30~1000



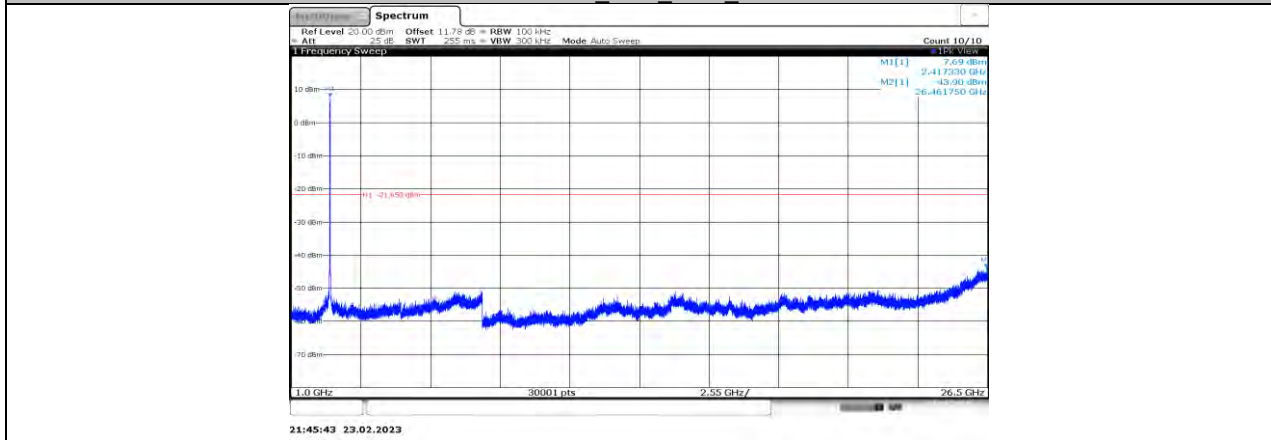
11BE20MIMO_Ant2_2412_1000~26500



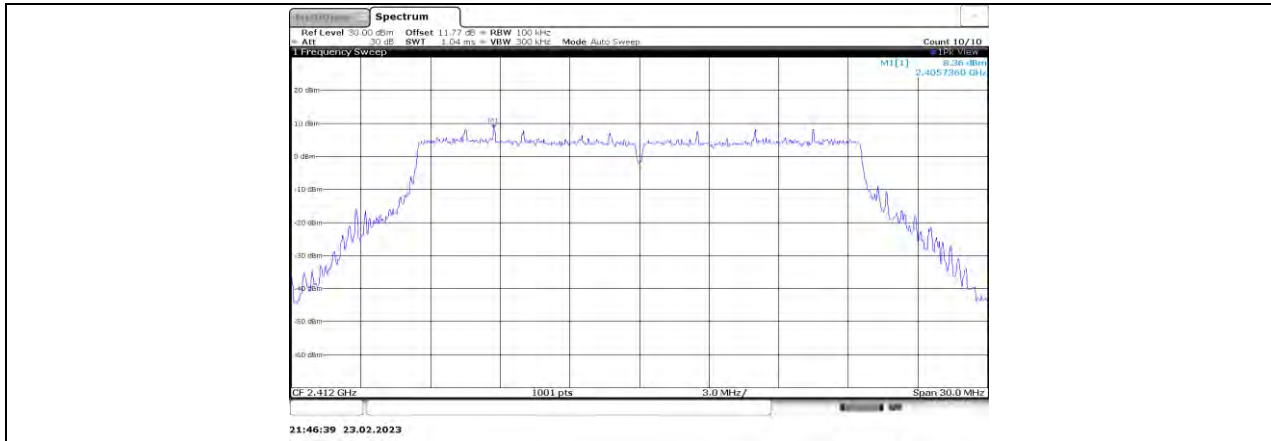
11BE20MIMO_Ant3_2412_0~Reference



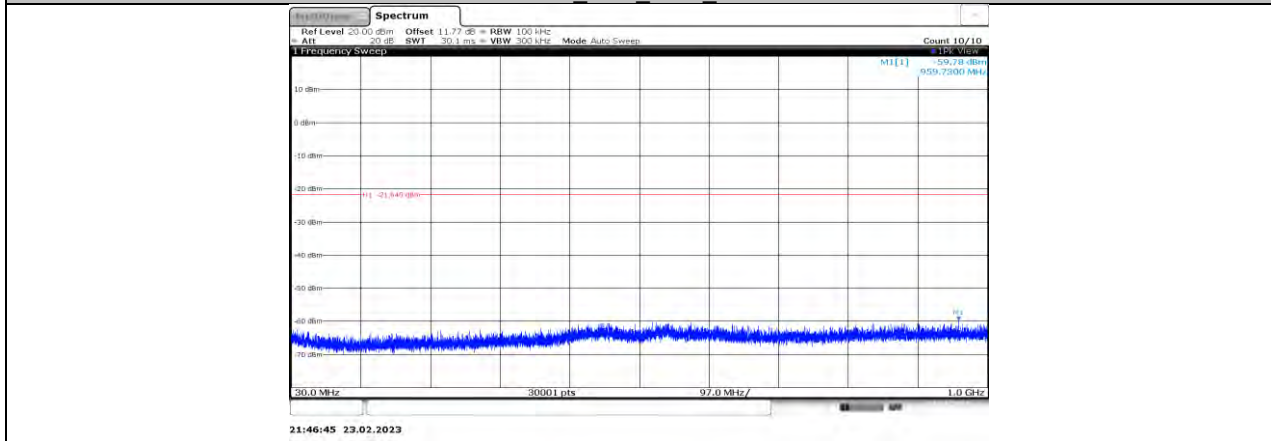
11BE20MIMO_Ant3_2412_30~1000



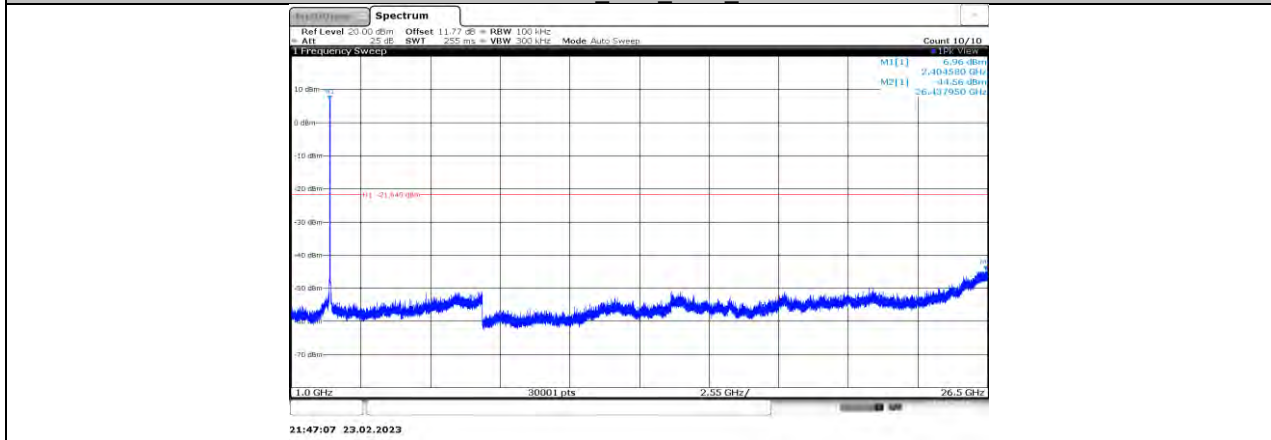
11BE20MIMO_Ant3_2412_1000~26500



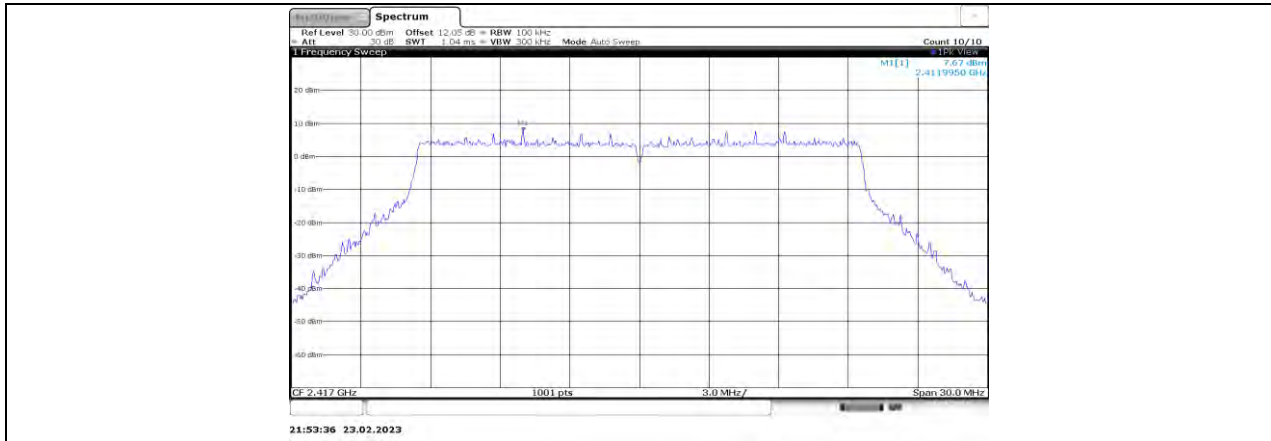
11BE20MIMO_Ant4_2412_0~Reference



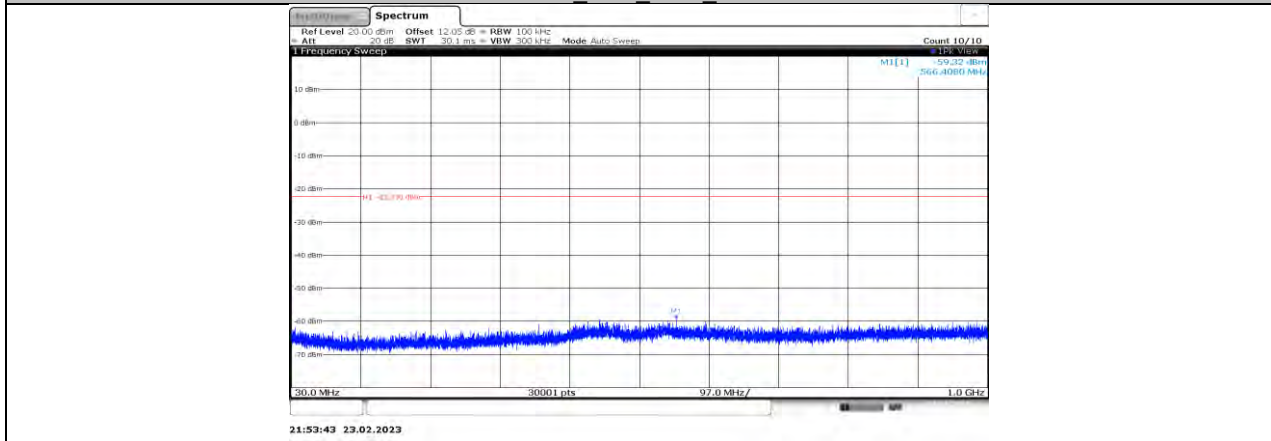
11BE20MIMO_Ant4_2412_30~1000



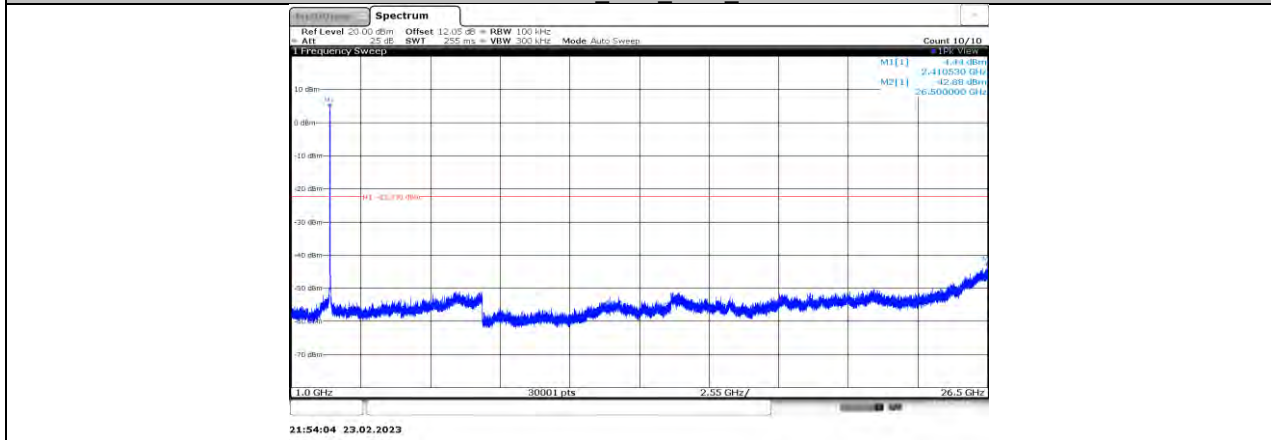
11BE20MIMO_Ant4_2412_1000~26500



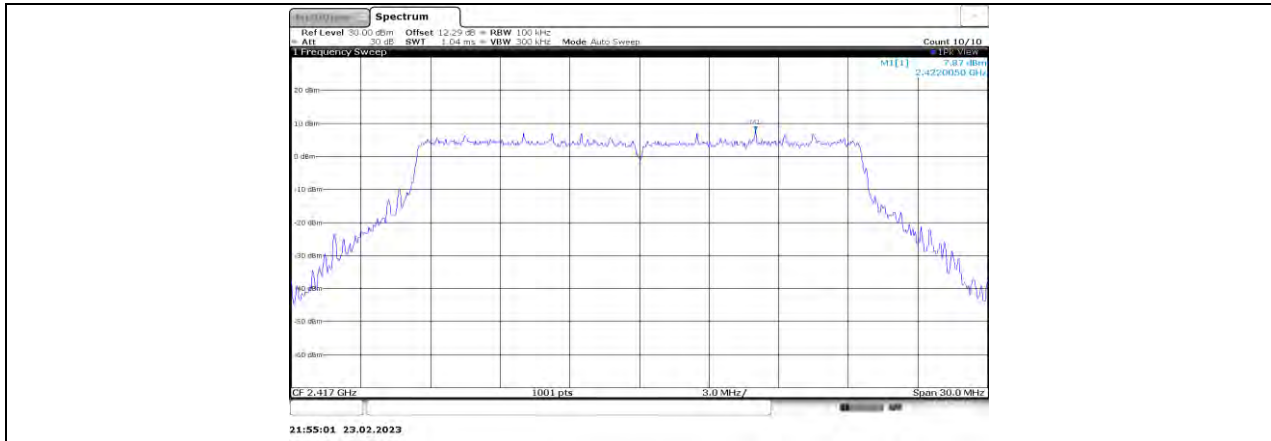
11BE20MIMO_Ant1_2417_0~Reference



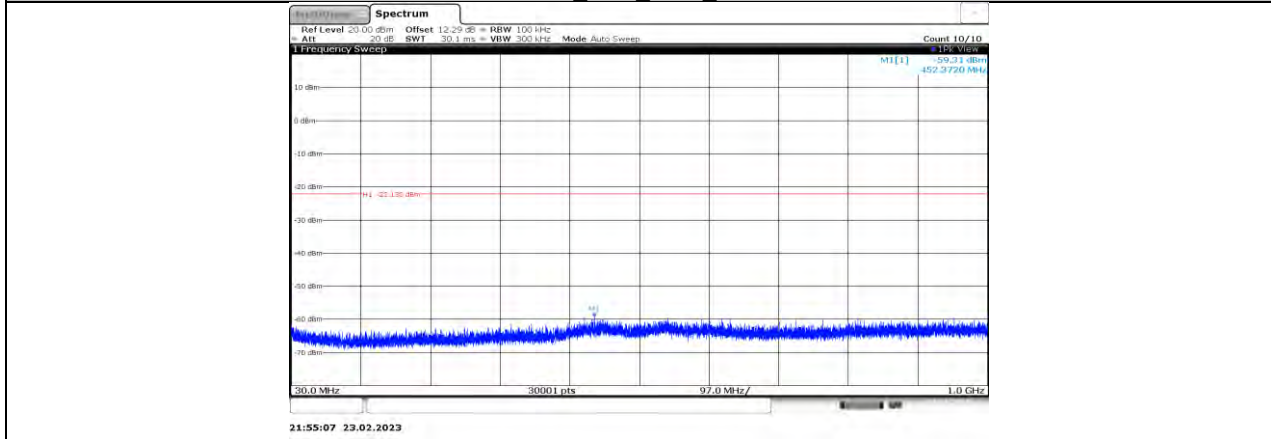
11BE20MIMO_Ant1_2417_30~1000



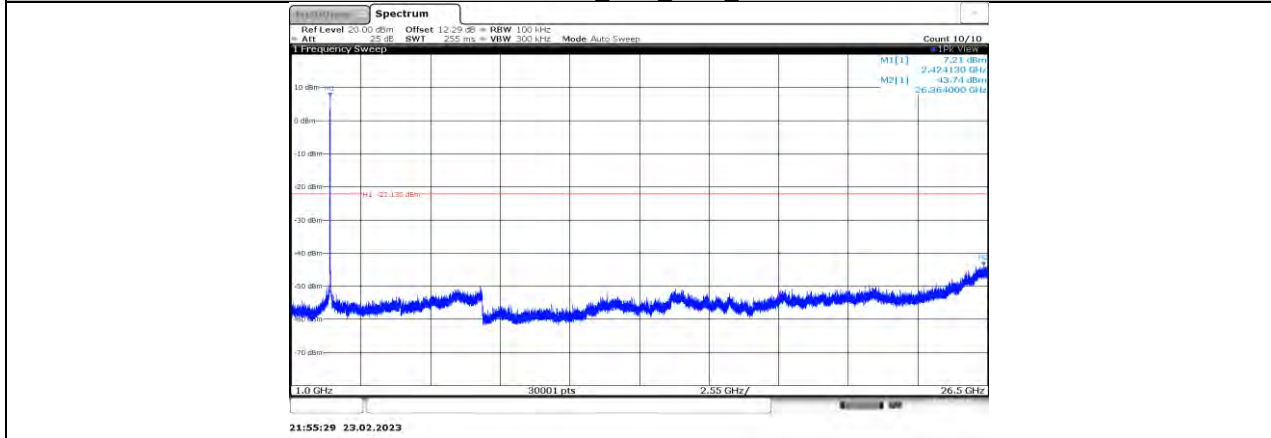
11BE20MIMO_Ant1_2417_1000~26500



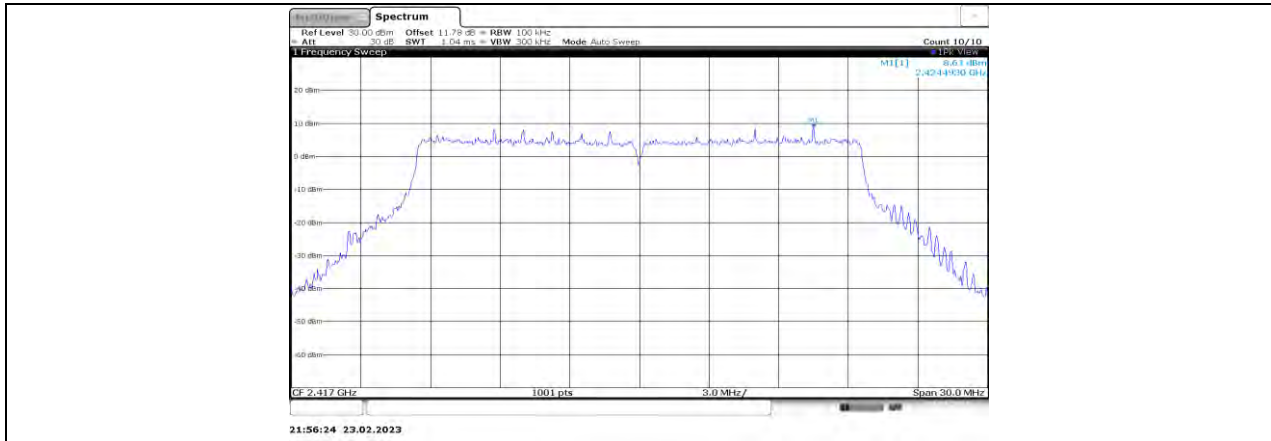
11BE20MIMO_Ant2_2417_0~Reference



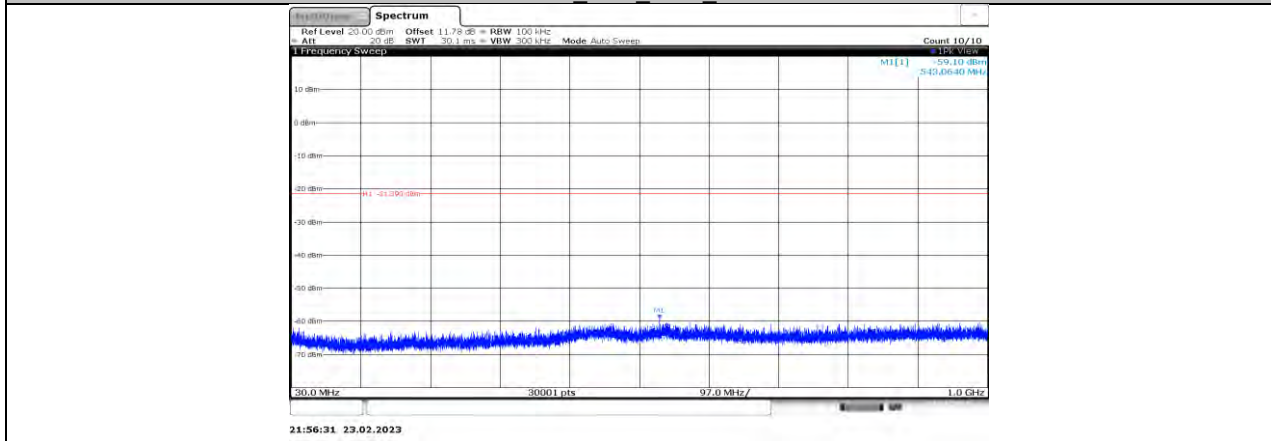
11BE20MIMO_Ant2_2417_30~1000



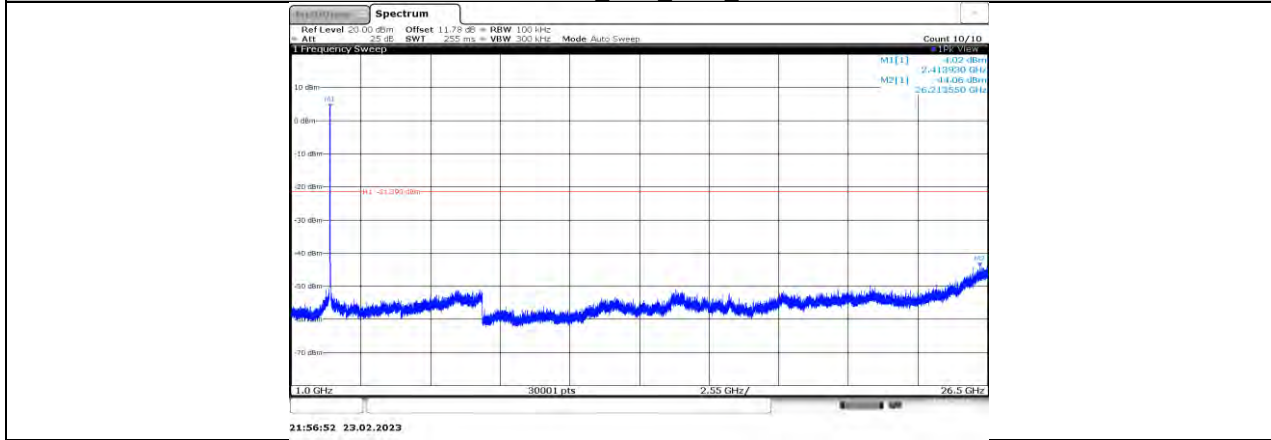
11BE20MIMO_Ant2_2417_1000~26500



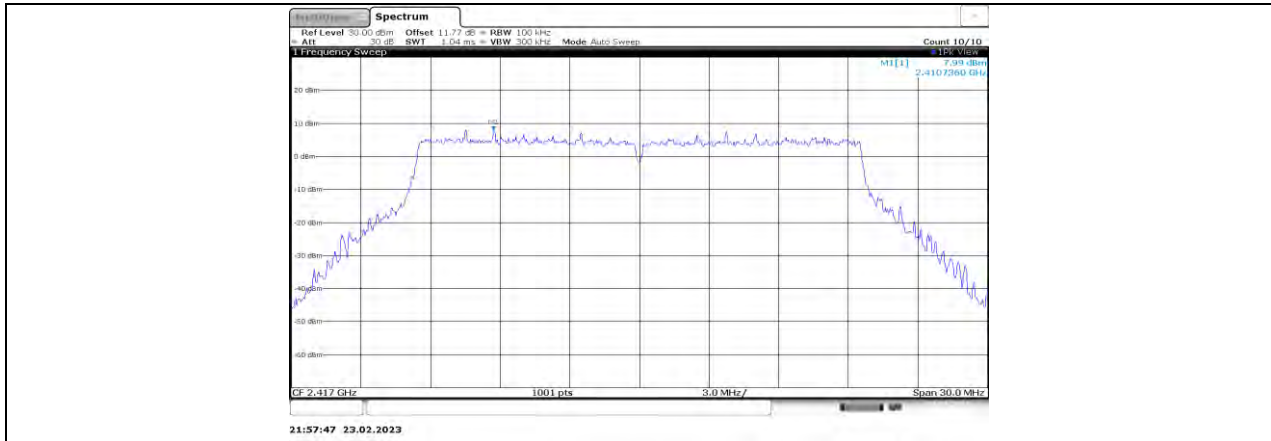
11BE20MIMO_Ant3_2417_0~Reference



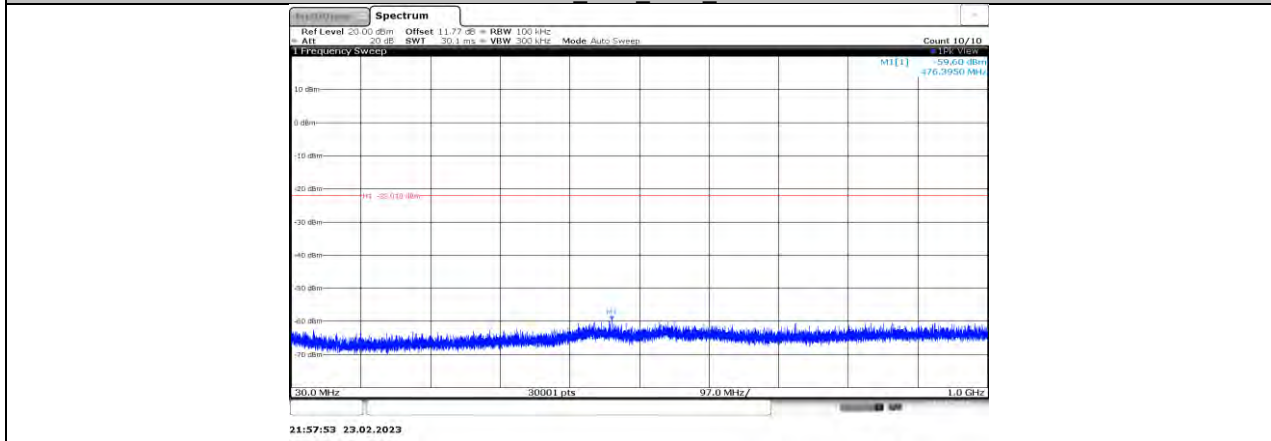
11BE20MIMO_Ant3_2417_30~1000



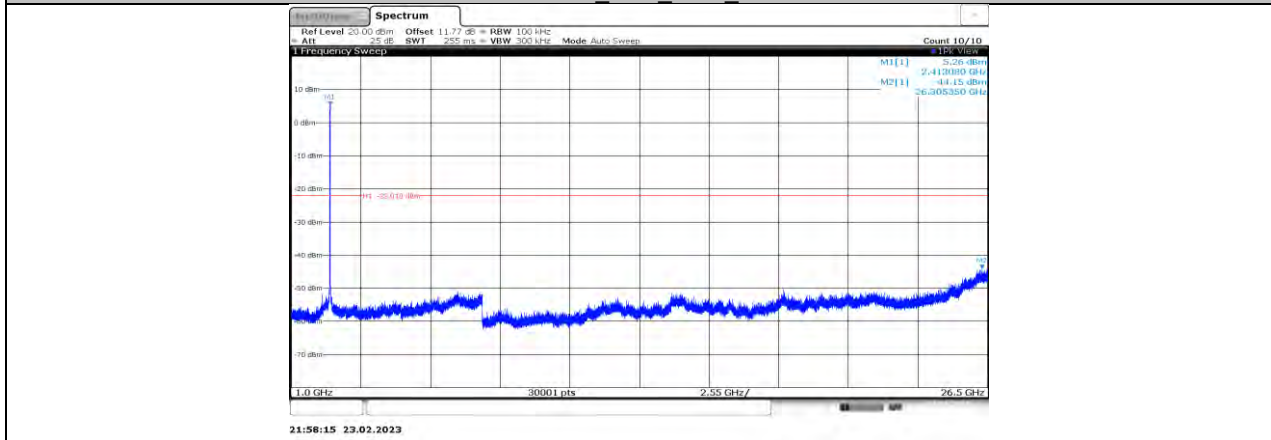
11BE20MIMO_Ant3_2417_1000~26500



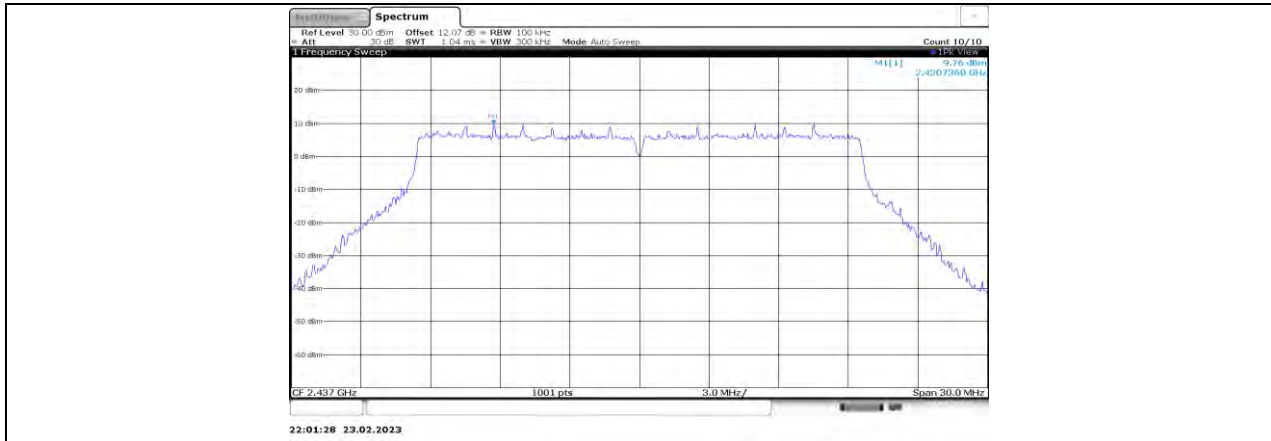
11BE20MIMO_Ant4_2417_0~Reference



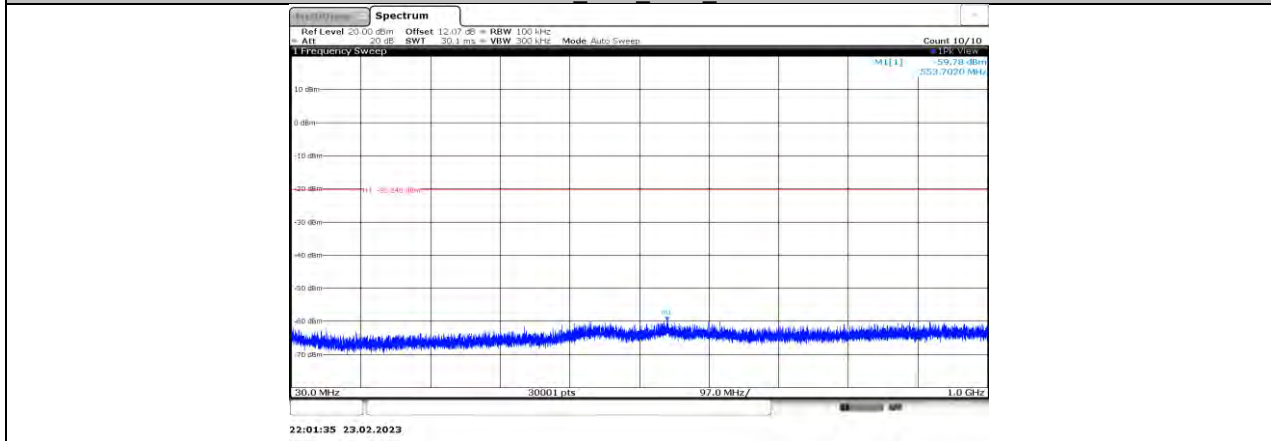
11BE20MIMO_Ant4_2417_30~1000



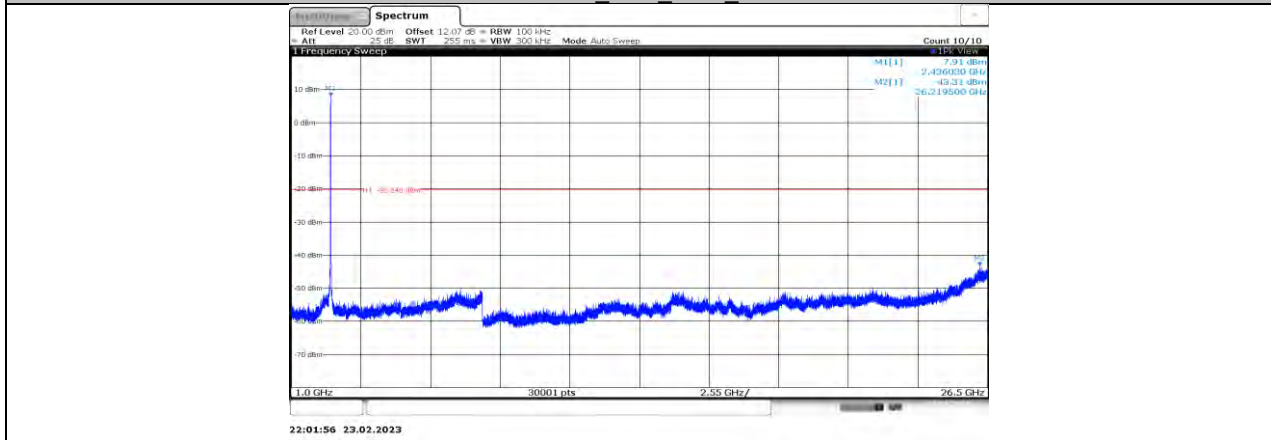
11BE20MIMO_Ant4_2417_1000~26500



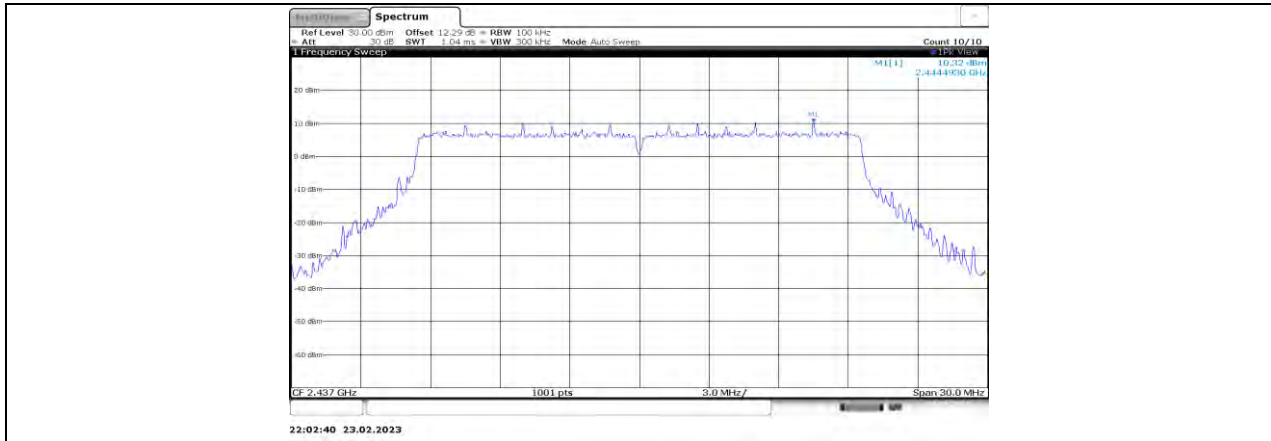
11BE20MIMO_Ant1_2437_0~Reference



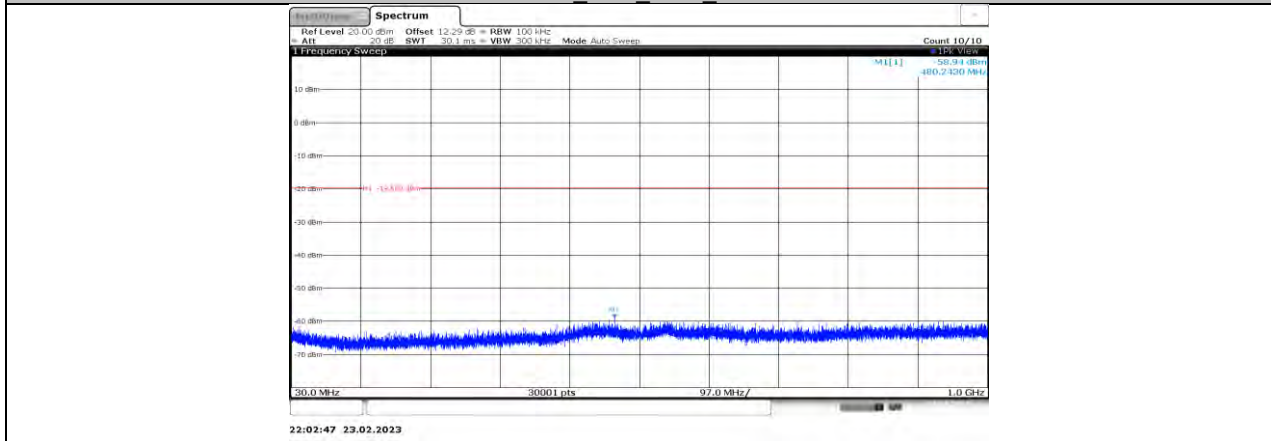
11BE20MIMO_Ant1_2437_30~1000



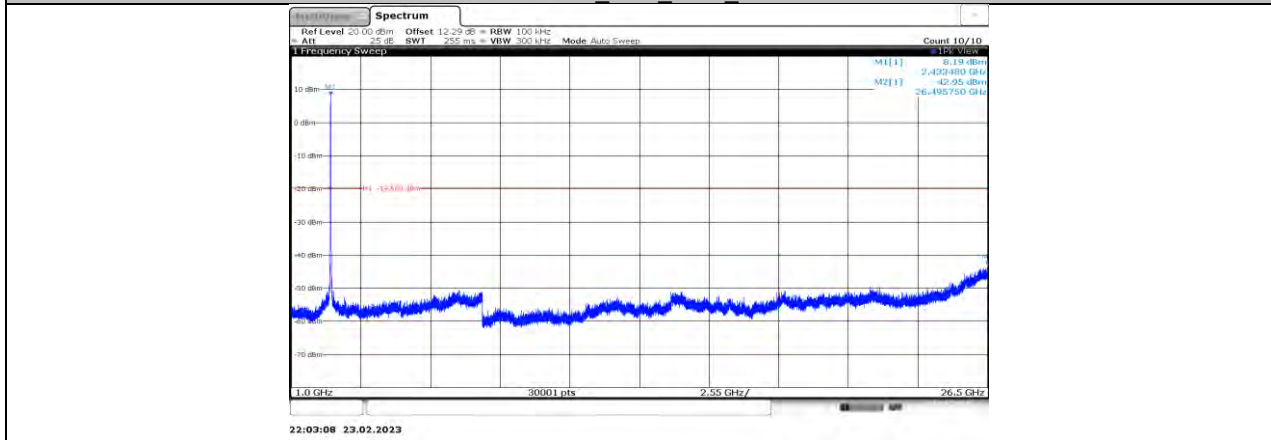
11BE20MIMO_Ant1_2437_1000~26500



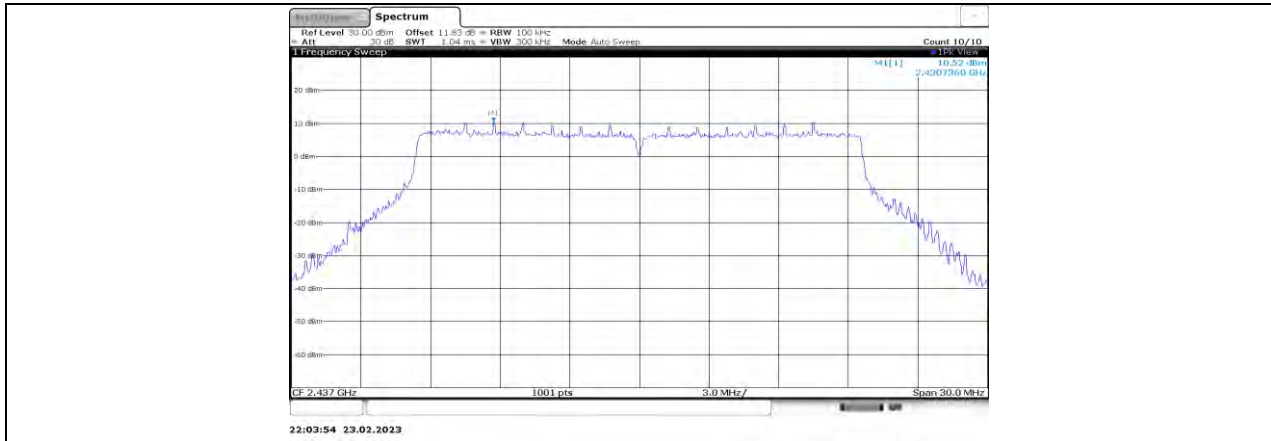
11BE20MIMO_Ant2_2437_0~Reference



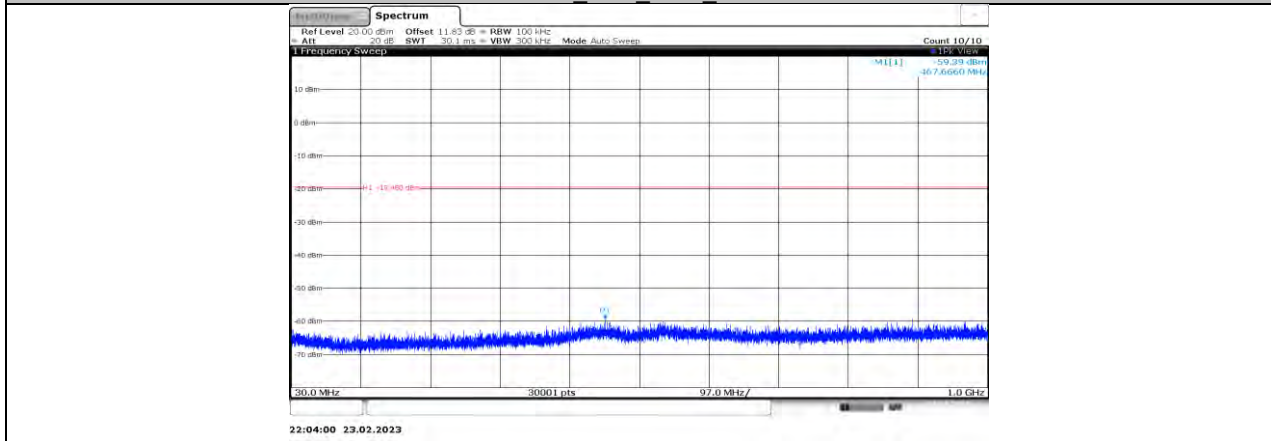
11BE20MIMO_Ant2_2437_30~1000



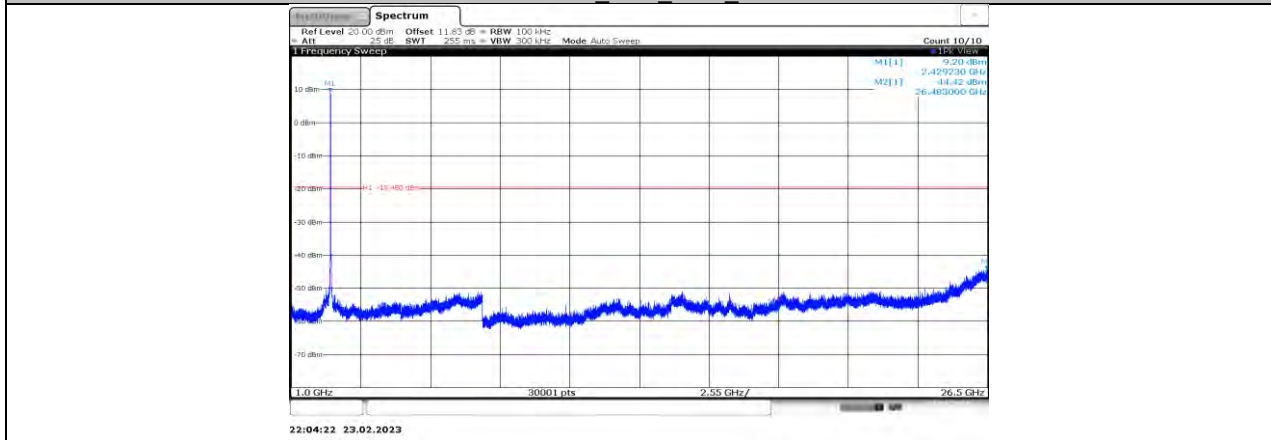
11BE20MIMO_Ant2_2437_1000~26500



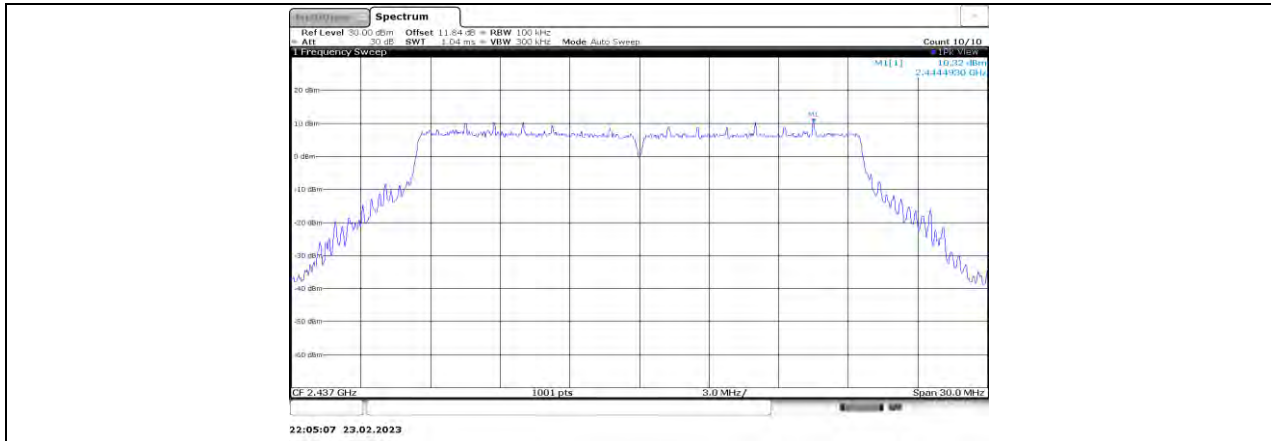
11BE20MIMO_Ant3_2437_0~Reference



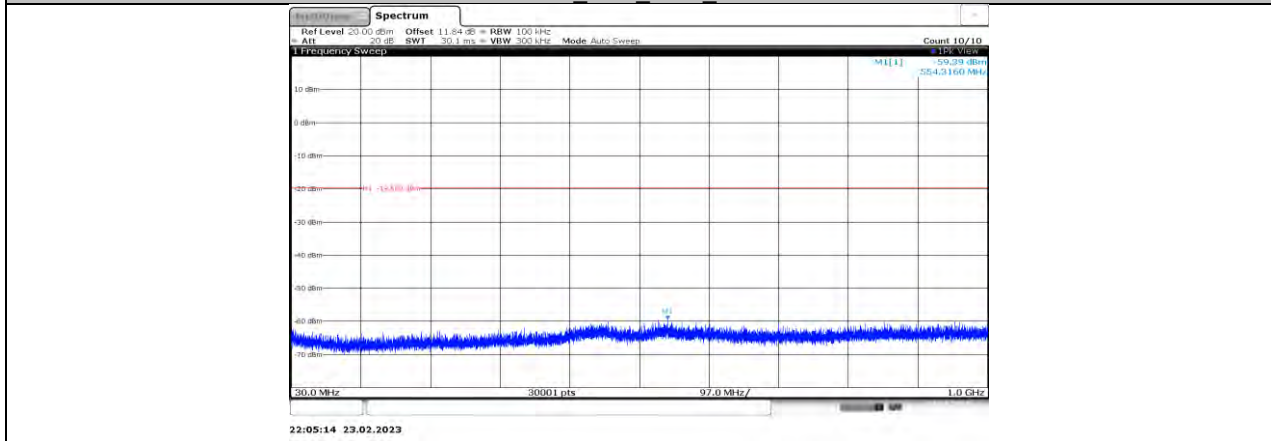
11BE20MIMO_Ant3_2437_30~1000



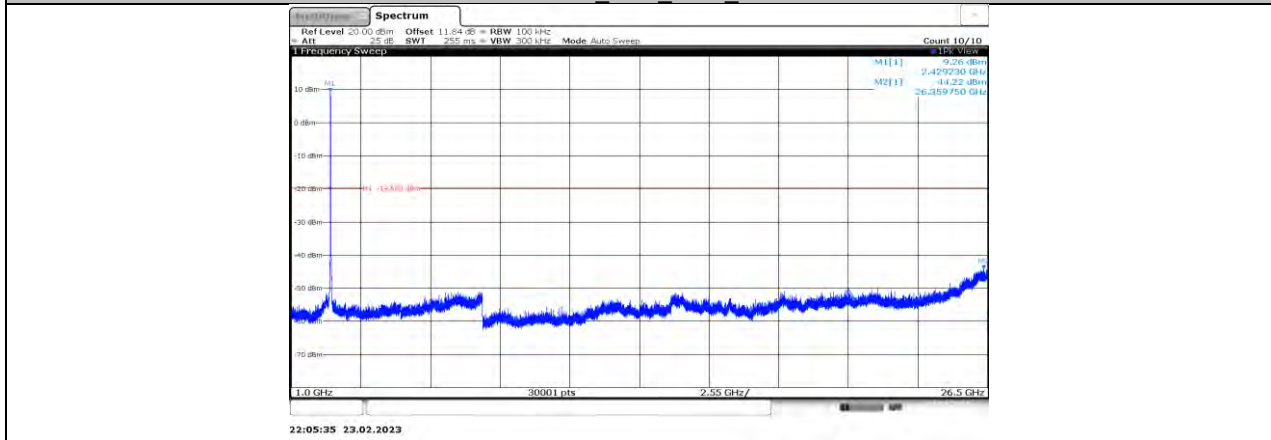
11BE20MIMO_Ant3_2437_1000~26500



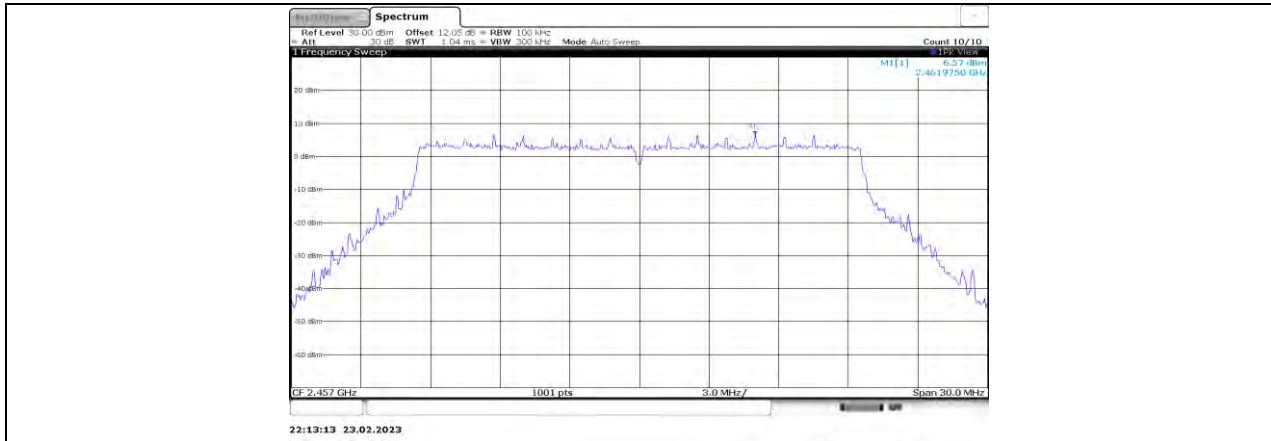
11BE20MIMO_Ant4_2437_0~Reference



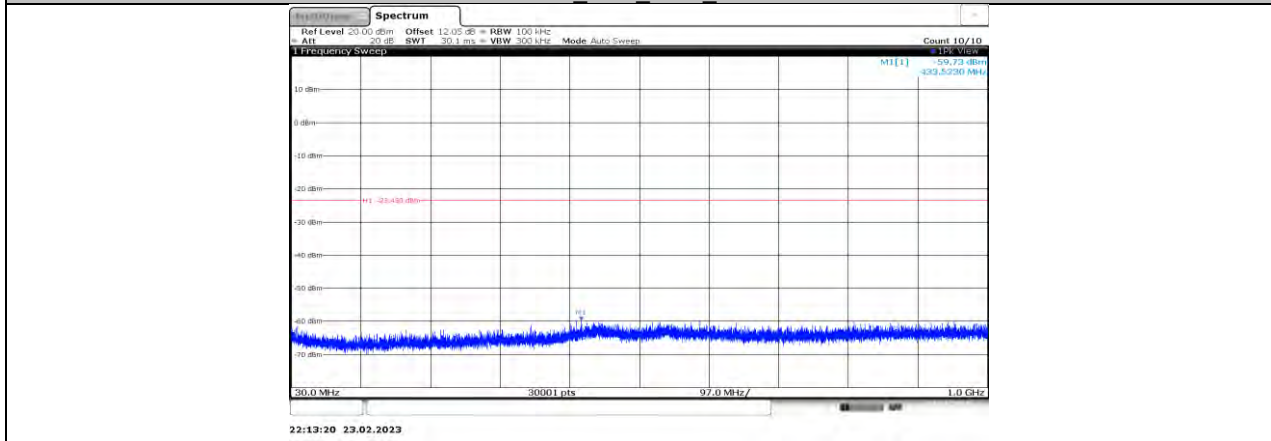
11BE20MIMO_Ant4_2437_30~1000



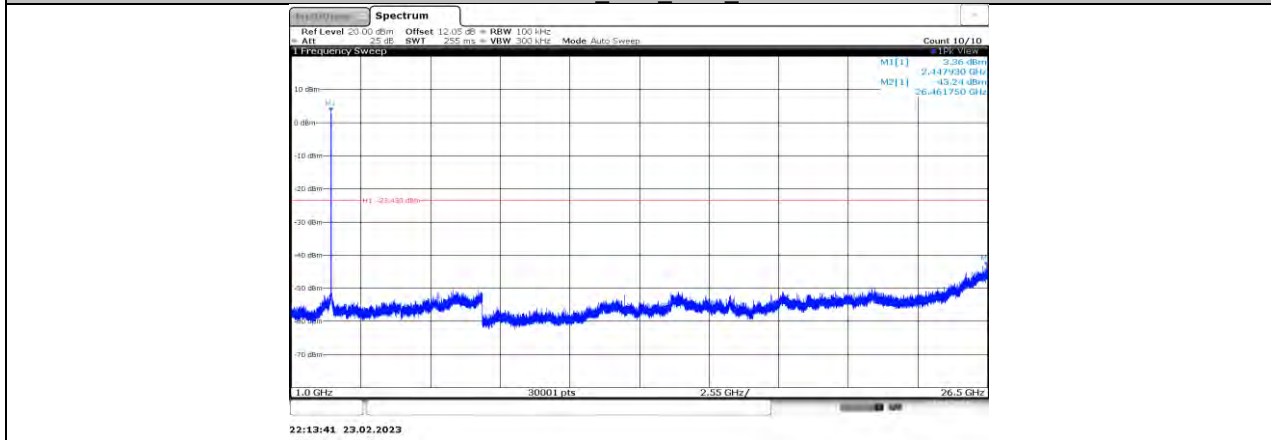
11BE20MIMO_Ant4_2437_1000~26500



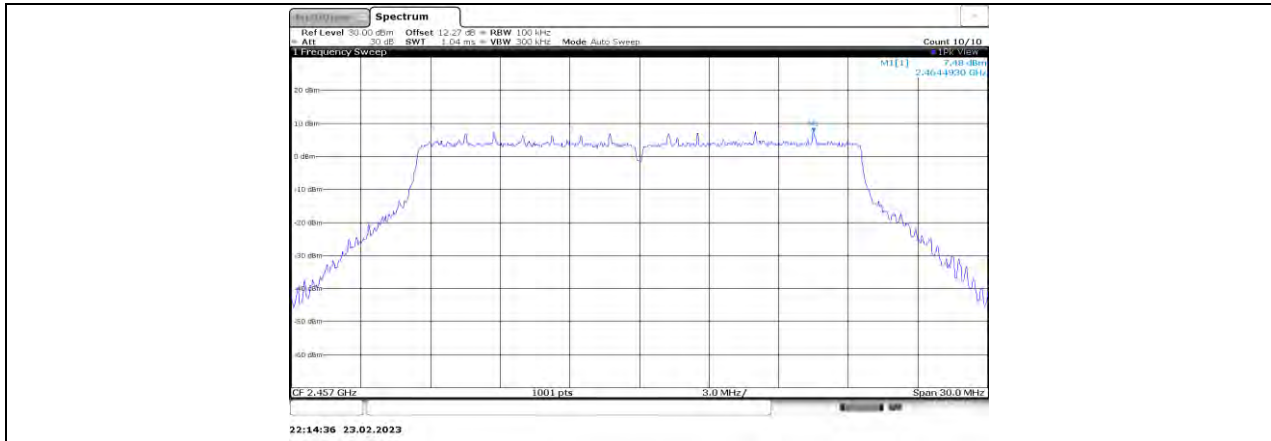
11BE20MIMO_Ant1_2457_0~Reference



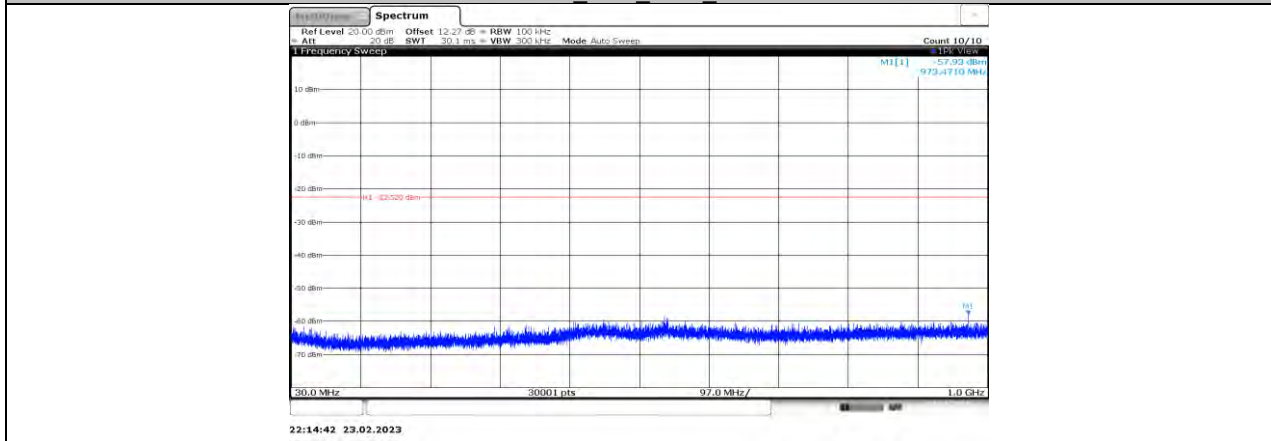
11BE20MIMO_Ant1_2457_30~1000



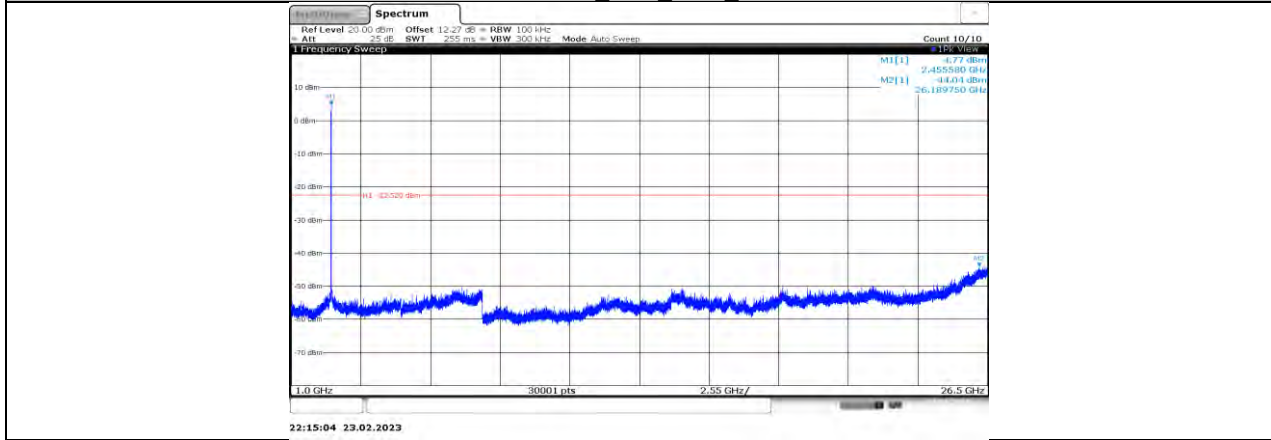
11BE20MIMO_Ant1_2457_1000~26500



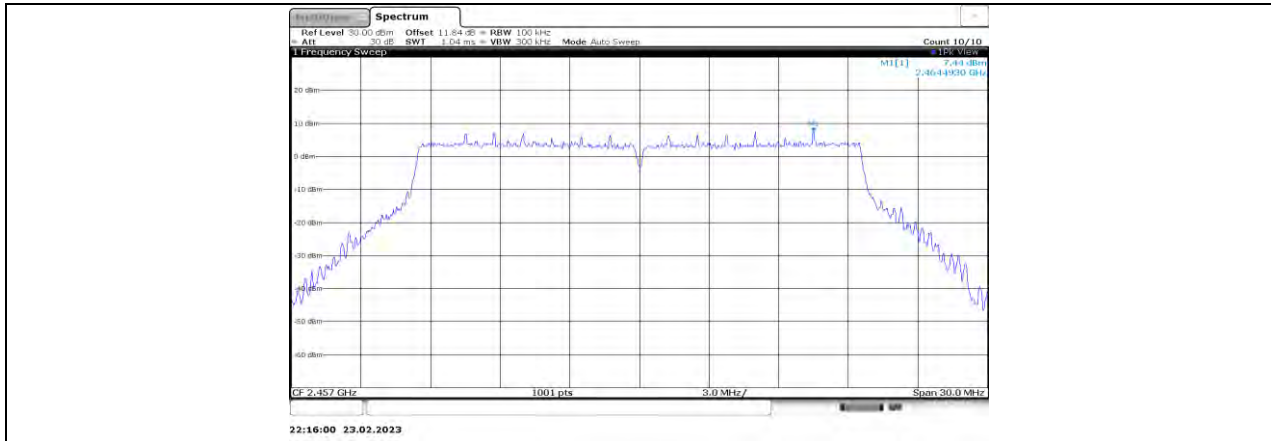
11BE20MIMO_Ant2_2457_0~Reference



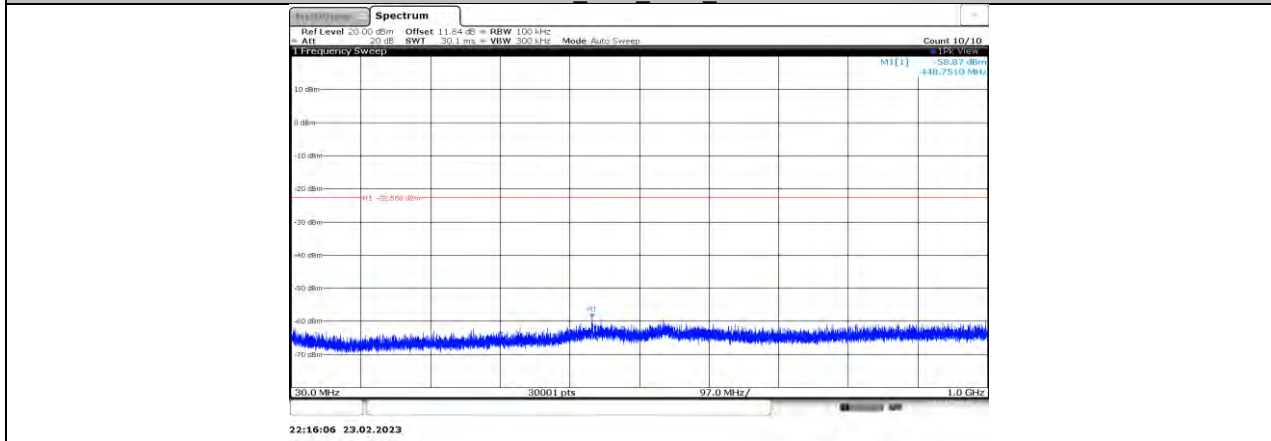
11BE20MIMO_Ant2_2457_30~1000



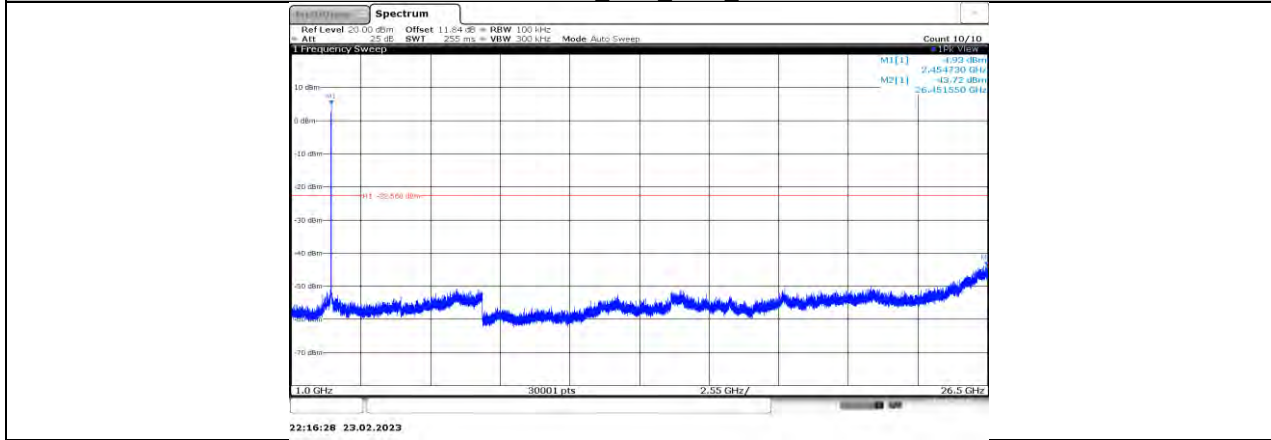
11BE20MIMO_Ant2_2457_1000~26500



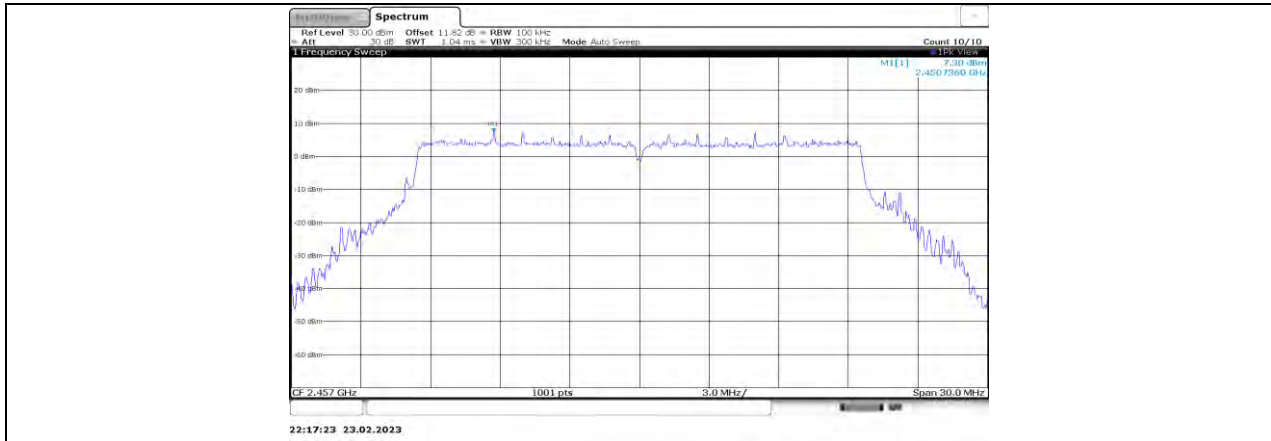
11BE20MIMO_Ant3_2457_0~Reference



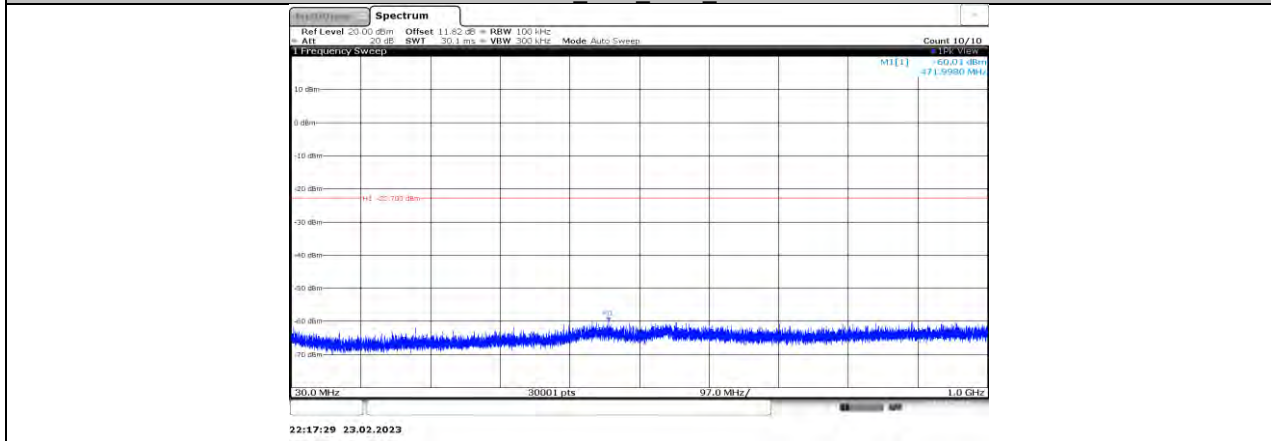
11BE20MIMO_Ant3_2457_30~1000



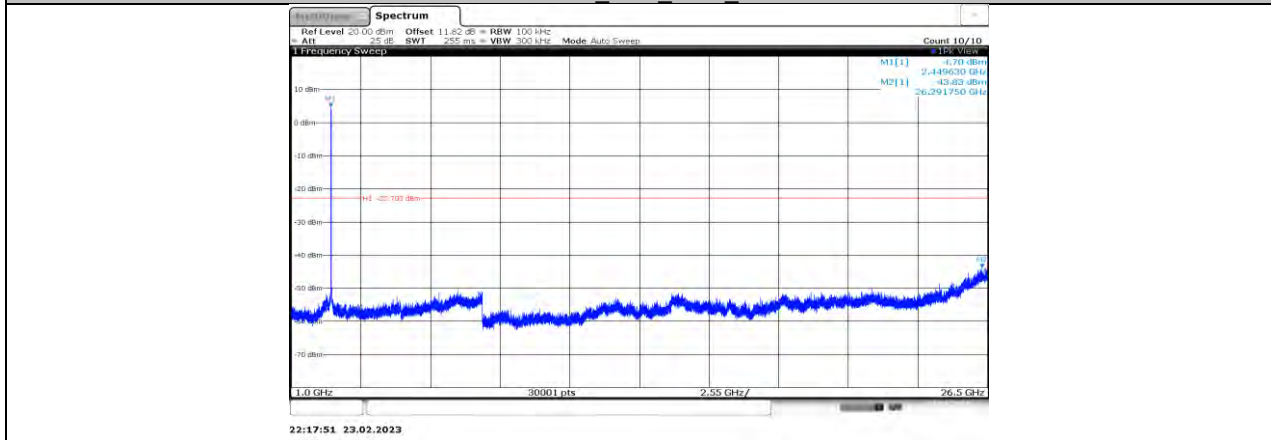
11BE20MIMO_Ant3_2457_1000~26500



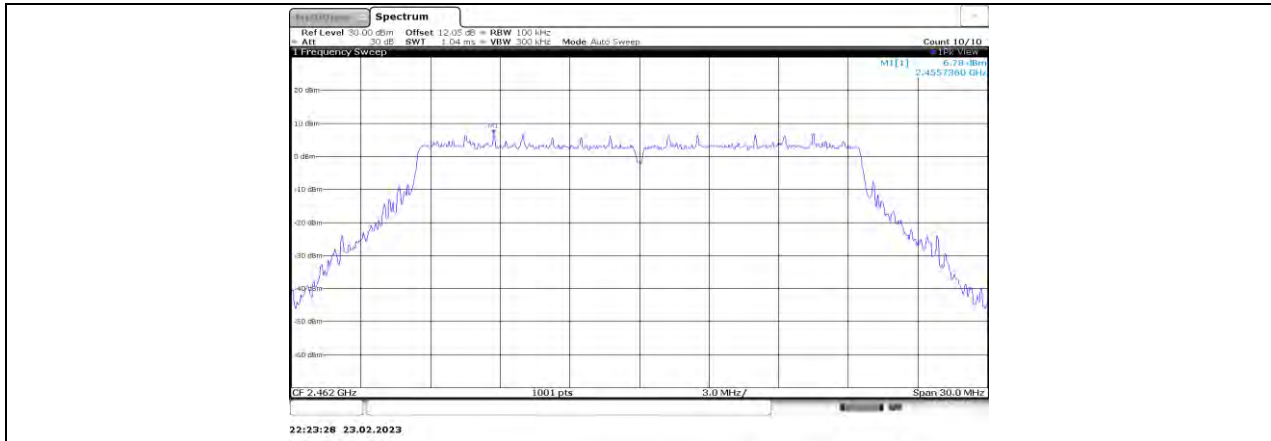
11BE20MIMO_Ant4_2457_0~Reference



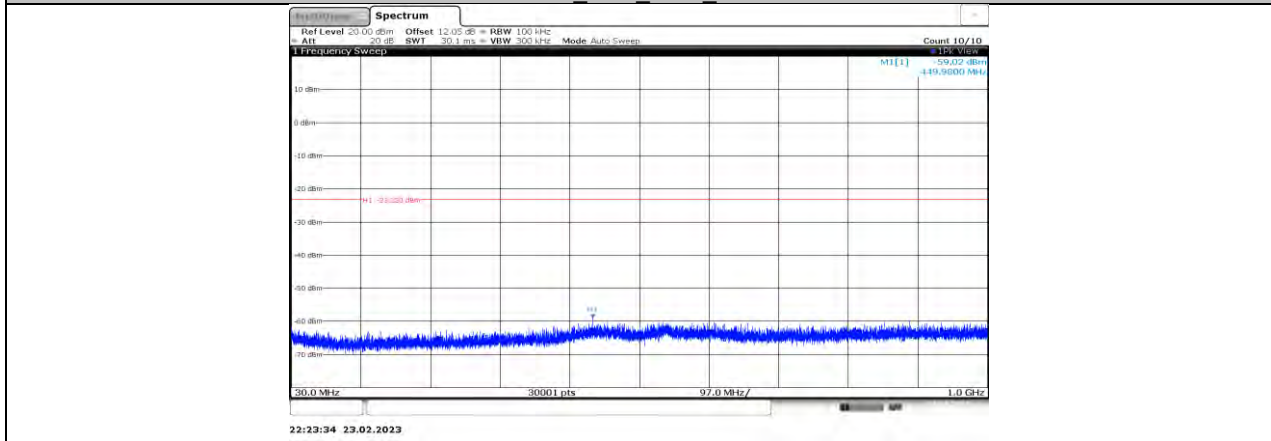
11BE20MIMO_Ant4_2457_30~1000



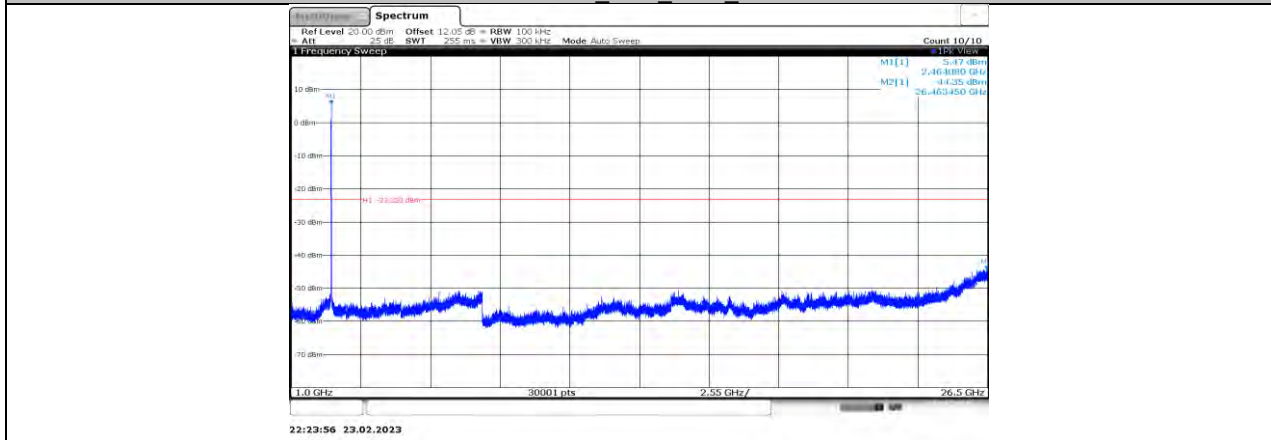
11BE20MIMO_Ant4_2457_1000~26500



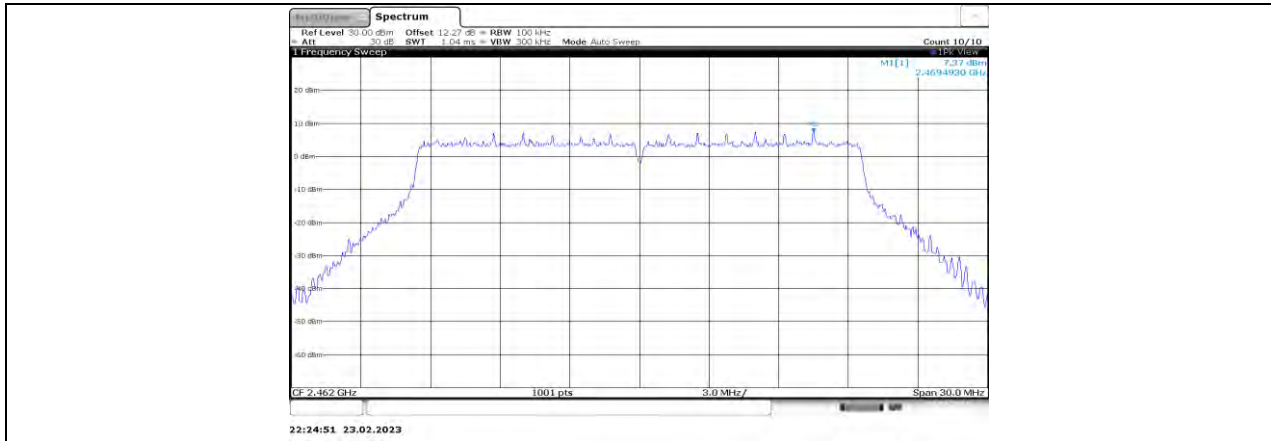
11BE20MIMO_Ant1_2462_0~Reference



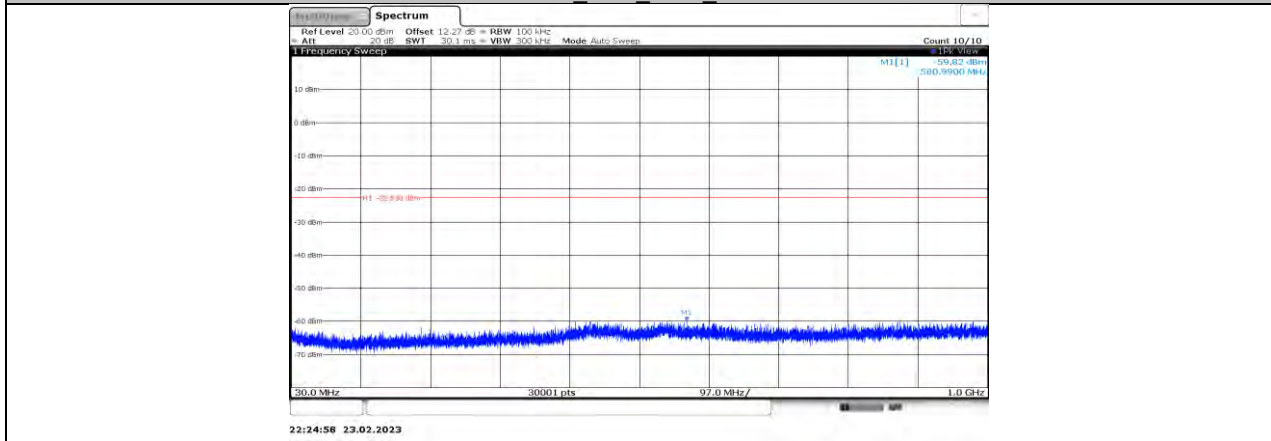
11BE20MIMO_Ant1_2462_30~1000



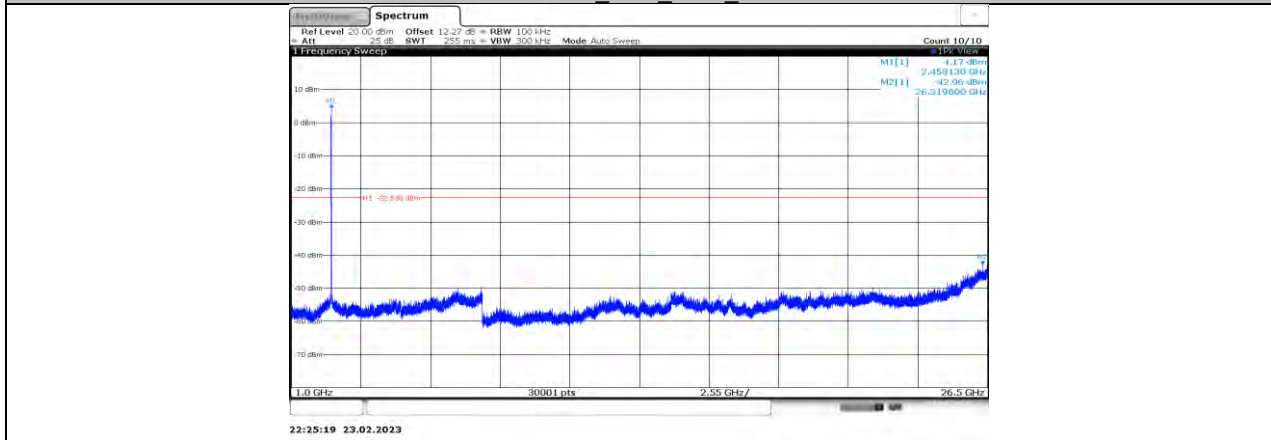
11BE20MIMO_Ant1_2462_1000~26500



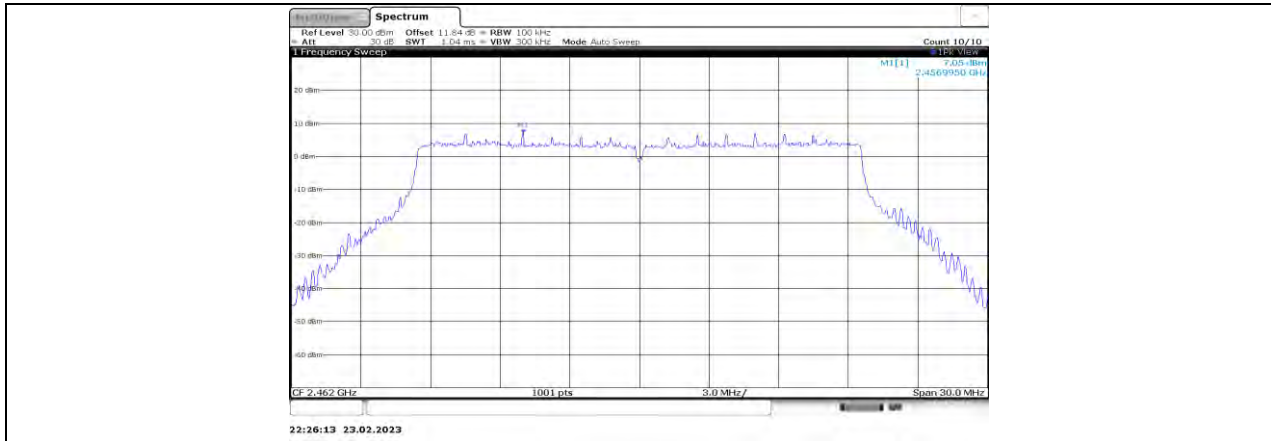
11BE20MIMO_Ant2_2462_0~Reference



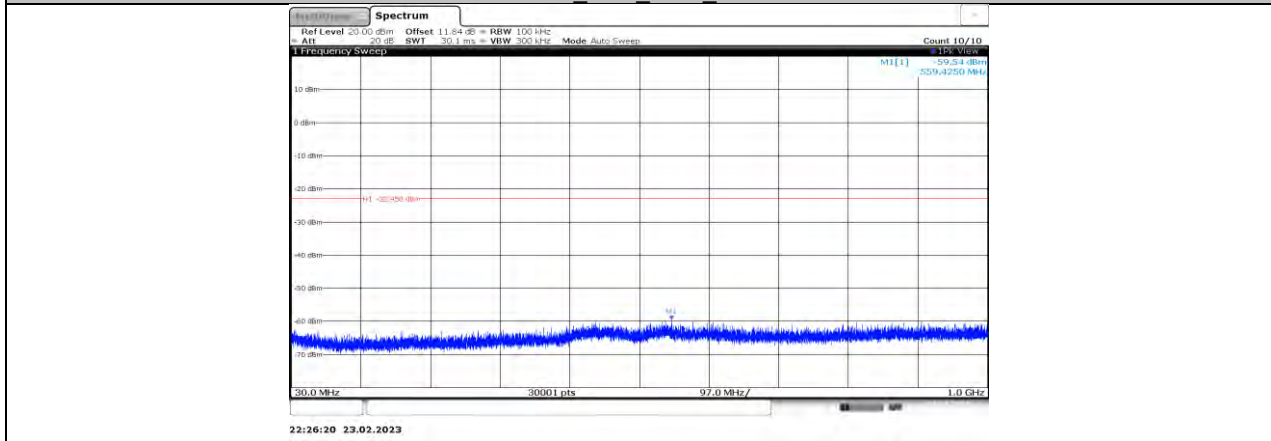
11BE20MIMO_Ant2_2462_30~1000



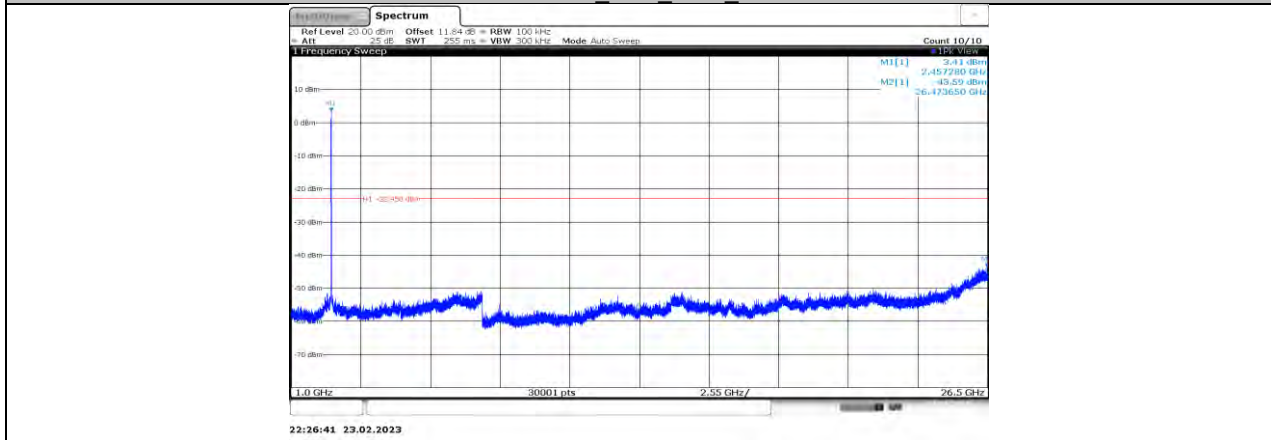
11BE20MIMO_Ant2_2462_1000~26500



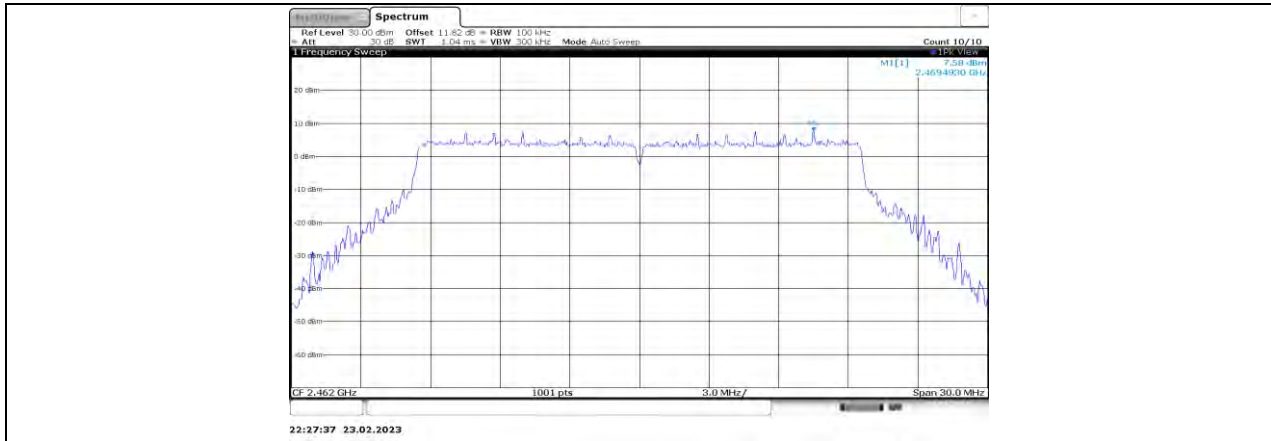
11BE20MIMO_Ant3_2462_0~Reference



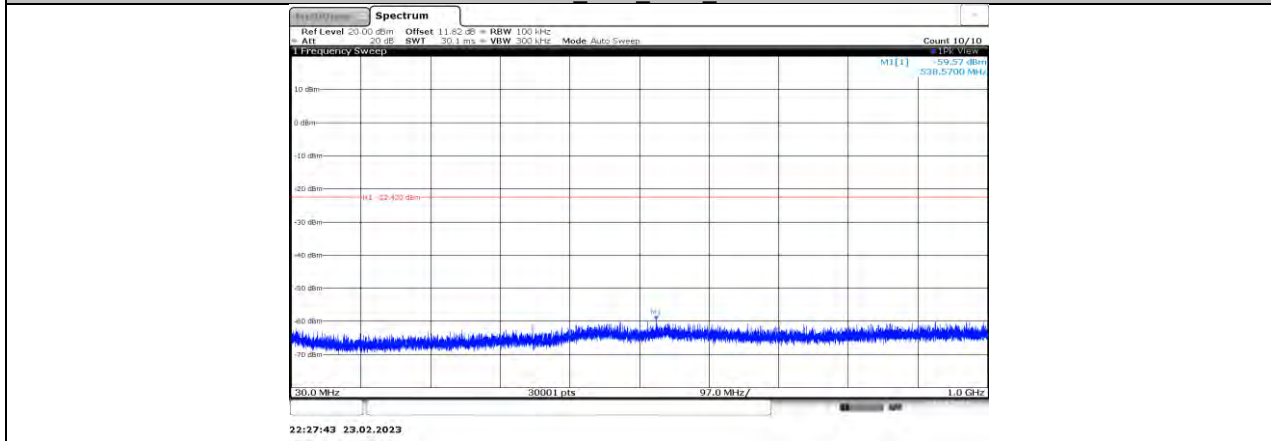
11BE20MIMO_Ant3_2462_30~1000



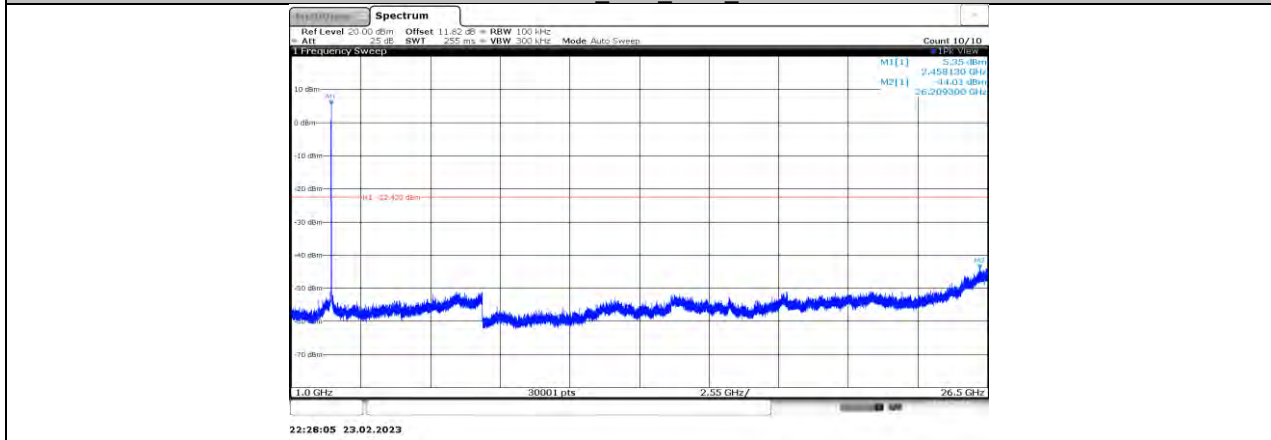
11BE20MIMO_Ant3_2462_1000~26500



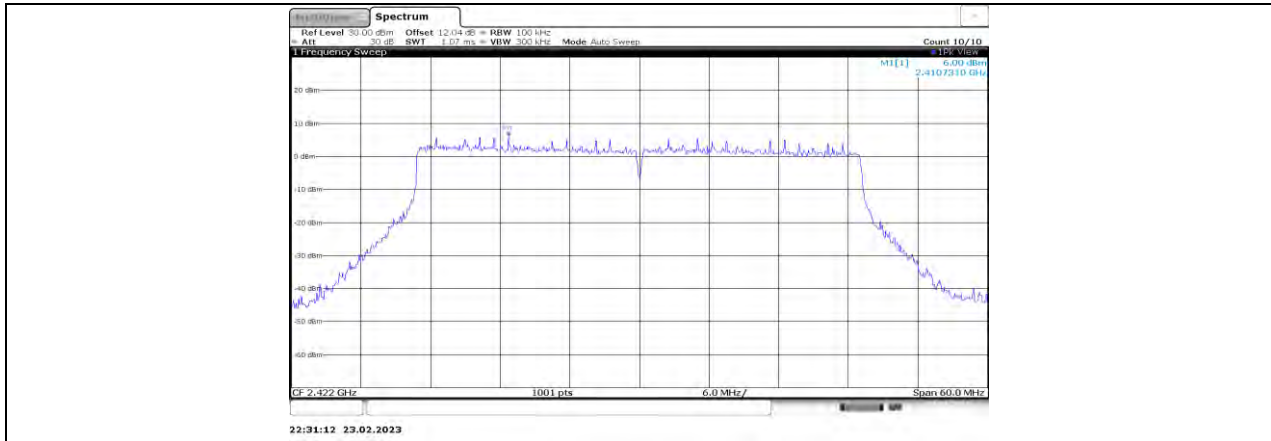
11BE20MIMO_Ant4_2462_0~Reference



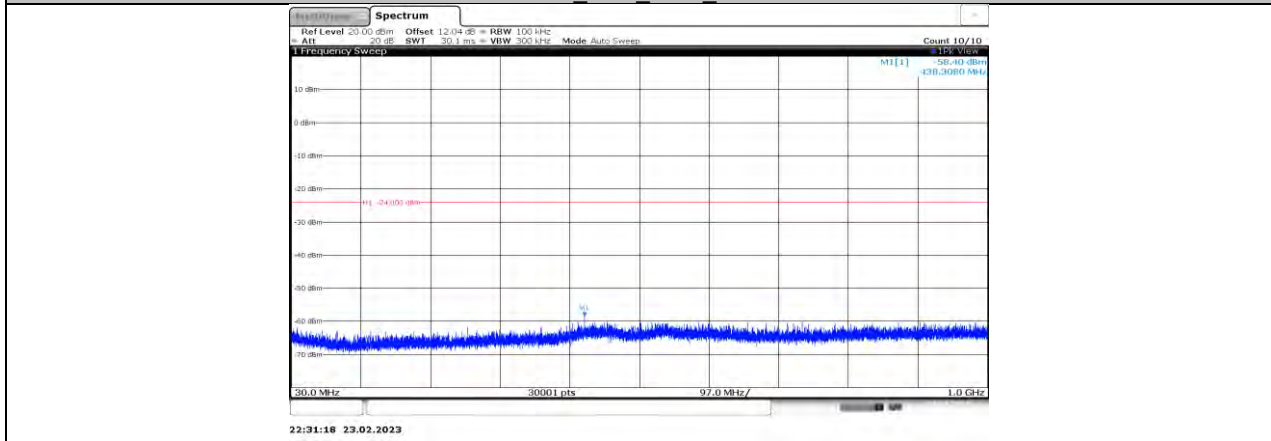
11BE20MIMO_Ant4_2462_30~1000



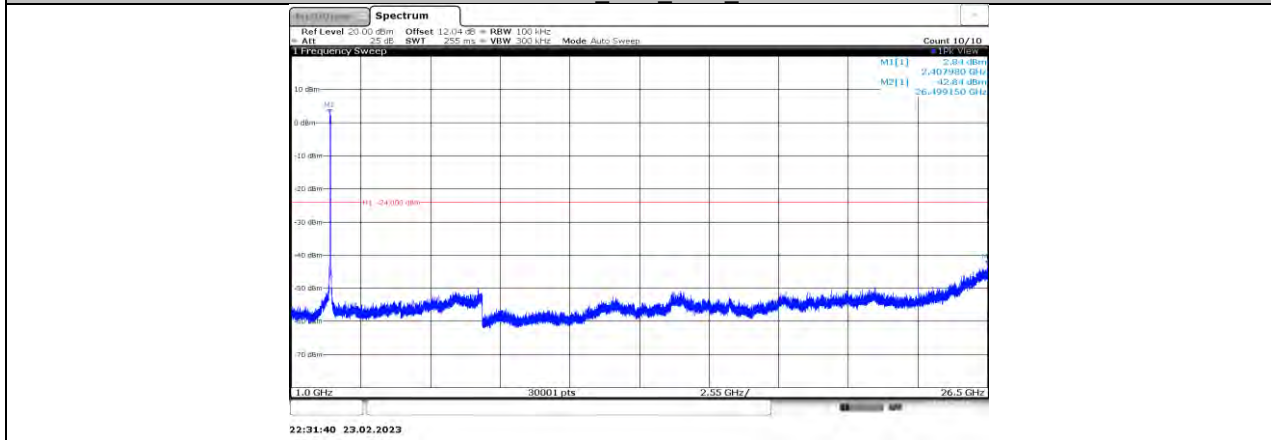
11BE20MIMO_Ant4_2462_1000~26500



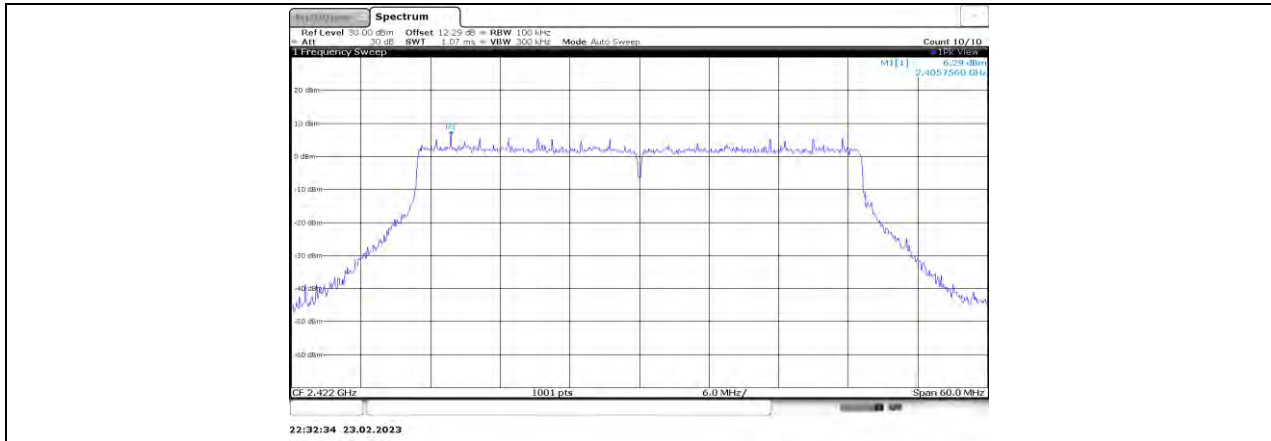
11BE40MIMO_Ant1_2422_0~Reference



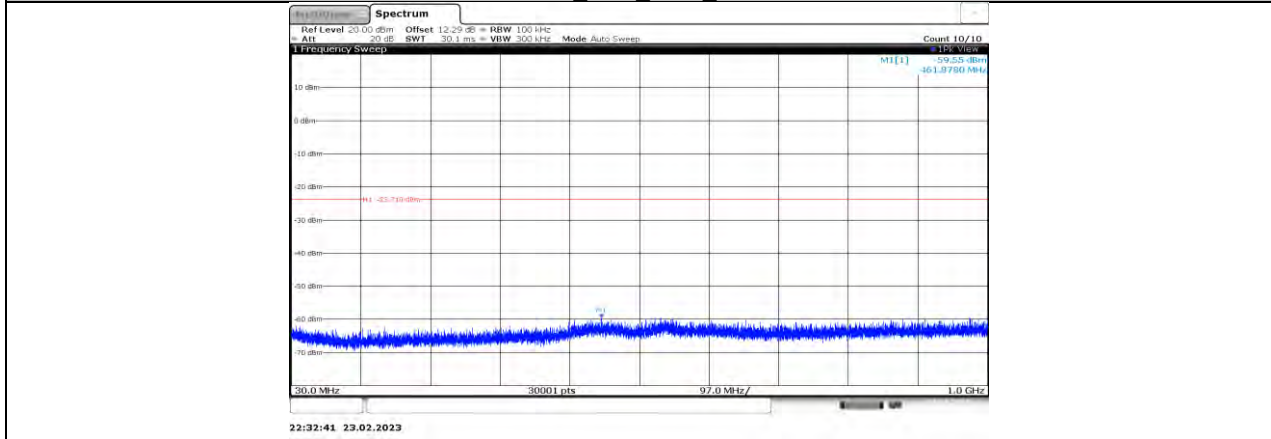
11BE40MIMO_Ant1_2422_30~1000



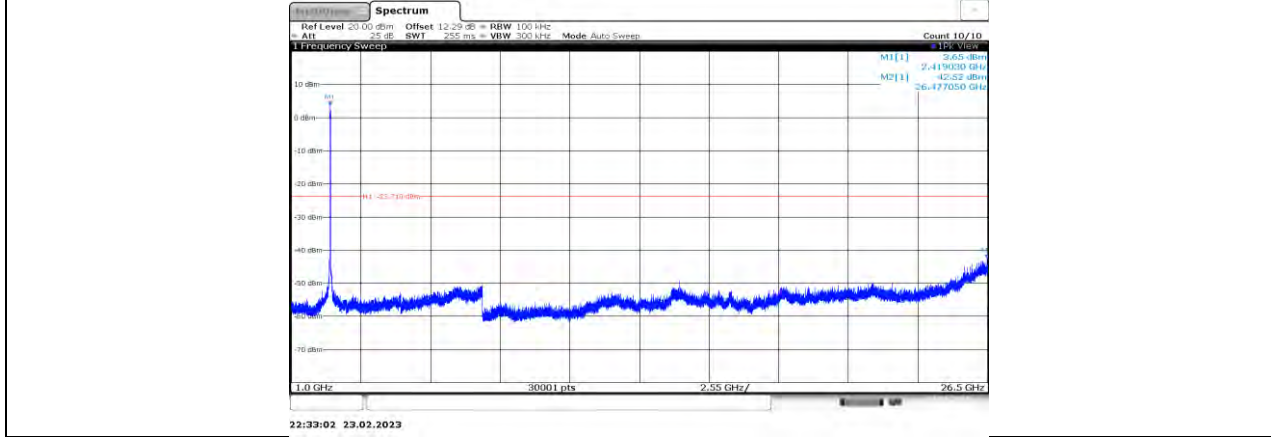
11BE40MIMO_Ant1_2422_1000~26500



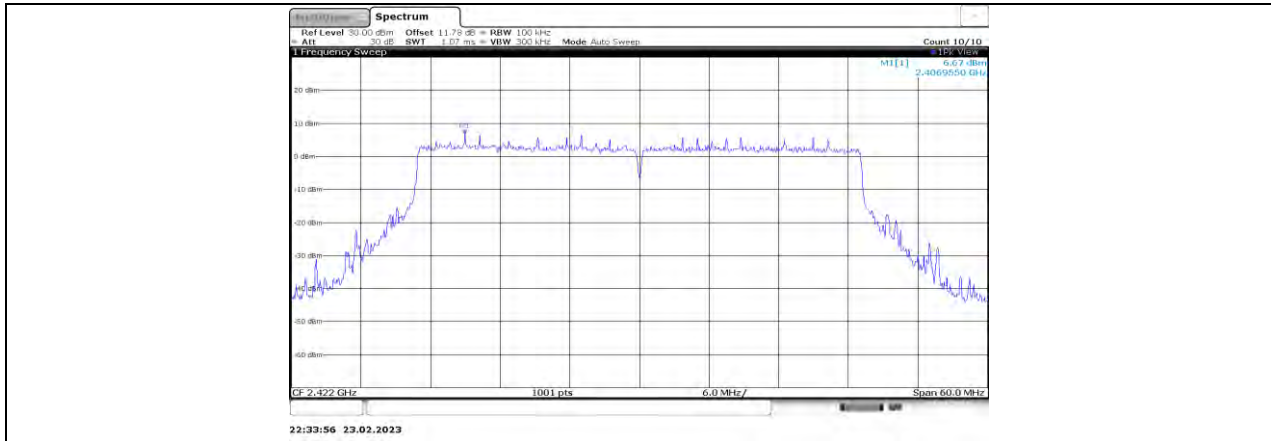
11BE40MIMO_Ant2_2422_0~Reference



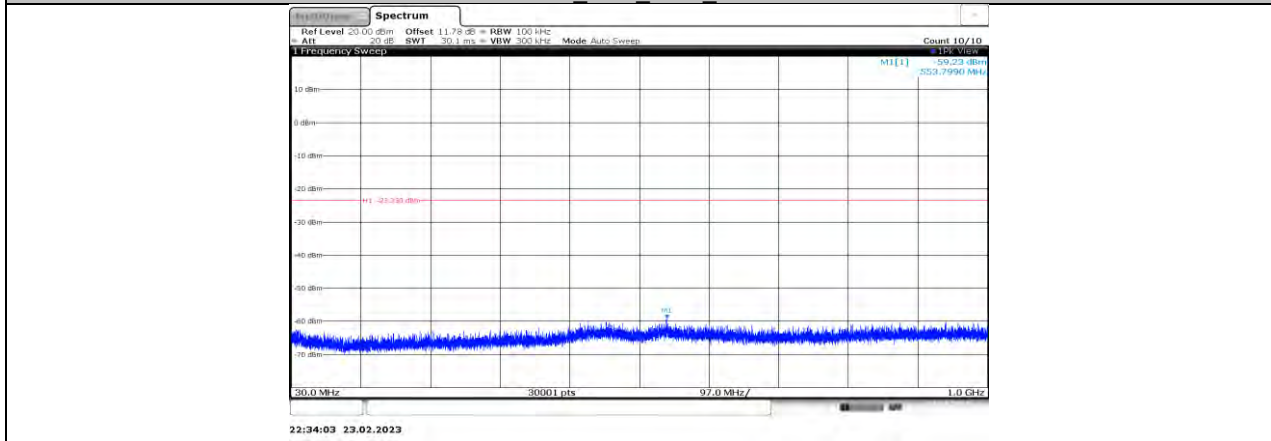
11BE40MIMO_Ant2_2422_30~1000



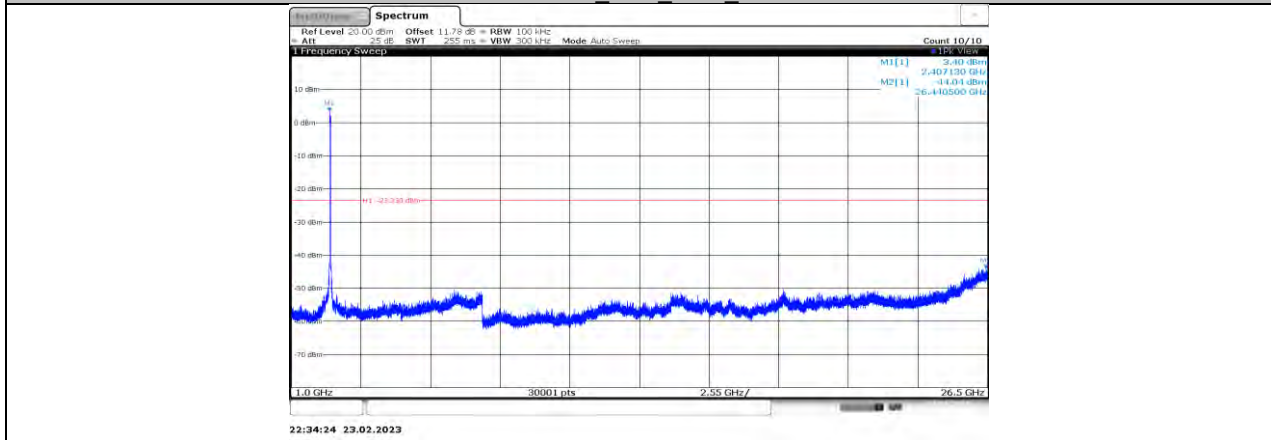
11BE40MIMO_Ant2_2422_1000~26500



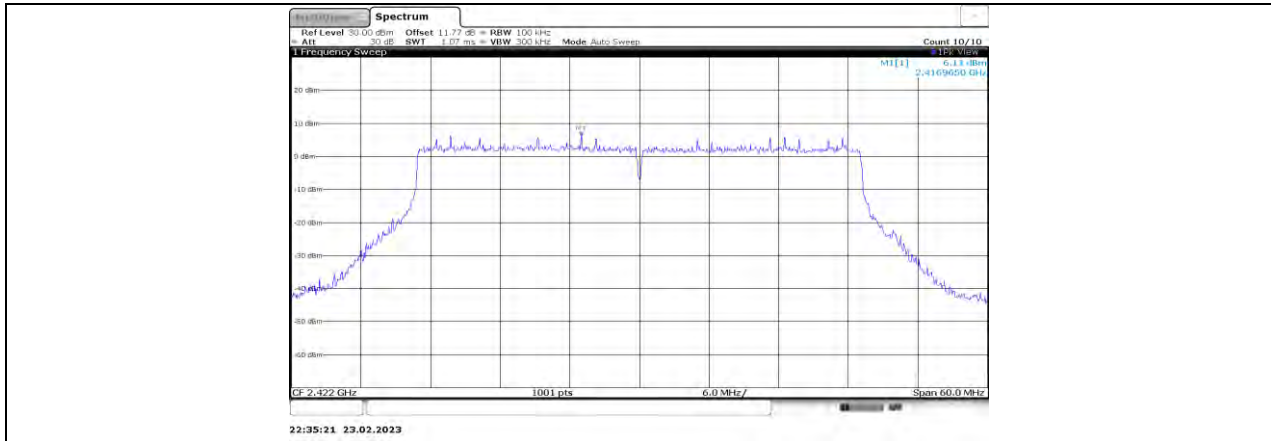
11BE40MIMO_Ant3_2422_0~Reference



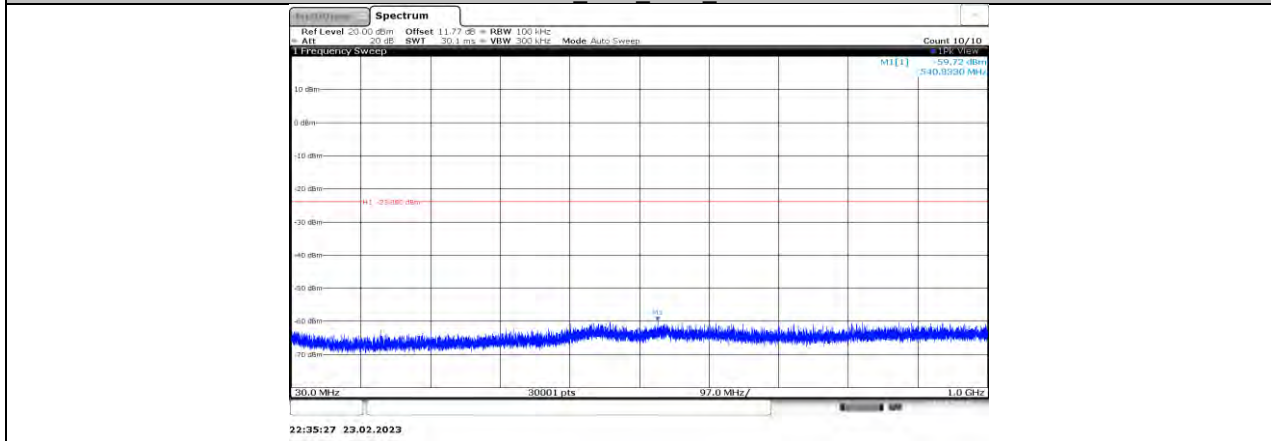
11BE40MIMO_Ant3_2422_30~1000



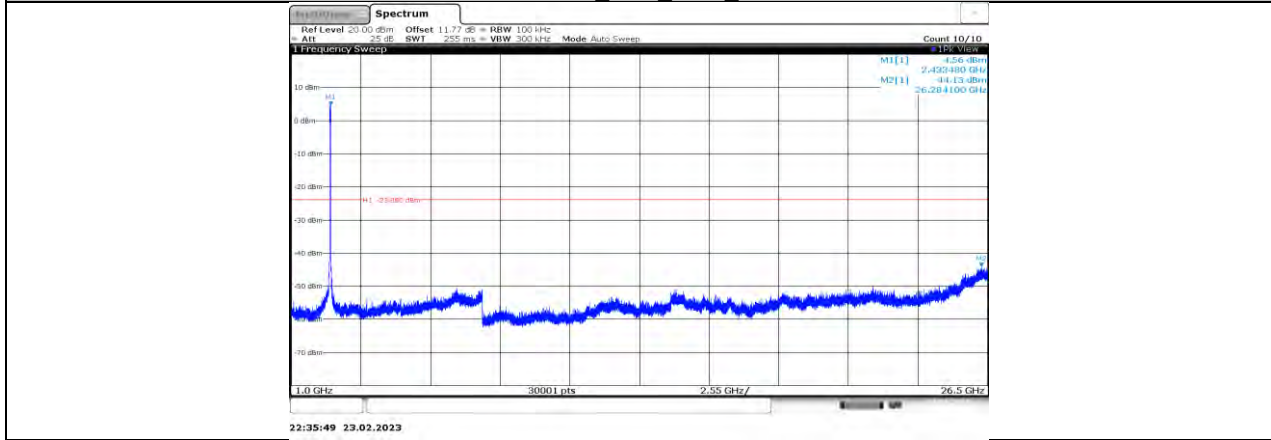
11BE40MIMO_Ant3_2422_1000~26500



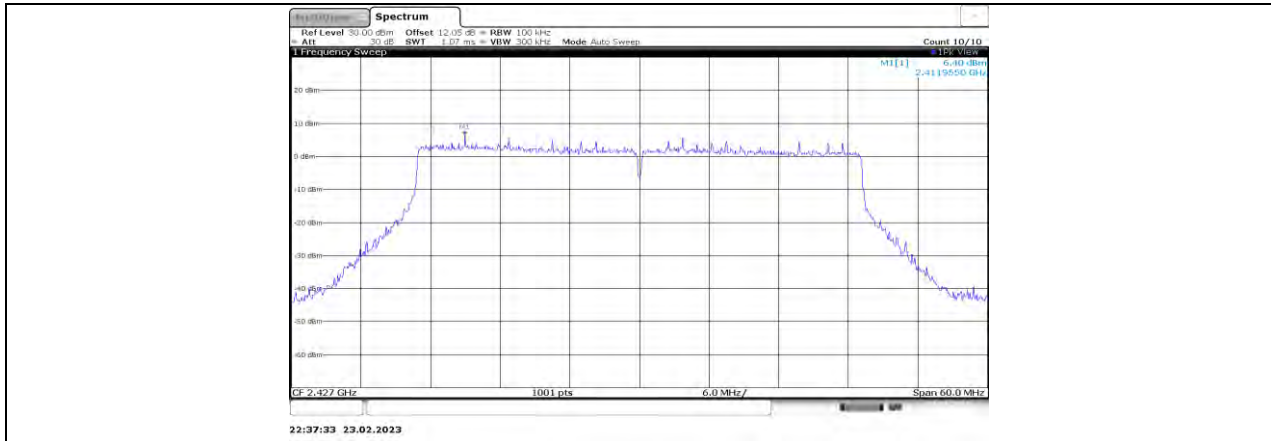
11BE40MIMO_Ant4_2422_0~Reference



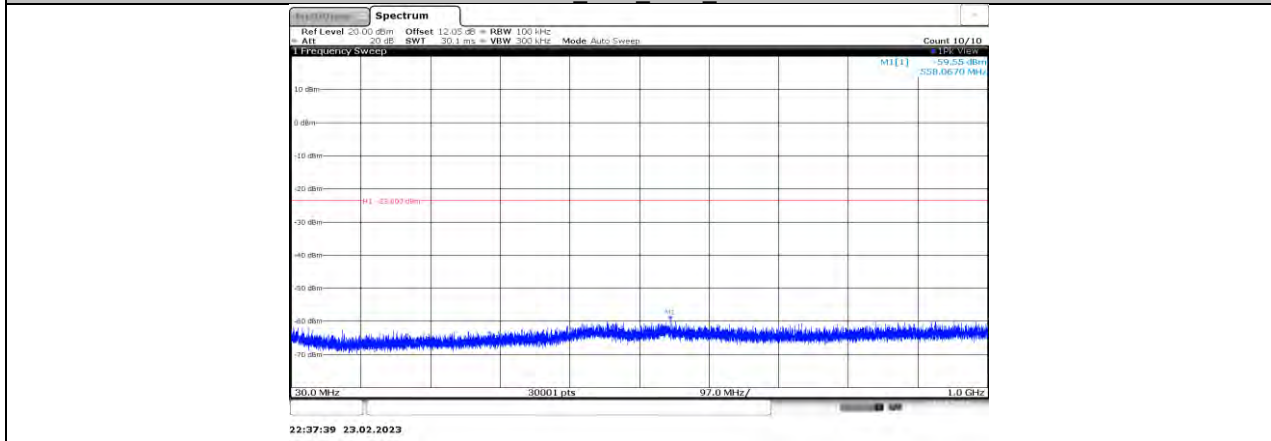
11BE40MIMO_Ant4_2422_30~1000



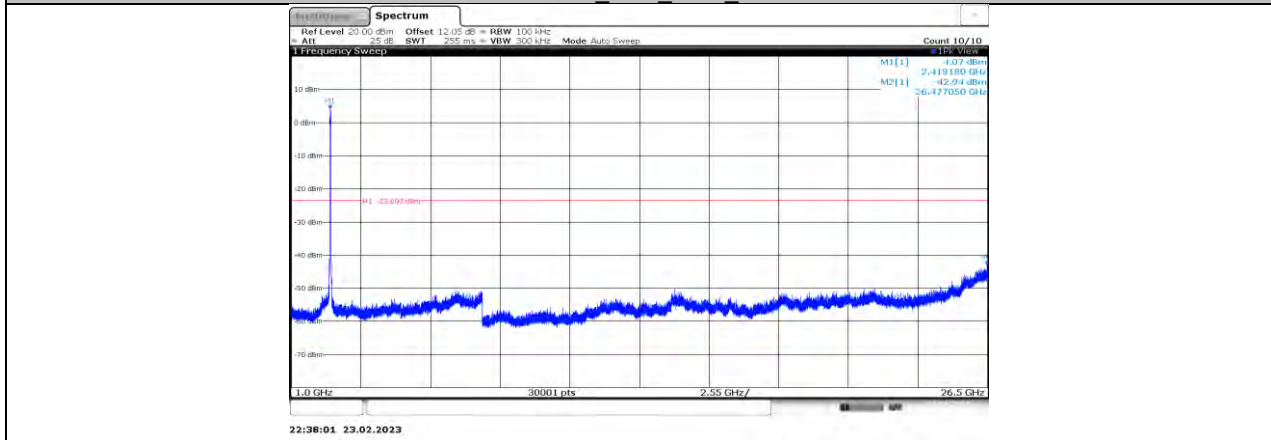
11BE40MIMO_Ant4_2422_1000~26500



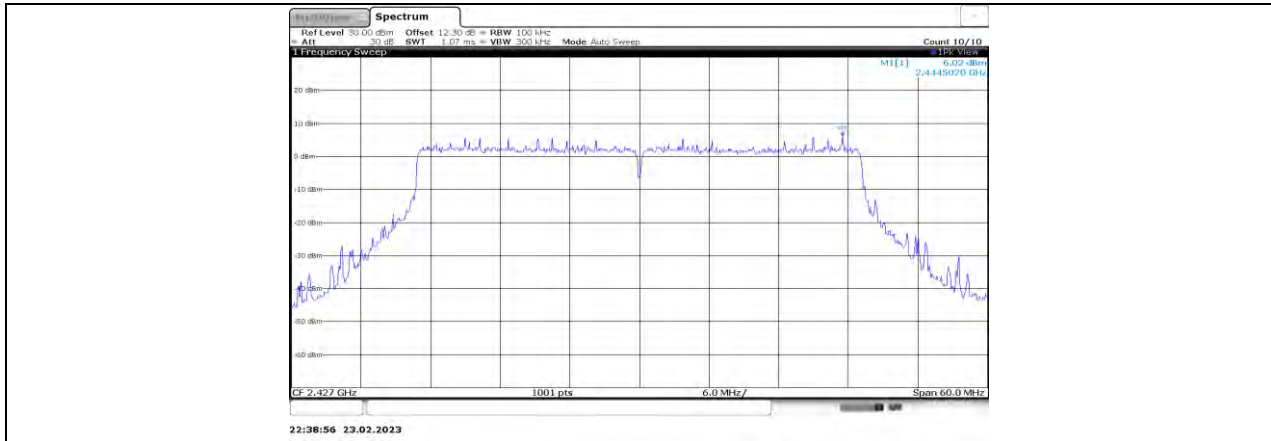
11BE40MIMO_Ant1_2427_0~Reference



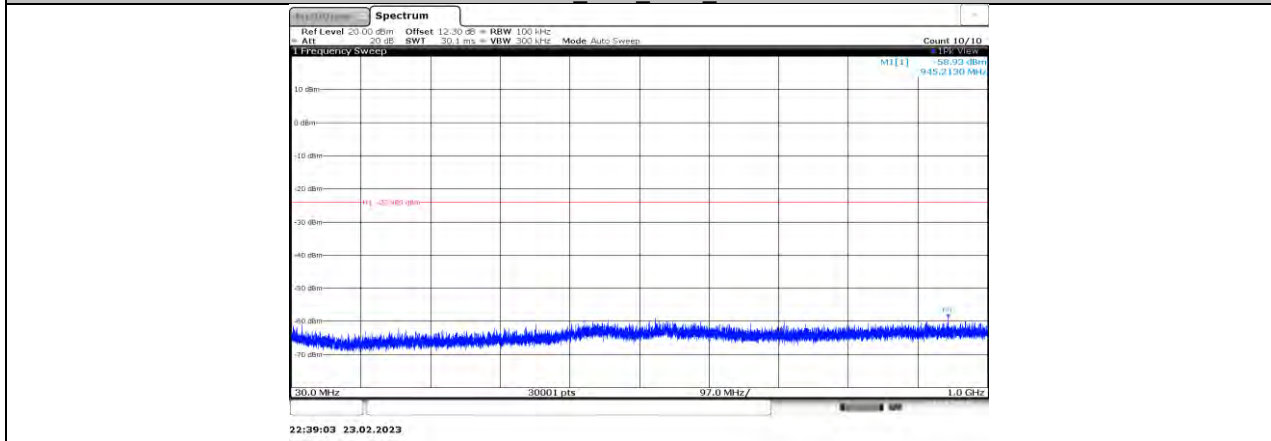
11BE40MIMO_Ant1_2427_30~1000



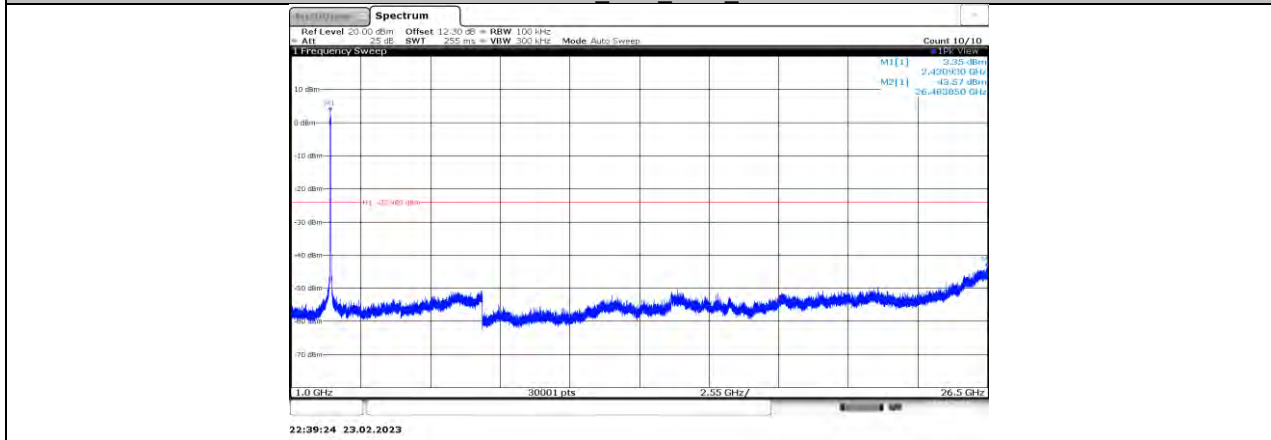
11BE40MIMO_Ant1_2427_1000~26500



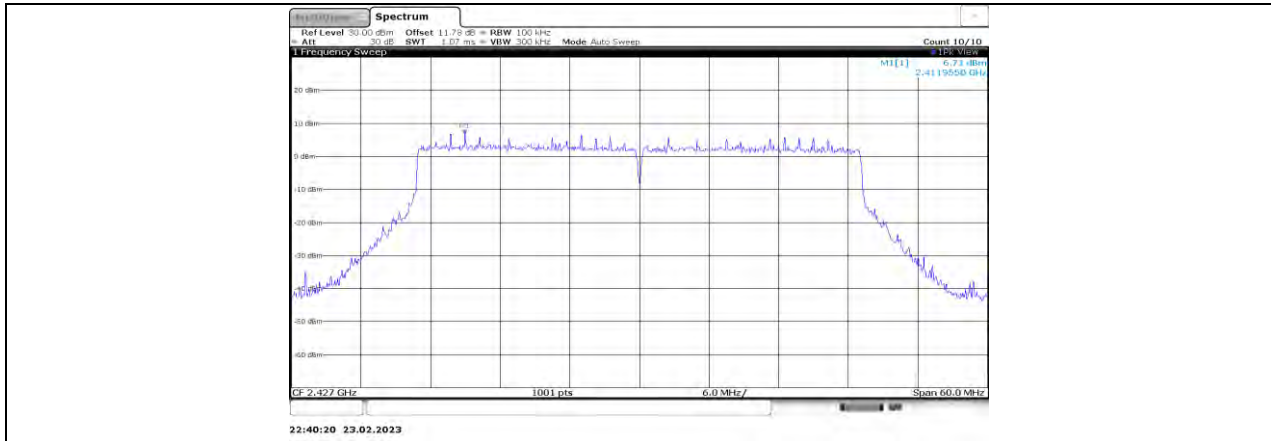
11BE40MIMO_Ant2_2427_0~Reference



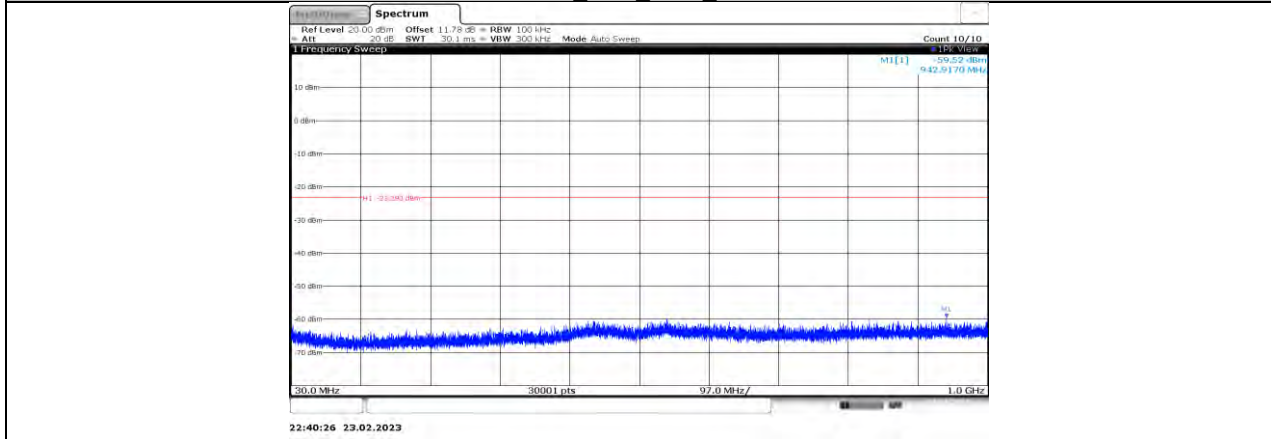
11BE40MIMO_Ant2_2427_30~1000



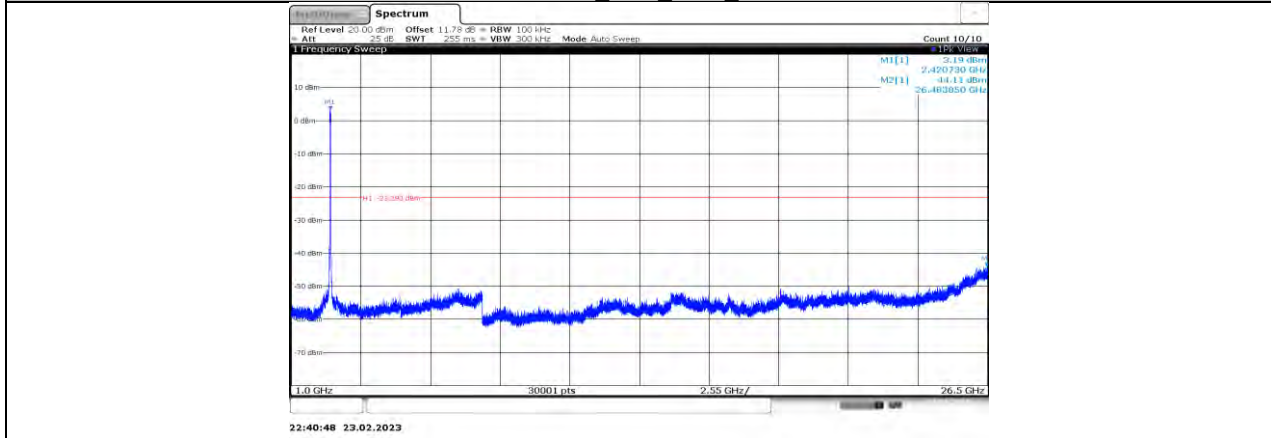
11BE40MIMO_Ant2_2427_1000~26500



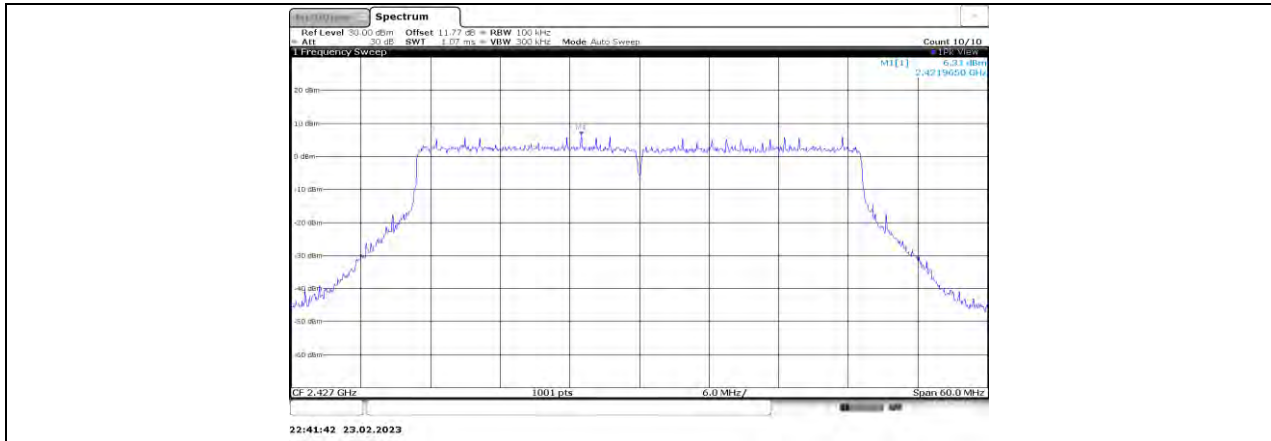
11BE40MIMO_Ant3_2427_0~Reference



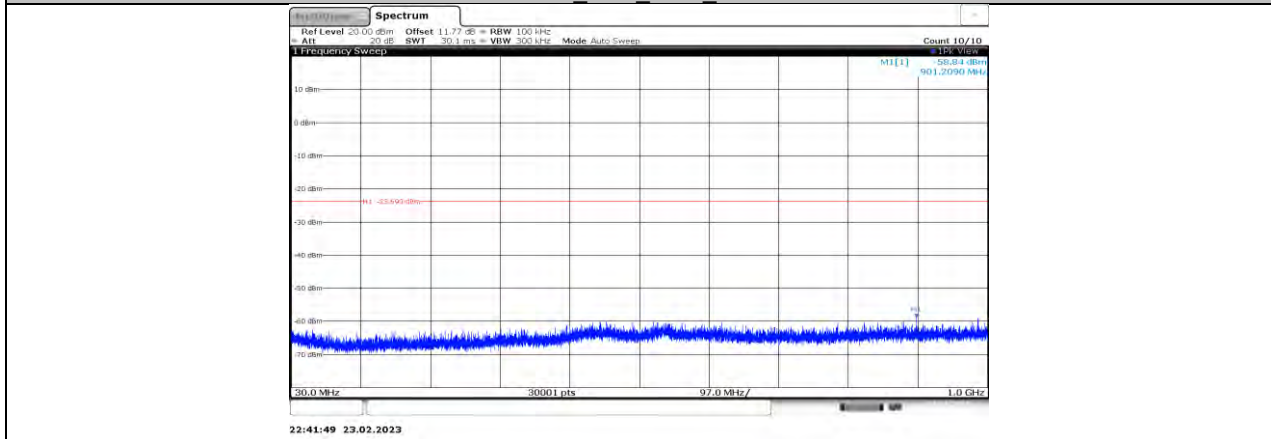
11BE40MIMO_Ant3_2427_30~1000



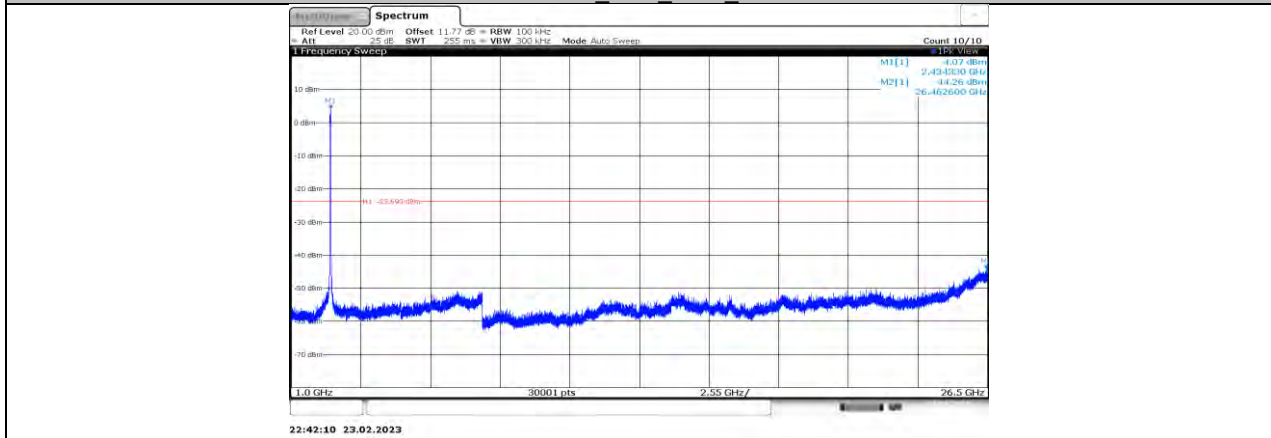
11BE40MIMO_Ant3_2427_1000~26500



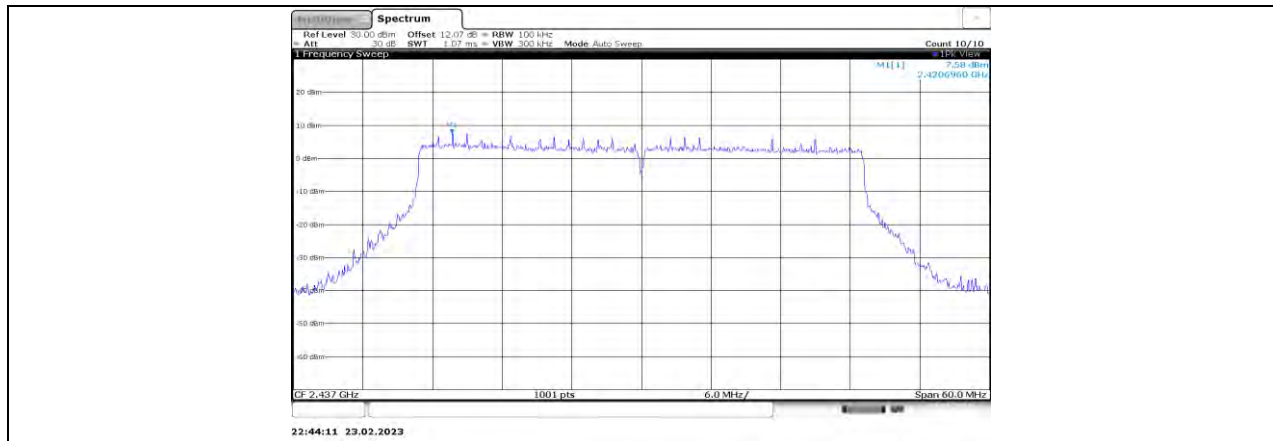
11BE40MIMO_Ant4_2427_0~Reference



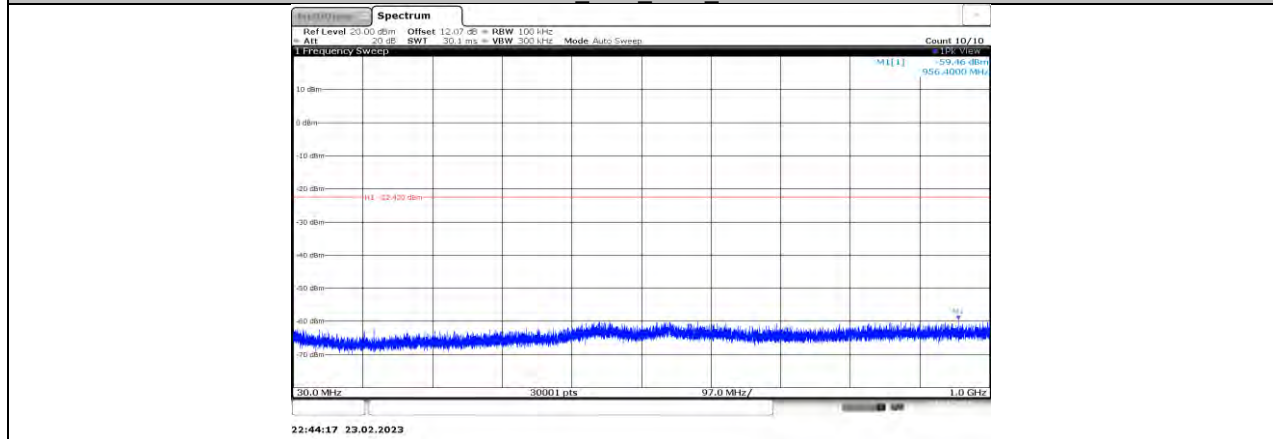
11BE40MIMO_Ant4_2427_30~1000



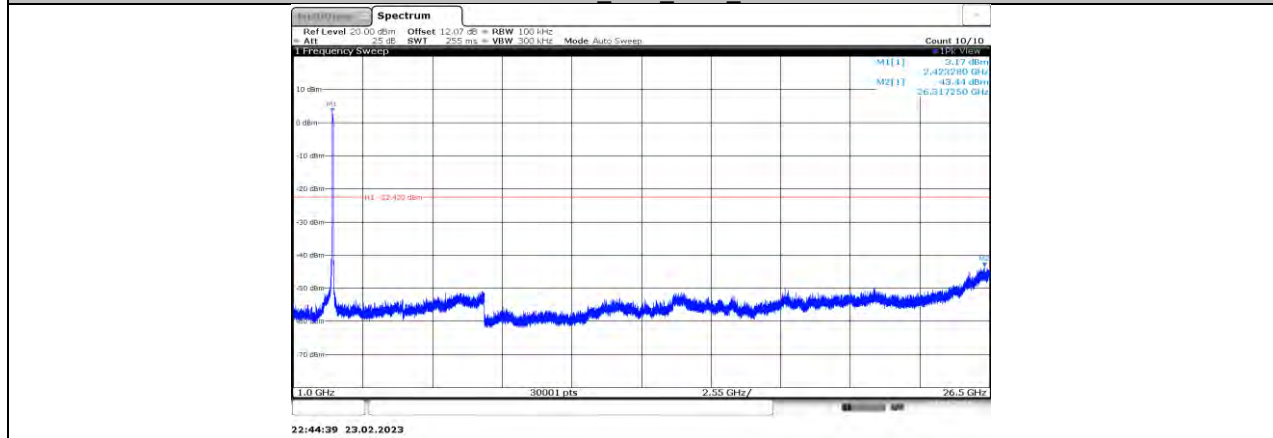
11BE40MIMO_Ant4_2427_1000~26500



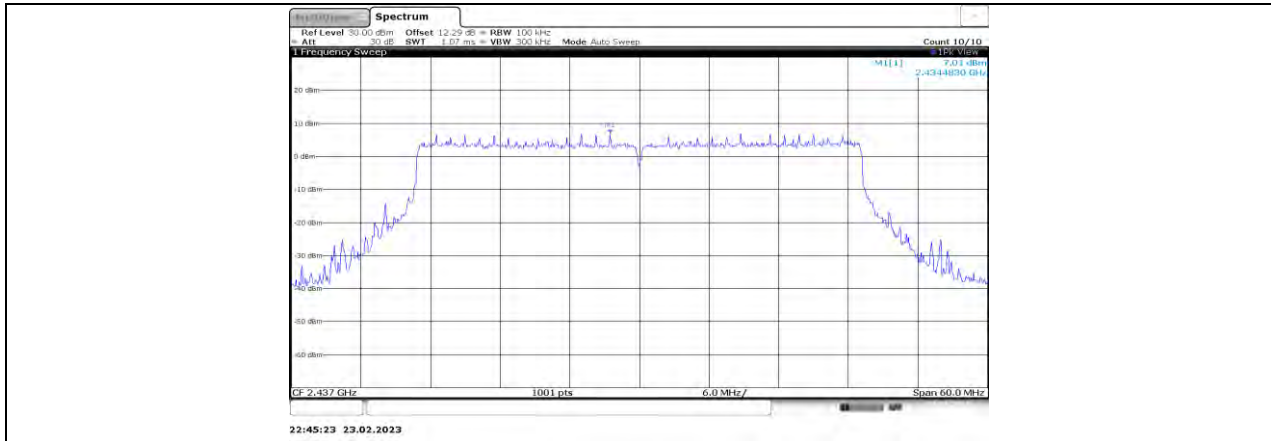
11BE40MIMO_Ant1_2437_0~Reference



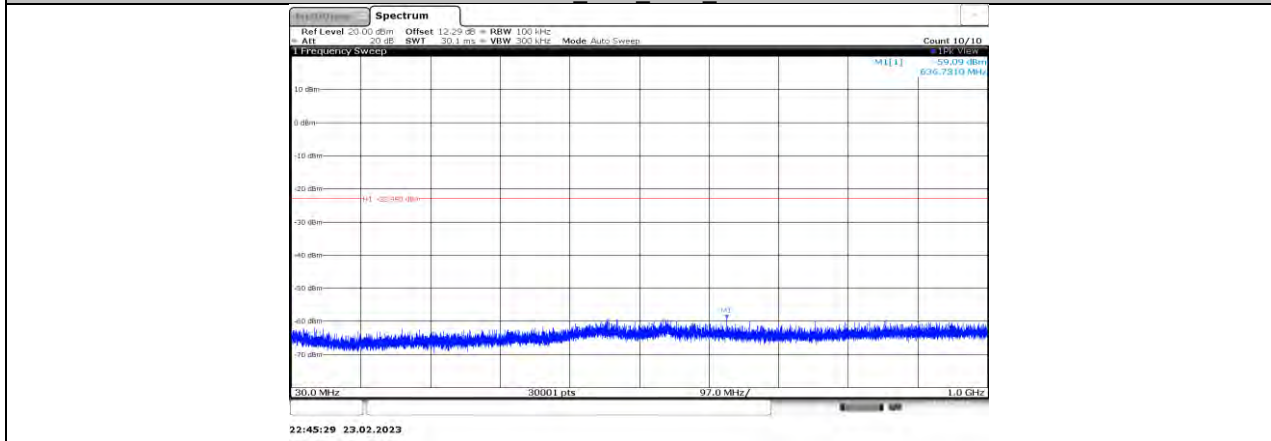
11BE40MIMO_Ant1_2437_30~1000



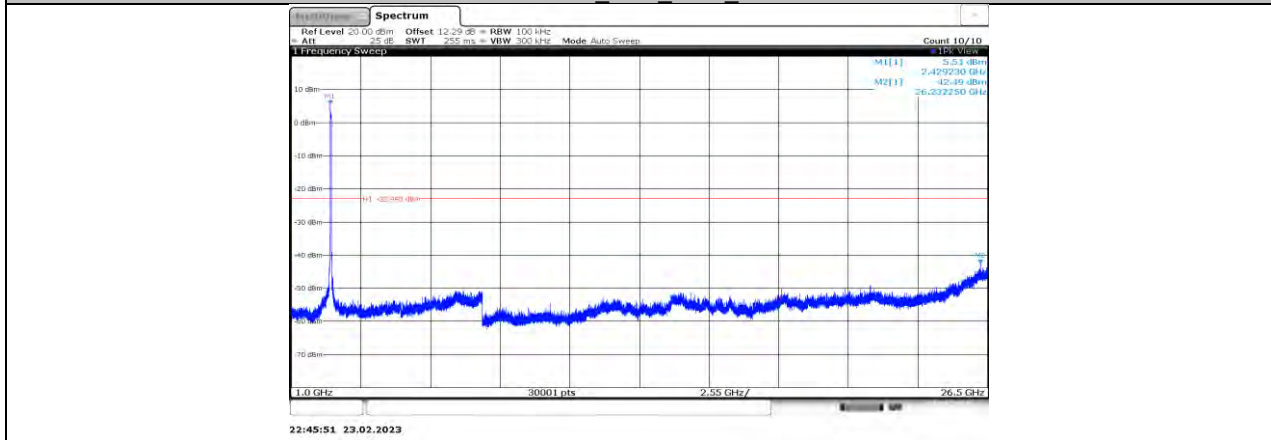
11BE40MIMO_Ant1_2437_1000~26500



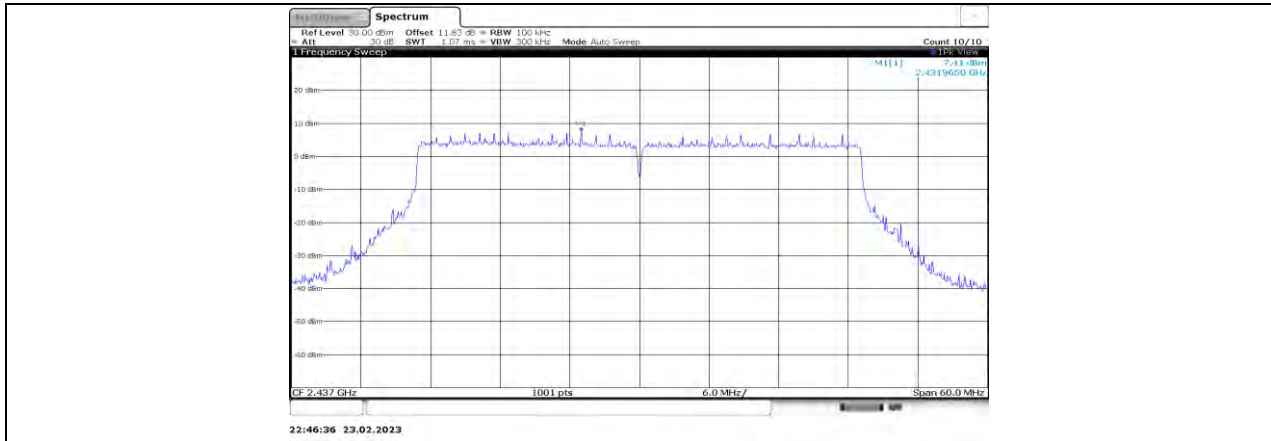
11BE40MIMO_Ant2_2437_0~Reference



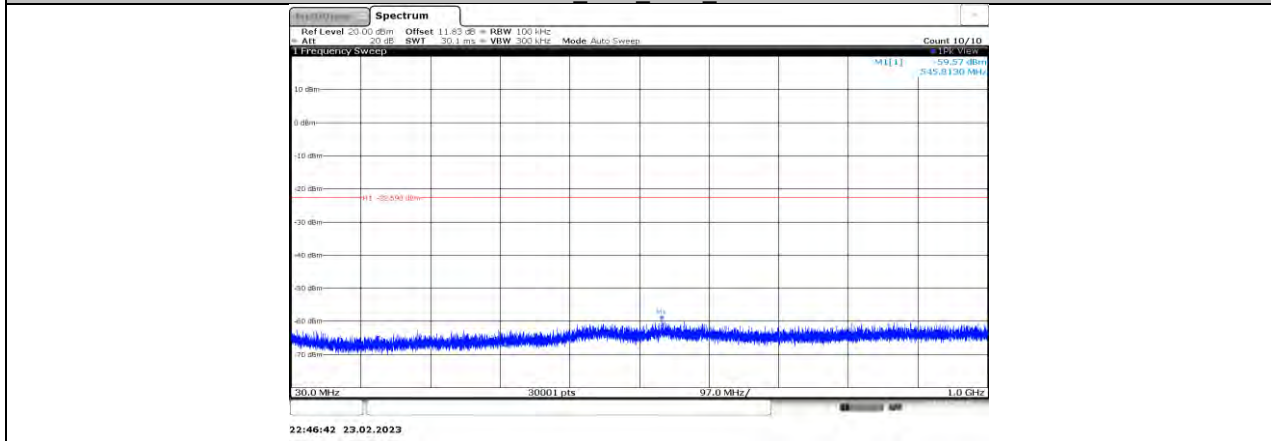
11BE40MIMO_Ant2_2437_30~1000



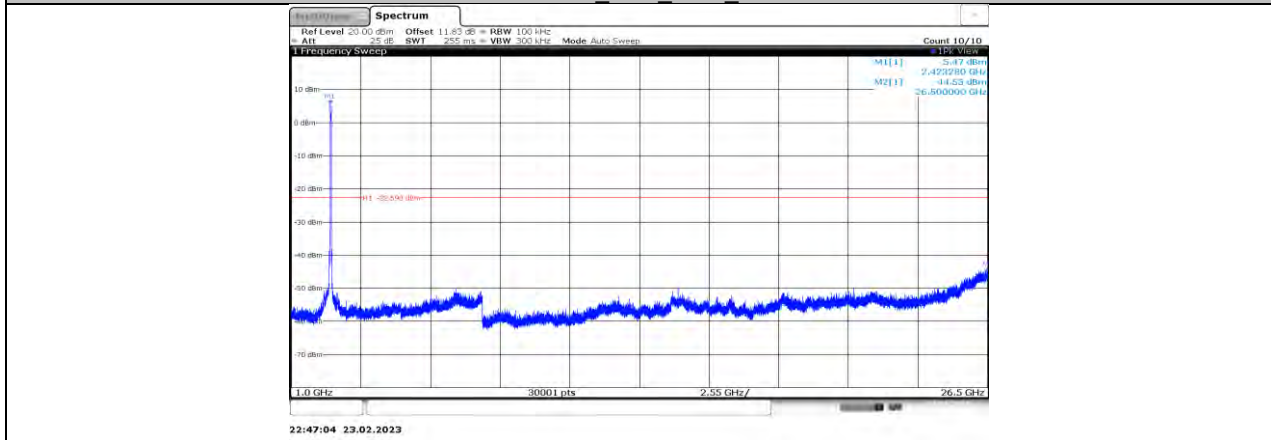
11BE40MIMO_Ant2_2437_1000~26500



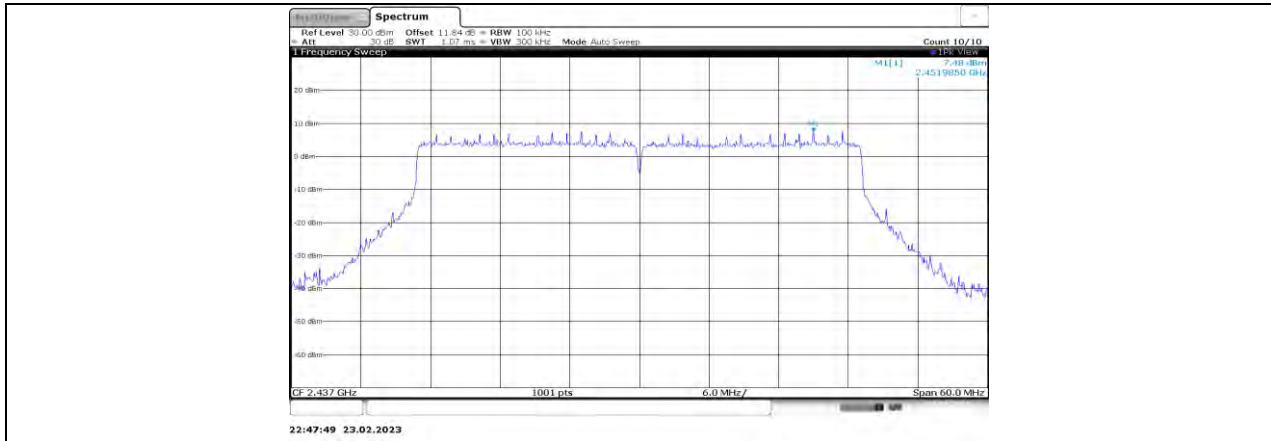
11BE40MIMO_Ant3_2437_0-Reference



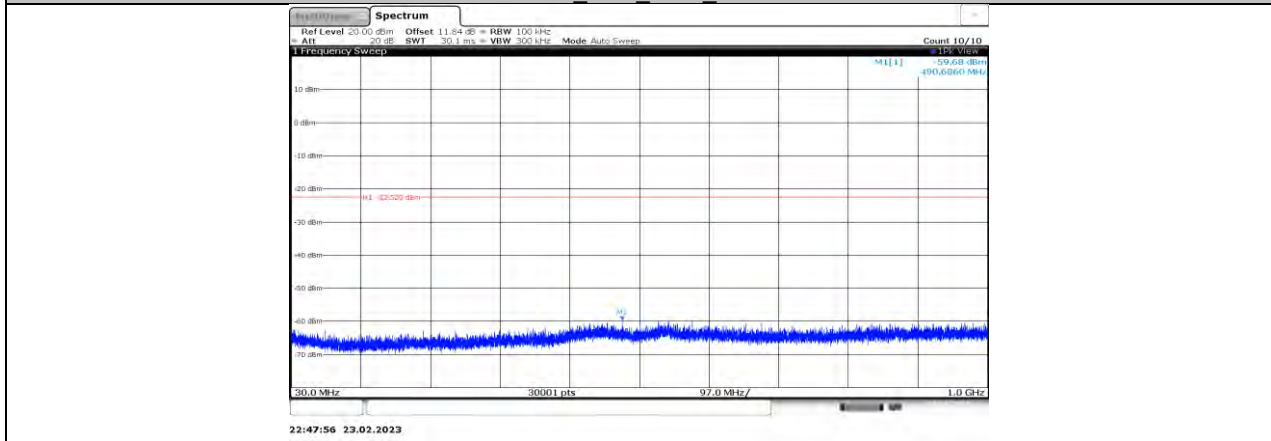
11BE40MIMO_Ant3_2437_30~1000



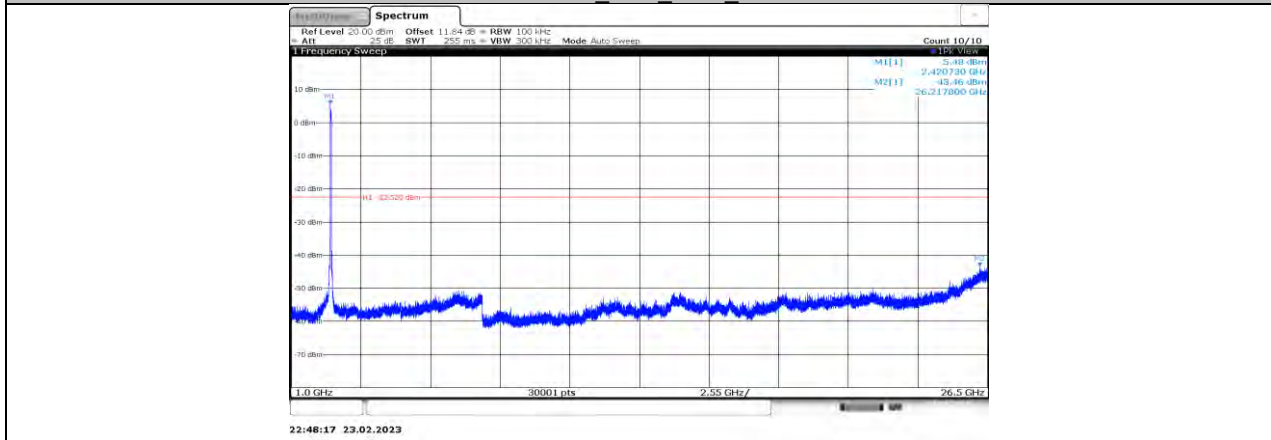
11BE40MIMO_Ant3_2437_1000~26500



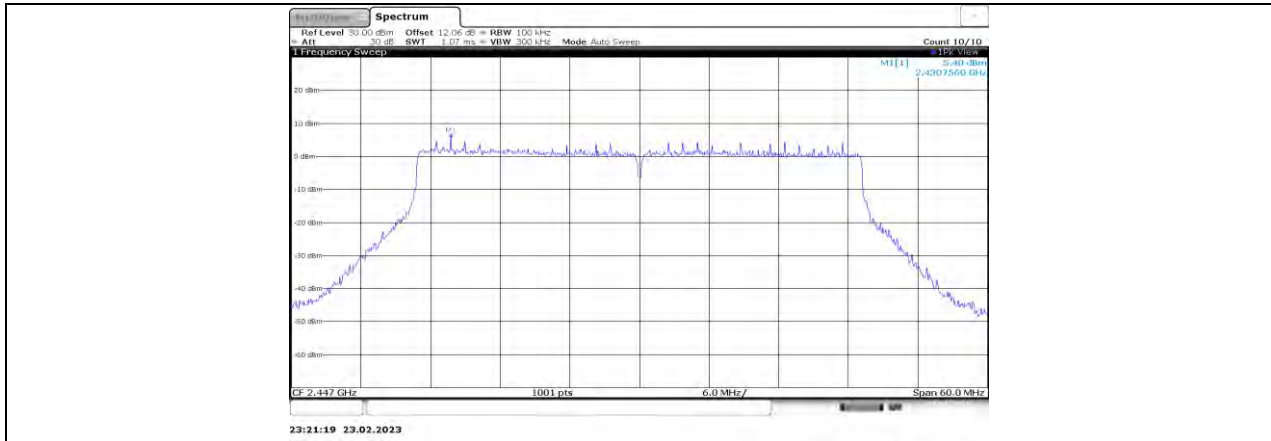
11BE40MIMO_Ant4_2437_0~Reference



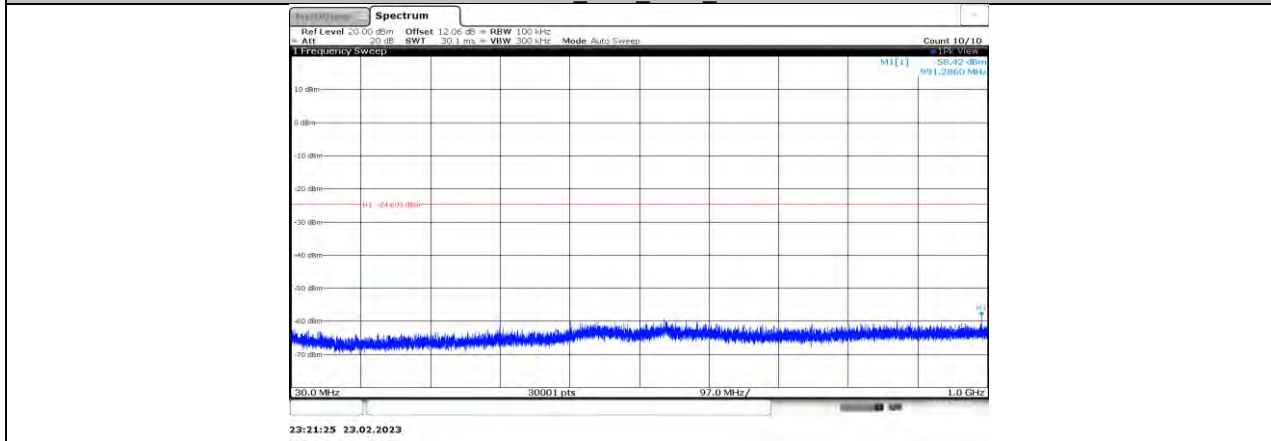
11BE40MIMO_Ant4_2437_30~1000



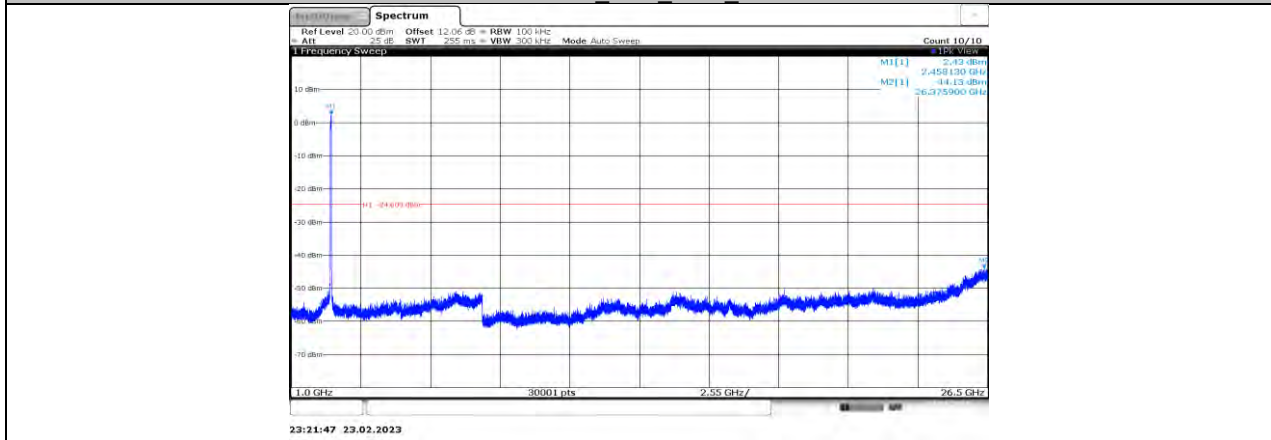
11BE40MIMO_Ant4_2437_1000~26500



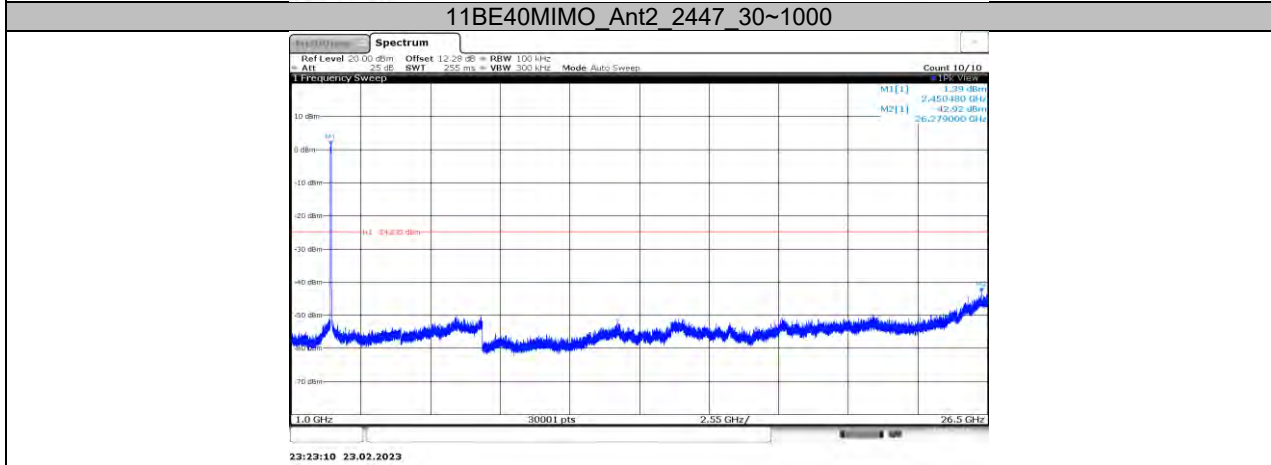
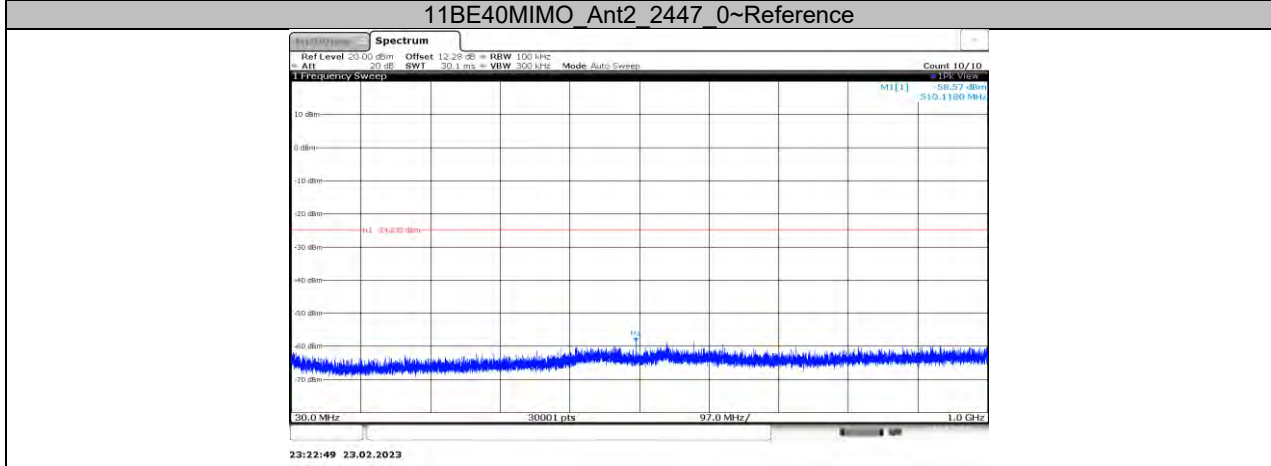
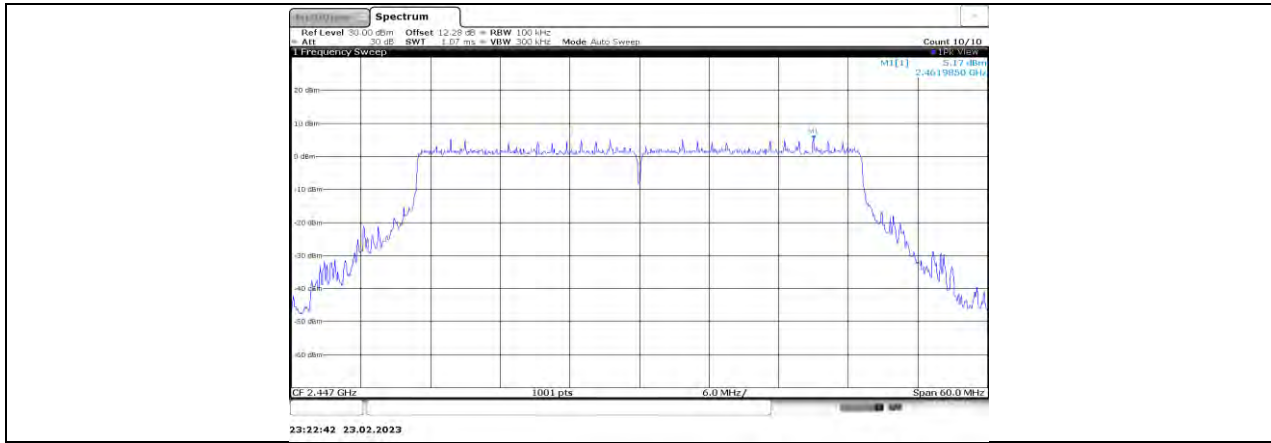
11BE40MIMO_Ant1_2447_0~Reference

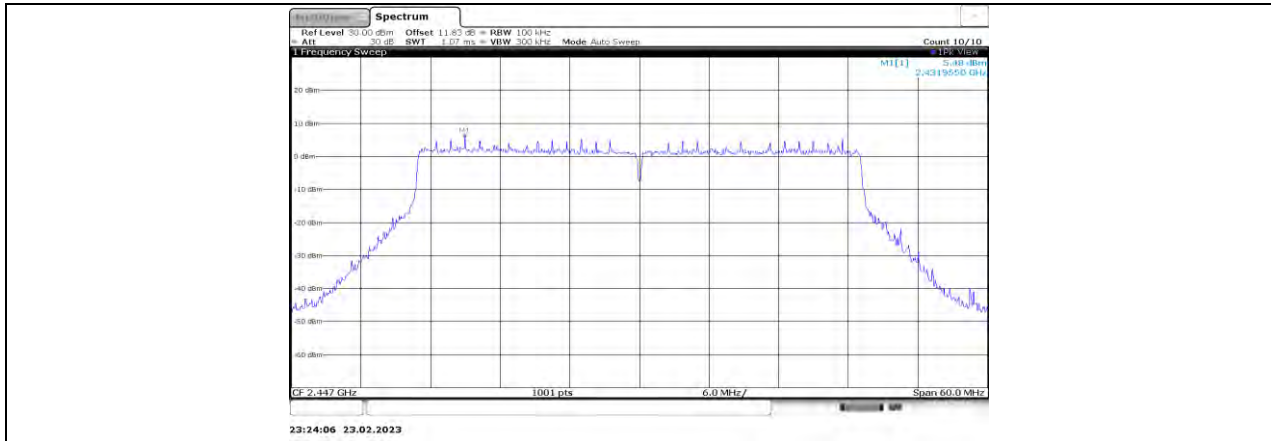


11BE40MIMO_Ant1_2447_30~1000

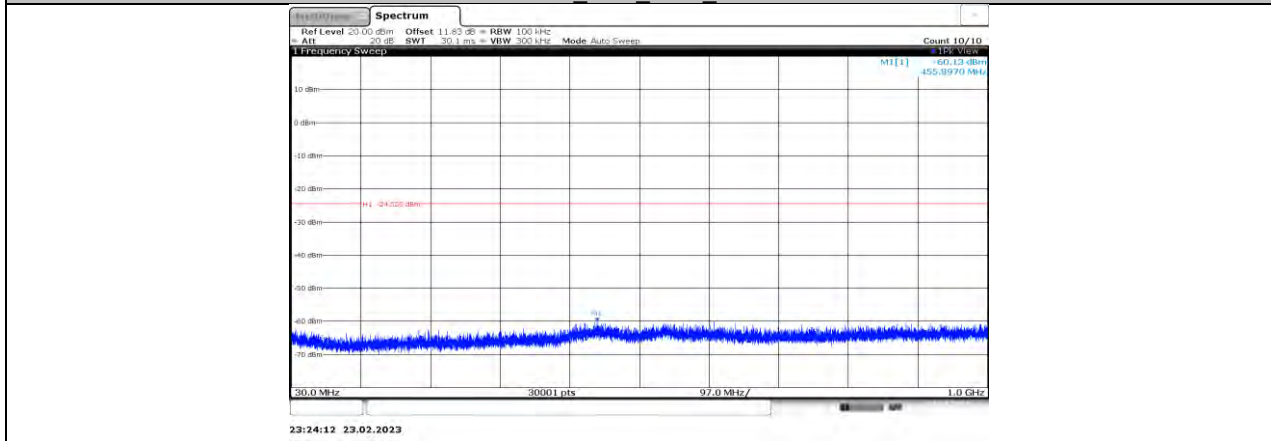


11BE40MIMO_Ant1_2447_1000~26500

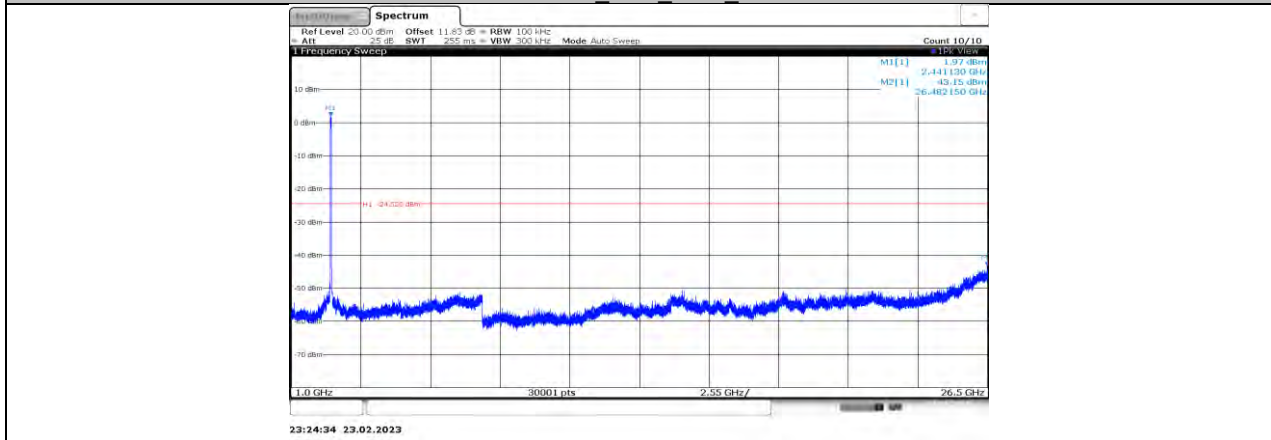




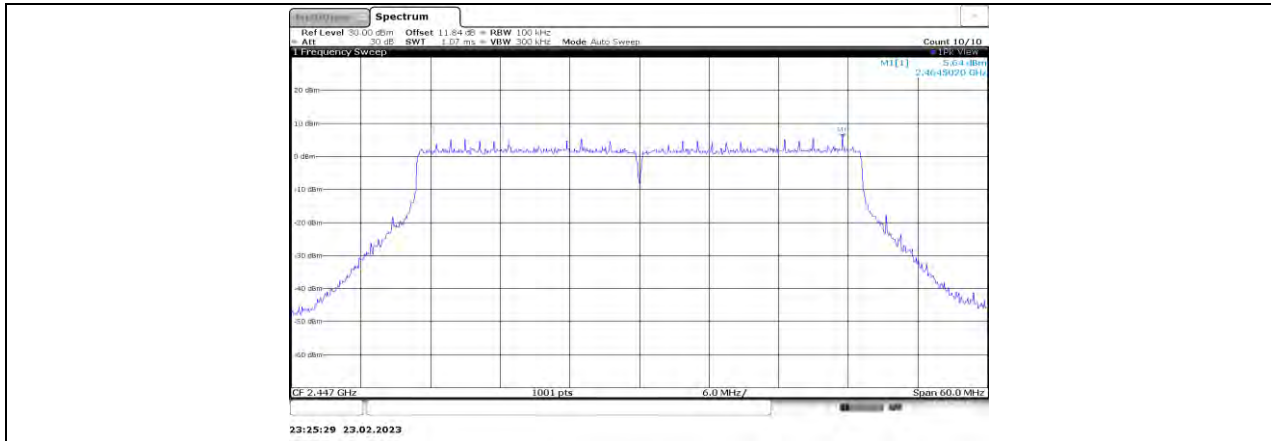
11BE40MIMO_Ant3_2447_0~Reference



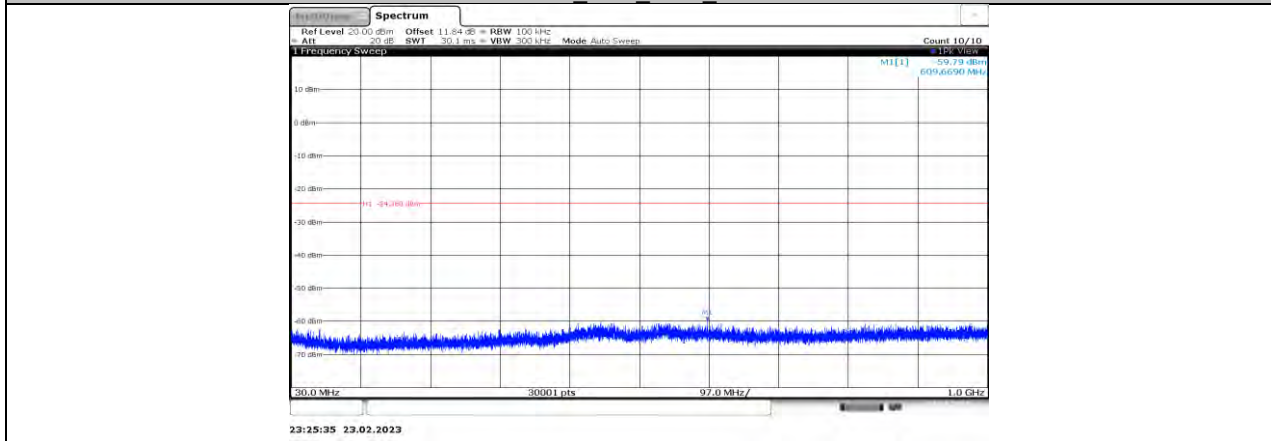
11BE40MIMO_Ant3_2447_30~1000



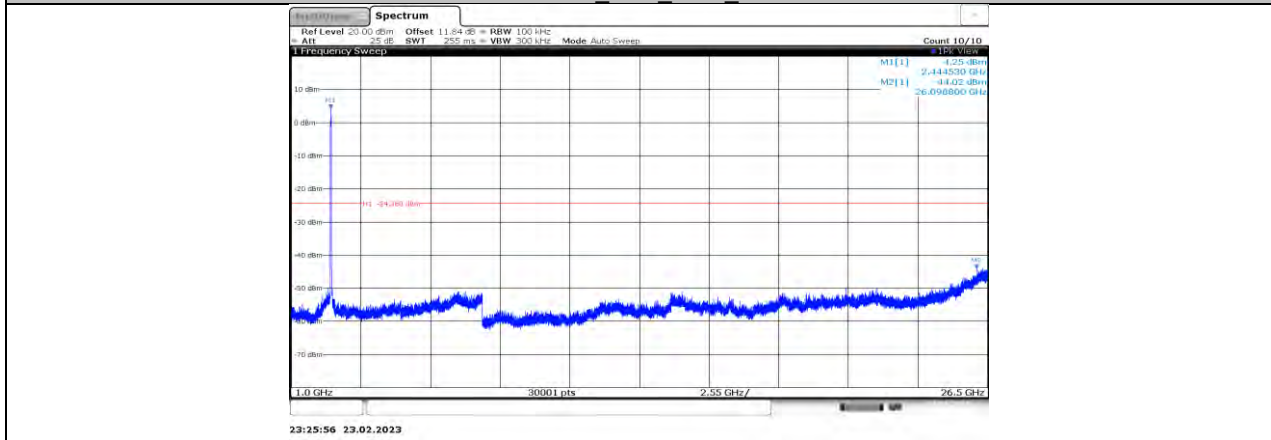
11BE40MIMO_Ant3_2447_1000~26500



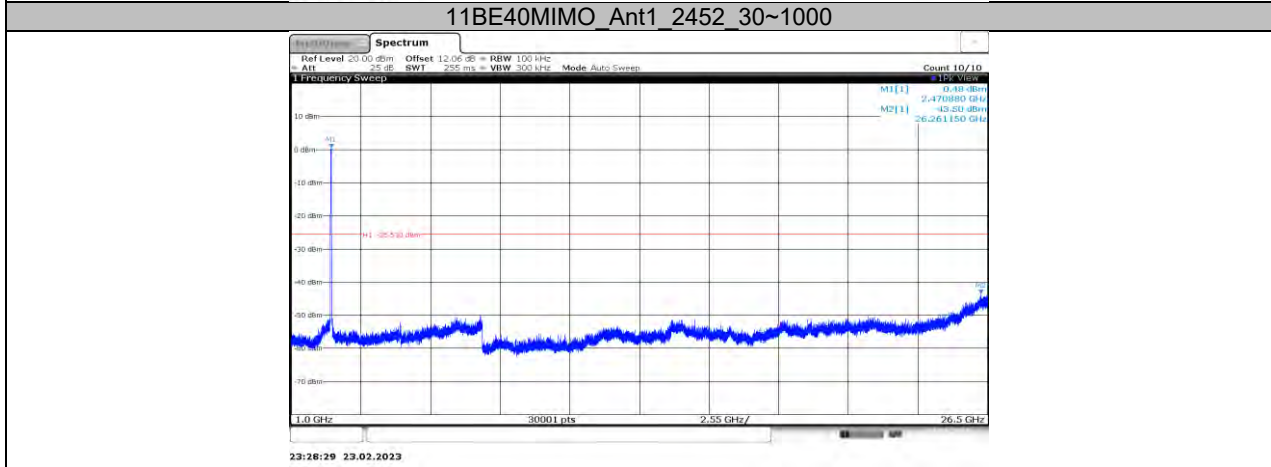
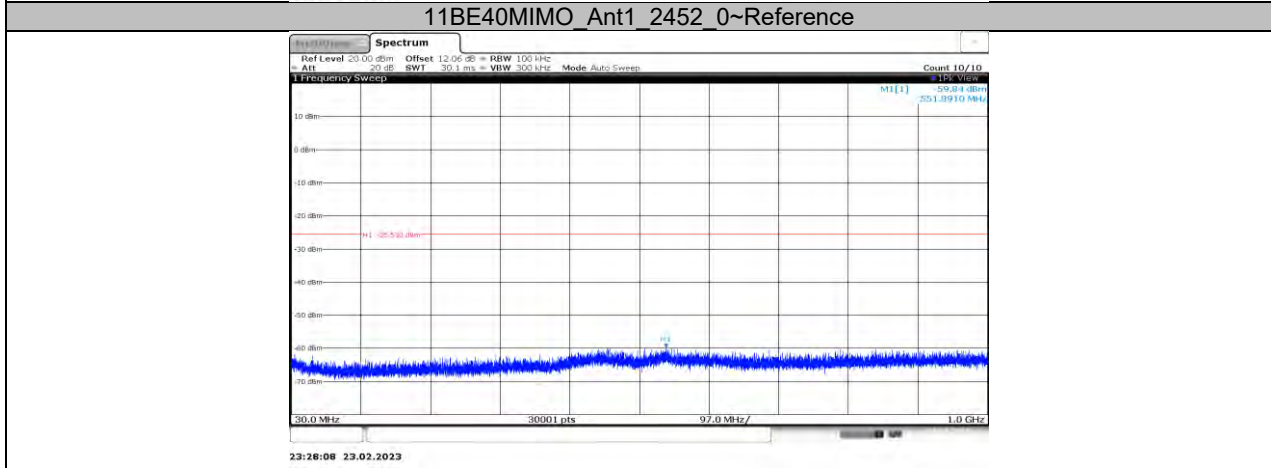
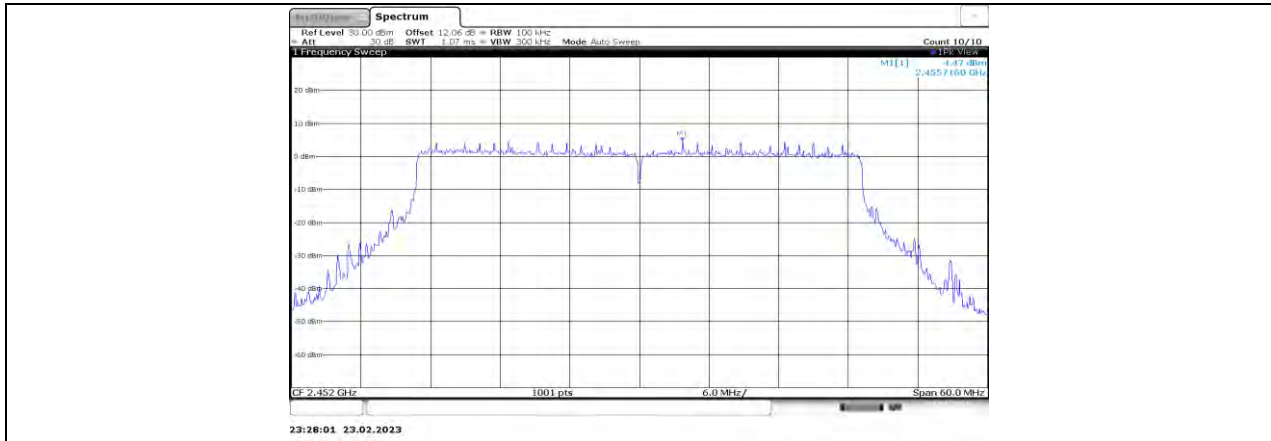
11BE40MIMO_Ant4_2447_0~Reference

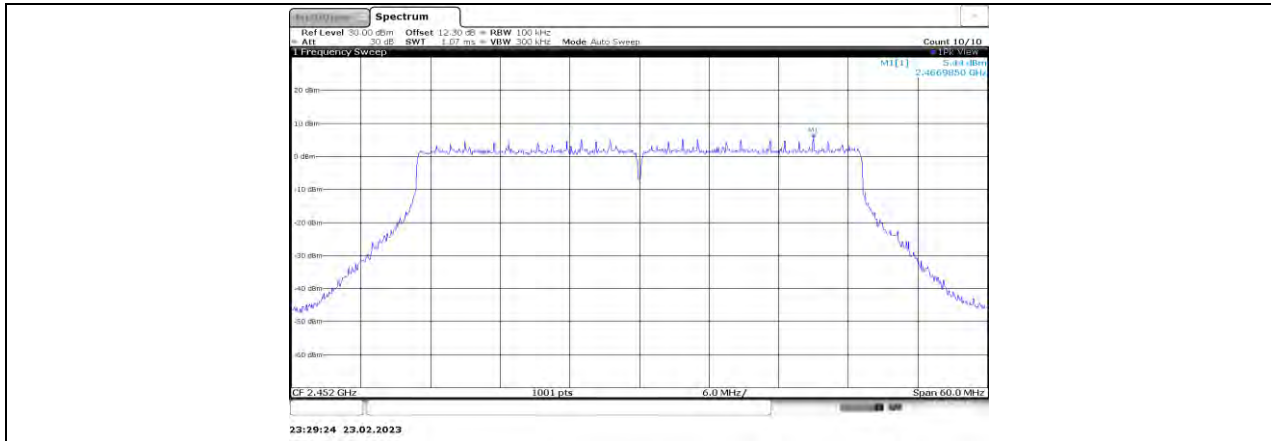


11BE40MIMO_Ant4_2447_30~1000

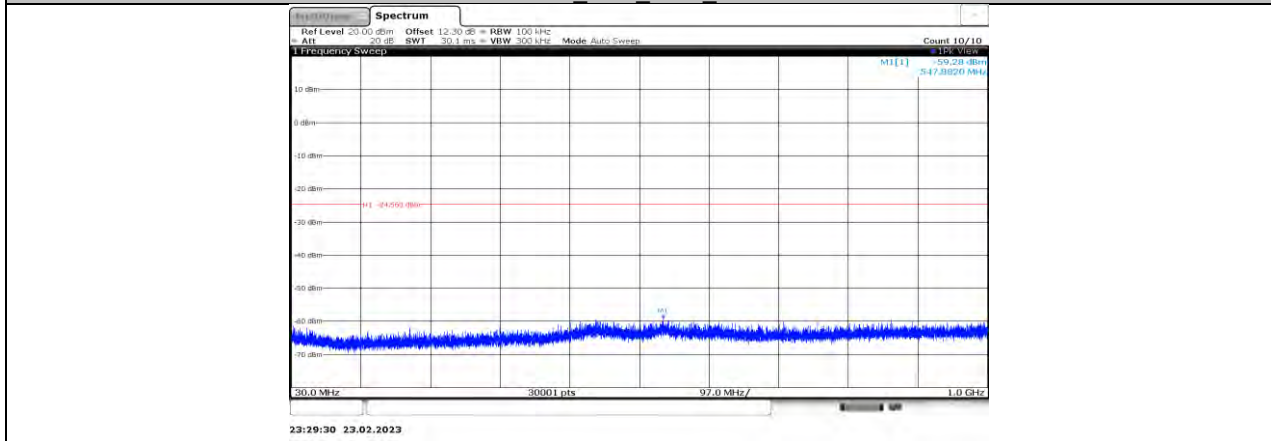


11BE40MIMO_Ant4_2447_1000~26500

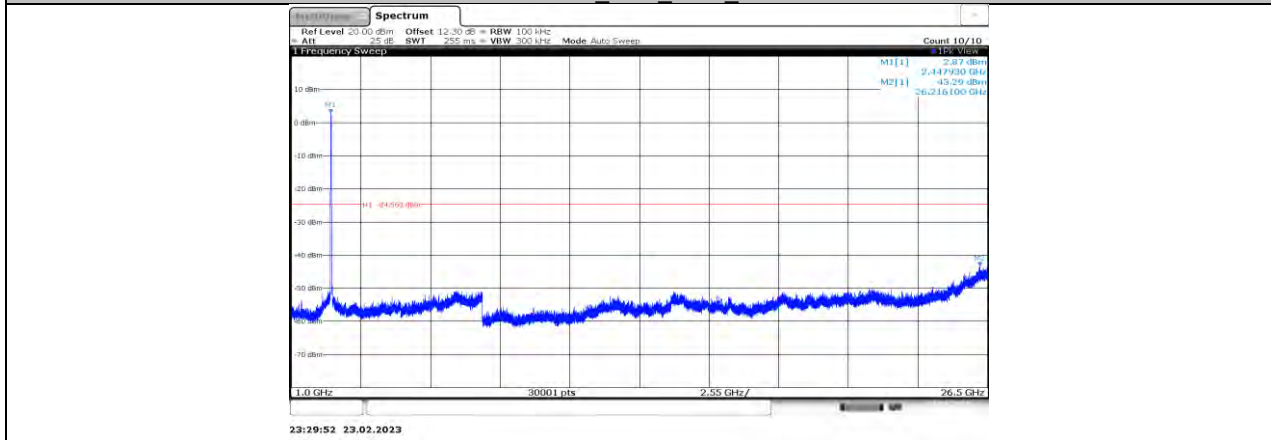




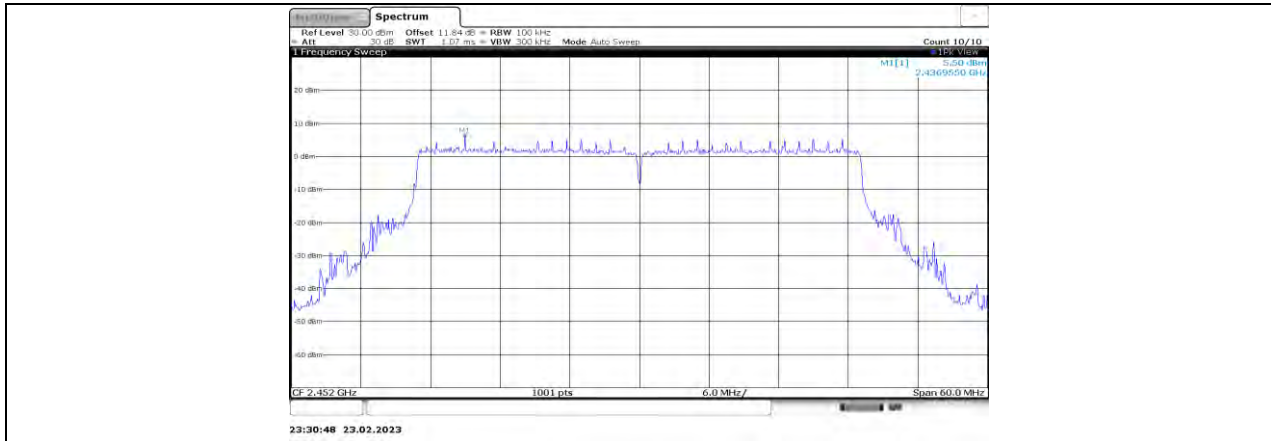
11BE40MIMO_Ant2_2452_0~Reference



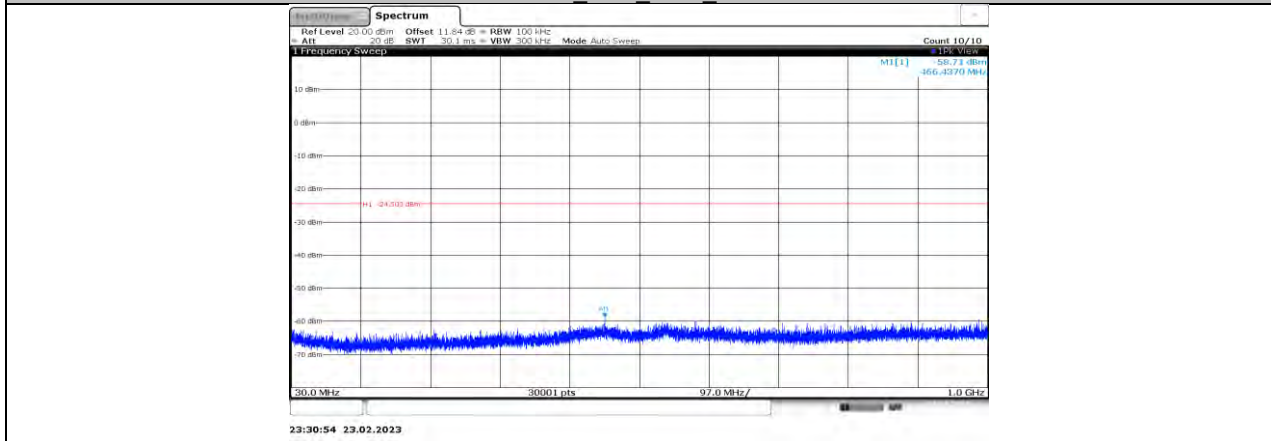
11BE40MIMO_Ant2_2452_30~1000



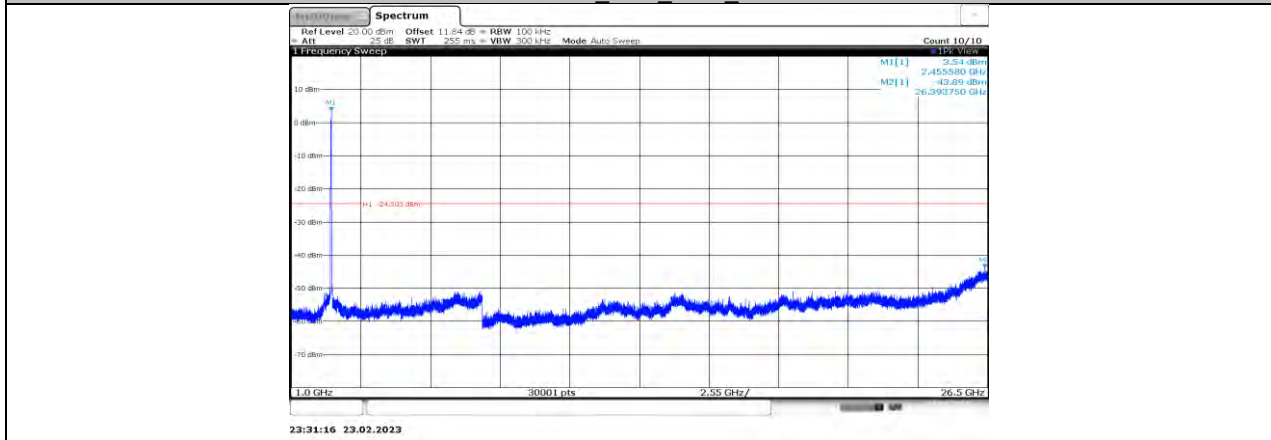
11BE40MIMO_Ant2_2452_1000~26500



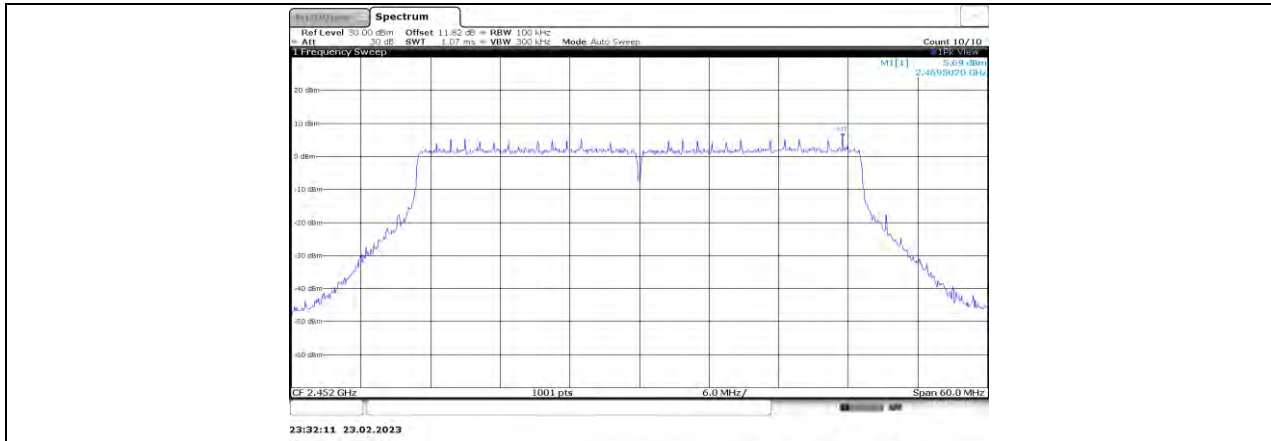
11BE40MIMO_Ant3_2452_0~Reference



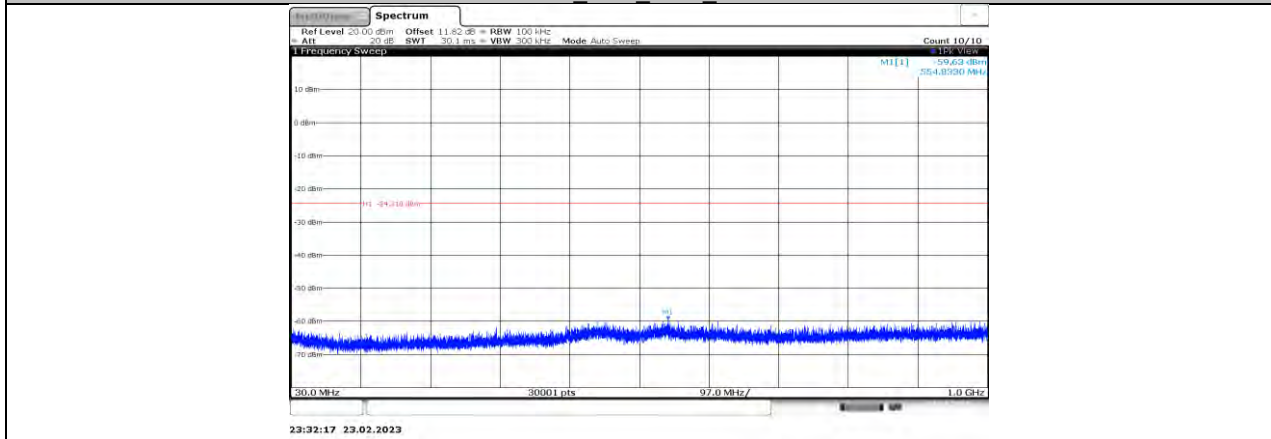
11BE40MIMO_Ant3_2452_30~1000



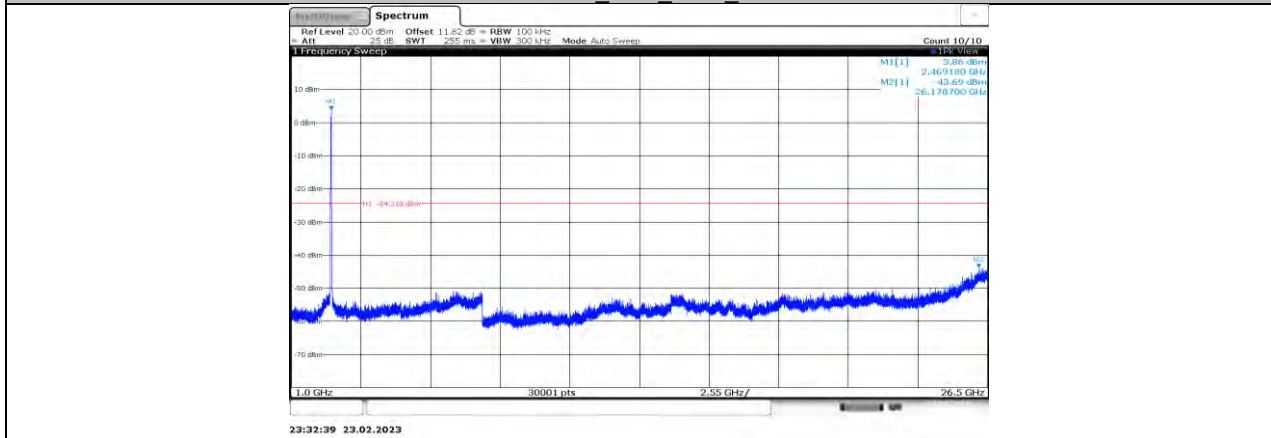
11BE40MIMO_Ant3_2452_1000~26500



11BE40MIMO_Ant4_2452_0~Reference



11BE40MIMO_Ant4_2452_30~1000



11BE40MIMO_Ant4_2452_1000~26500



11.7. APPENDIX G: DUTY CYCLE

11.7.1. Test Result

| Test Mode | On Time (msec) | Period (msec) | Duty Cycle x (Linear) | Duty Cycle (%) | Duty Cycle Correction Factor (dB) | 1/T Minimum VBW (kHz) | Final setting For VBW (kHz) |
|------------|----------------|---------------|-----------------------|----------------|-----------------------------------|-----------------------|-----------------------------|
| 11B-CDD | 1.56 | 1.72 | 0.9070 | 90.70 | 0.42 | 0.64 | 1 |
| 11G-CDD | 3.00 | 3.16 | 0.9494 | 94.94 | 0.23 | 0.33 | 0.5 |
| 11AX20MIMO | 5.40 | 5.49 | 0.9836 | 98.36 | 0.07 | 0.19 | 0.5 |
| 11AX40MIMO | 5.43 | 6.80 | 0.7985 | 79.85 | 0.98 | 0.18 | 0.5 |
| 11BE20MIMO | 5.45 | 6.80 | 0.8015 | 80.15 | 0.96 | 0.18 | 0.5 |
| 11BE40MIMO | 5.45 | 6.81 | 0.8003 | 80.03 | 0.97 | 0.18 | 0.5 |

Note:

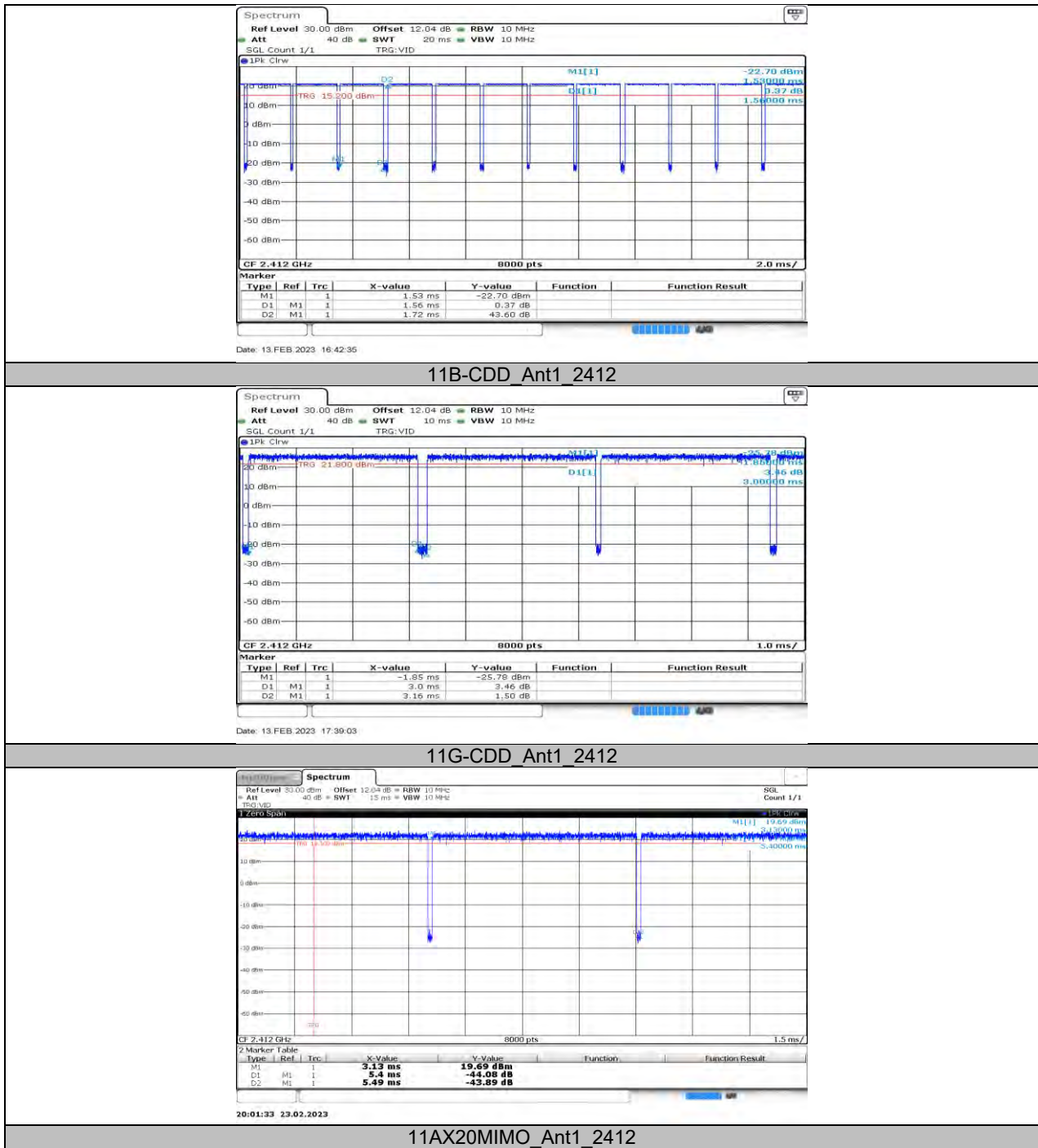
Duty Cycle Correction Factor= $10\log(1/x)$.

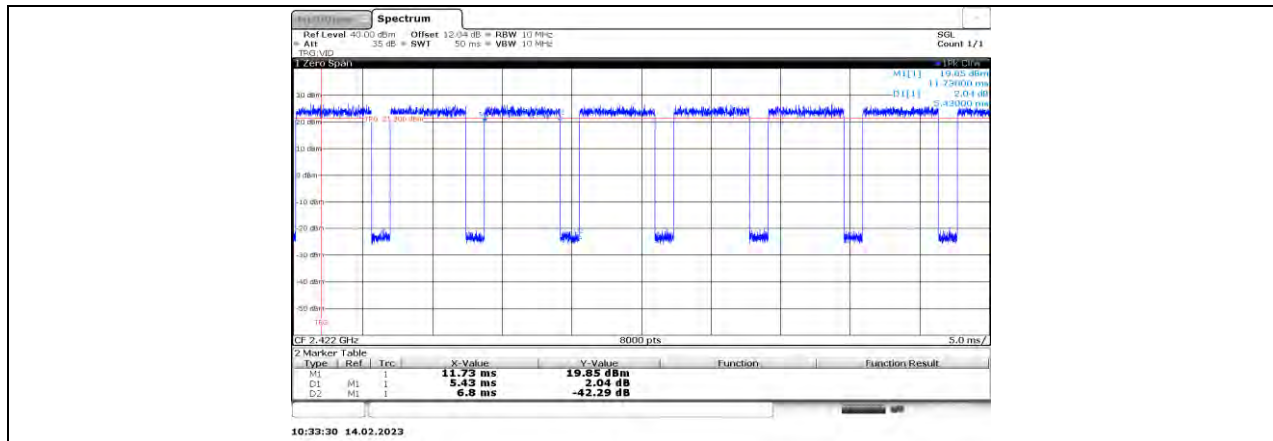
Where: x is Duty Cycle (Linear)

Where: T is On Time

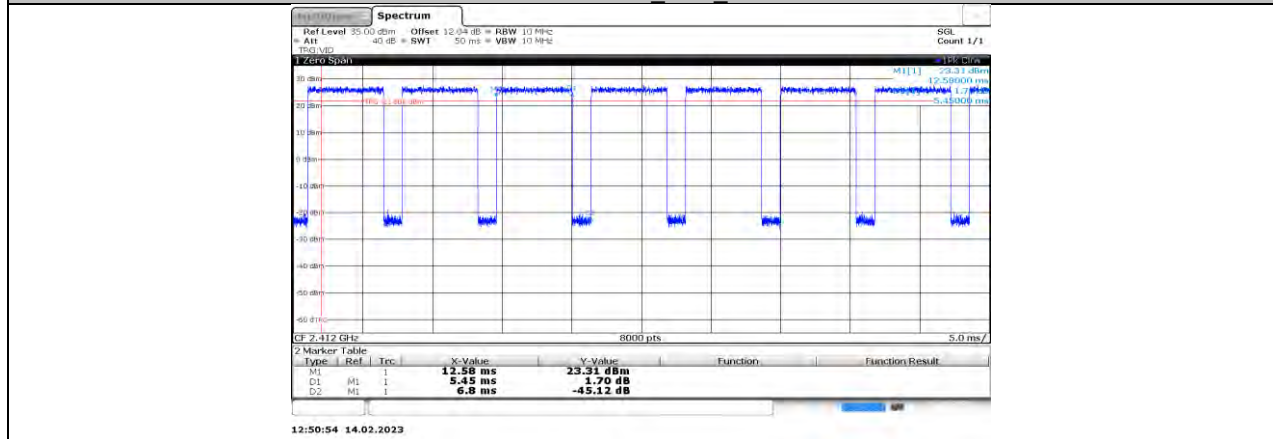
If that calculated VBW is not available on the analyzer then the next higher value should be used.

11.7.2. Test Graphs

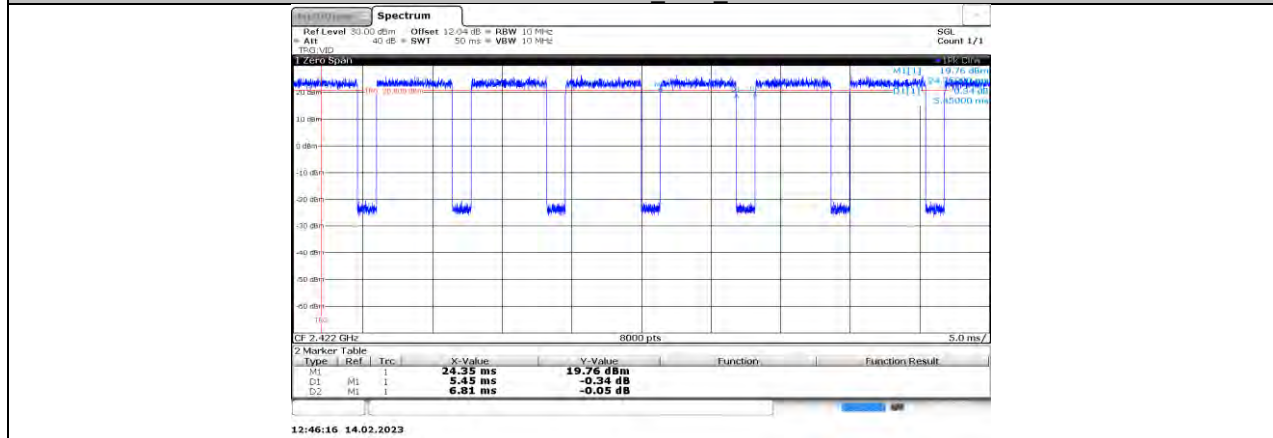




11AX40MIMO_Ant1_2422



11BE20MIMO_Ant1_2412



11BE40MIMO_Ant1_2422

END OF REPORT